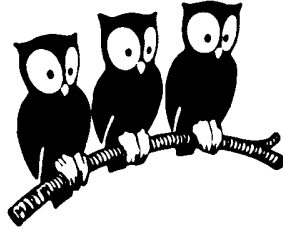


LABORATOIRE DE PHYSIQUE THÉORIQUE DE L'ÉCOLE NORMALE SUPÉRIEURE



THÈSE DE DOCTORAT DE L'UNIVERSITÉ PIERRE ET MARIE CURIE

en

PHYSIQUE THÉORIQUE

présentée par

Frank FERRARI

pour obtenir le titre de

DOCTEUR DE L'UNIVERSITÉ PARIS VI

**DUALITÉ COUPLAGE FORT/COUPLAGE FAIBLE
DANS LES THÉORIES DE JAUGE NON-ABÉLIENNES**

Table des matières

Avant-propos

Chapitre I : Introduction générale 9

1. Quelques aspects non-perturbatifs des théories de jauge 14

- ▷ *Les instantons*
- ▷ *Les solitons*
- ▷ *Le monopôle de 't Hooft et Polyakov*
- ▷ *La relation de quantification de Dirac*

2. La conjecture de Montonen et Olive 19

- ▷ *La masse des monopôles*
- ▷ *La limite de Prasad et Sommerfield*
- ▷ *La conjecture de Montonen et Olive*

3. Dualité électrique/magnétique et supersymétrie 21

- ▷ *Le spin des monopôles*
- ▷ *Vers la supersymétrie*
- ▷ *La formule fondamentale*

4. Formulation précise et conséquences de la dualité 24

- ▷ *Anomalies*
- ▷ *La conjecture de Sen*

5. Survol des résultats de mes recherches doctorales 28

- ▷ *Les théories asymptotiquement libres*
- ▷ *Fractionnement de charge et dualité*
- ▷ *Les théories finies*

Chapitre II : Propriétés de la théorie quantique 37

1. Lagrangiens et symétries 39

- ▷ *Les lagrangiens renormalisables et leurs symétries*
- ▷ *Lagrangiens généraux, géométrie spéciale et dualité*
- ▷ *Trois méthodes pour calculer L_{eff}*

2. Étude des corrections quantiques	48
▷ <i>Dégénérescence du vide</i>	
▷ <i>Théorèmes généraux de non-renormalisation</i>	
▷ <i>Caractère fini de la théorie à une boucle</i>	
▷ <i>Forme générale de la série d'instantons</i>	
3. Fractionnement de charge et supersymétrie étendue	53
▷ <i>Le phénomène de fractionnement de charge</i>	
▷ <i>Fractionnement et invariant η</i>	
▷ <i>Fractionnement et holomorphie : calcul inédit de η</i>	
▷ <i>Le calcul traditionnel de η</i>	
Chapitre III : Résultats exacts	63
1. Quelques mots sur la théorie des monopôles	65
▷ <i>Solutions statiques et espace des modules</i>	
▷ <i>Faibles vitesses et mouvement géodésique</i>	
▷ <i>La structure hyperkählerienne de \mathcal{V}_{n_m}</i>	
▷ <i>Mécaniques quantiques supersymétriques et cohomologie</i>	
▷ <i>Le résultat de Sen</i>	
2. Dualité électrique/magnétique dans la théorie de Maxwell	74
▷ <i>La fonction de partition et l'invariance $\tau \rightarrow \tau + 1$</i>	
▷ <i>L'invariance $\tau \rightarrow -1/\tau$</i>	
▷ <i>La série d'instantons</i>	
▷ <i>Réduction dimensionnelle</i>	
3. La solution de Seiberg et Witten	80
▷ <i>Retour sur les transformations symplectiques de L_{eff}</i>	
▷ <i>Holomorphie et unitarité</i>	
▷ <i>La structure générale des singularités</i>	
▷ <i>La solution de la théorie de jauge pure</i>	
▷ <i>Généralisation aux théories (massives) avec quarks</i>	
4. Quelques conséquences physiques	88
▷ <i>Condensation des monopôles et confinement</i>	
▷ <i>Condensation des monopôles et brisure de la symétrie chirale</i>	
▷ <i>Théories abéliennes superconformes non-triviales</i>	
Bibliographie	93

Avant-propos

Dans le chapitre I, j'ai retracé l'évolution des idées, depuis les années 70 jusqu'à aujourd'hui, qui ont permis de définir un cadre précis dans lequel la dualité électrique/magnétique a pu être étudiée en détails. Certaines des conséquences spectaculaires de cette dualité ont fait l'objet de mes travaux de recherche. Ceux-ci sont résumés dans la dernière section du chapitre. Dans les chapitres II et III, j'ai décrit de nombreuses propriétés des théories supersymétriques et de la dualité électrique/magnétique, ce qui inclut une description des lagrangiens et des théorèmes de non-renormalisation, la géométrie spéciale rigide, le calcul d'instantons supersymétrique, le phénomène de fractionnement de charge, la théorie semi-classique des monopôles, la dualité dans la théorie de Maxwell, la célèbre solution de Seiberg et Witten, ainsi que plusieurs applications physiques et mathématiques, comme le calcul d'invariants η d'opérateurs de Dirac, le confinement des charges électriques, la brisure de la symétrie chirale ou les théories superconformes non-triviales à quatre dimensions. Certaines parties du chapitre II sont inédites, et seront publiées ultérieurement.

Cette introduction est toutefois très loin de couvrir tous les aspects de la dualité électrique/magnétique. Dans le cadre de la théorie des champs, je ne parlerai pas de la dualité à la Seiberg dans les théories $N = 1$, ni de la brisure douce de la supersymétrie. Je me limiterai de plus au groupe de jauge $SU(2)$, alors que la structure des théories ayant un groupe de jauge de rang plus élevé est aussi très intéressante et très étudiée. Je ne parlerai pas non plus des implications de la dualité à la Seiberg-Witten dans la théorie des variétés de dimension quatre, où pourtant ces idées ont été à la base de progrès phénoménaux. Adel Bilal et moi-même écrivons dans les mois qui viennent un article de revue qui paraîtra dans les "Physics Reports" et dans lequel au moins certains de ces sujets seront abordés. Au-delà de la théorie des champs, la dualité électrique/magnétique et ses généralisations sont à l'origine d'une révolution conceptuelle et technique dans la théorie des supercordes. Ceci est sans doute l'un des aspects les plus fascinants du sujet ; il n'en sera néanmoins pas question dans ce mémoire.

I Introduction générale

La théorie quantique des champs constitue le cadre le plus général connu permettant de décrire au niveau quantique des systèmes continus ayant une infinité de degrés de liberté et un nombre fini de types de quanta. Cette théorie a donc un spectre d'applications potentielles extraordinairement large. De la physique statistique à la théorie des interactions fondamentales en passant par la physique du solide ou l'hydrodynamique, ses succès ont été nombreux et très spectaculaires au cours des dernières décennies. Depuis les années 70, l'étude approfondie de la théorie a nécessité un rapprochement avec les mathématiques. Ce rapprochement a été à l'origine de plusieurs percées spectaculaires dans les deux domaines, et fait qu'aujourd'hui ce champ de recherche est largement pluridisciplinaire.

Dans la théorie des interactions fondamentales et des particules élémentaires, la théorie quantique des champs est omniprésente. Historiquement, ceci vint certainement du fait qu'elle constitue le cadre conceptuel le plus simple dans lequel on peut construire des théories quantiques relativistes. Cependant, ceci ne veut pas dire qu'elle joue un rôle *fondamentalement* plus important ici qu'ailleurs. Si la théorie des champs a dominé très largement et continue de dominer la physique théorique des particules élémentaires plus que les autres domaines de la physique, c'est en fait essentiellement pour des raisons d'ordre de grandeur. Pour comprendre ceci, prenons l'exemple suivant. Comparons les domaines de validité d'un modèle de théorie des champs, d'une part en tant que théorie de la supraconductivité, d'autre part en tant que théorie des particules élémentaires. Dans le cas de la supraconductivité, une description en termes d'une théorie des champs effective à la Ginzburg-Landau permet une compréhension satisfaisante du phénomène. Néanmoins, la recherche d'une théorie fondamentale microscopique allant au-delà de la théorie des champs est dans ce cas une démarche très naturelle, car l'échelle de longueur caractéristique de cette théorie microscopique est l'échelle atomique ($\sim 10^{-10}$ m) où des mesures expérimentales sont possibles et où les lois générales de la physique sont connues. La situation est très différente pour les particules élémentaires. Dans ce domaine, les expériences les plus ambitieuses permettent aujourd'hui de sonder la matière à des échelles de longueur de l'ordre de 10^{-18} m, et on arrivera à $L_{\text{LHC}} = 10^{-20}$ m (ou 10 TeV) avec le LHC d'ici quelques années. Ceci est à comparer à l'échelle de Planck, $L_{\text{Planck}} = (\hbar G/c^3)^{1/2} \sim 10^{-35}$ m, où une description de l'espace-temps comme un continuum à quatre dimensions cesse très certainement d'être valable. C'est seulement à cette échelle qu'une théorie "microscopique," au sens de la mécanique statistique, est obligatoire, et les effets directs de cette dernière seraient probablement déjà négligeables à des échelles de longueur de l'ordre et supérieures à l'échelle de grande unification, soit environ 10^{-31} m. Ceci ne veut bien sûr en aucun cas dire que la recherche d'une telle théorie microscopique soit inutile ou vaine. Les lagrangiens effectifs de la théorie des champs contiennent de

nombreux paramètres que seul un modèle microscopique peut prévoir ; par exemple la longueur caractéristique de pénétration du champ magnétique dans un supraconducteur (l'effet Meissner), ou la masse des bosons de jauge lourds dans le modèle standard (le mécanisme de Higgs). De plus, la longueur de Planck est, comme on l'a suggéré, reliée à la structure de l'espace-temps et donc à la force de gravitation. Aussi est-il probablement inutile de chercher une théorie quantique des champs de la gravitation. Une théorie microscopique candidate existe, c'est la théorie des supercordes. Cette théorie a de multiples autres facettes au-delà de sa capacité à incorporer de manière parfaitement cohérente des particules de spin 2 (peut-être le graviton) ; en particulier, elle constitue un formidable outil technique permettant d'étudier les théories des champs plus traditionnelles, ainsi qu'une source d'inspiration inépuisable.

Mais revenons à la théorie quantique des champs et à ses applications dans les théories des particules élémentaires. Les ordres de grandeur dont nous avons parlé dans le paragraphe précédent ont des conséquences encore plus profondes et subtiles sur le *type* de théorie quantique des champs qui jouent un rôle dans la description du monde subatomique. On s'attend tout d'abord à ce que seules quelques caractéristiques de la théorie fondamentale à l'échelle de la longueur de Planck L_{Planck} restent visibles disons à l'échelle L_{LHC} . La théorie du groupe de renormalisation de Wilson suggère en effet que l'effet direct des opérateurs dont le couplage est de dimension négative* est atténué par la puissance de $L_{\text{LHC}}/L_{\text{Planck}}$ correspondante, et que l'effet indirect de ces opérateurs non-pertinents est de "renormaliser" les couplages des autres opérateurs. Ainsi les seules théories à considérer à l'échelle L_{LHC} sont-elles des théories **renormalisables**, c'est-à-dire ne contenant pas d'opérateurs non-pertinents. Ceci explique aussi l'extraordinaire faiblesse de la force gravitationnelle par comparaison aux trois autres interactions connues ; la gravité correspond en effet à des couplages non-renormalisables et donc non-pertinents. De ces théories renormalisables, seul un petit nombre est susceptible de pouvoir être défini de manière totalement cohérente au niveau quantique tout en décrivant des champs en interaction. Cette sous-classe de modèles correspond aux théories **asymptotiquement libres**, pour lesquelles la constante de couplage g tend vers zéro quand l'échelle de distance L tend elle aussi vers zéro (ou quand l'échelle d'énergie $\mu = 1/L$ tend vers l'infini). Ces théories peuvent être définies à toutes les échelles de longueur tout en correspondant à des théories en interaction à l'échelle L_{LHC} , ce qui ne serait pas le cas de théories libres dans l'infrarouge pour lesquelles $\lim_{L \rightarrow \infty} g(L) = 0$ (c'est le problème de la trivialité). Les seules théories quantiques des champs ayant ces

* On utilisera le plus souvent des unités où $\hbar = c = 1$, et une quantité aura la dimension 1 si elle est homogène à une énergie dans ces unités. Je remettrai néanmoins parfois les facteurs \hbar pour éclairer la discussion physique.

propriétés de renormalisabilité et de liberté asymptotique à quatre dimensions sont les **théories de jauge non-abéliennes**, et c'est un fait expérimental que seules ces théories sont effectivement à même de décrire la nature à l'échelle subatomique L_{LHC} . La liberté asymptotique se reflète dans le comportement des quarks dans le noyau sondé à haute énergie (par haute énergie, on entend grande devant une certaine échelle Λ , qui est une caractéristique de chaque théorie non-abélienne considérée ; pour la chromodynamique, $\Lambda = \Lambda_{\text{QCD}} \sim 250 \text{ MeV}$).

L'étude des théories de jauge non-abéliennes a dominé la physique des hautes énergies pendant près de deux décennies, jusque dans les années 80. Ces recherches ont permis d'établir le Modèle Standard des interactions électrofaibles et fortes, qui reste la théorie physique la plus complète et la mieux vérifiée encore aujourd'hui. Tous ces succès ont pu être remportés essentiellement en raison du fait que les constantes de couplage des interactions sont souvent faibles, et que par conséquent la théorie peut être traitée en perturbation. Il y a cependant toute une classe de phénomènes qui restent hors de portée des méthodes traditionnelles perturbatives ou semi-classiques. Ces phénomènes sont censés être décrits par la théorie dans des régimes où le couplage est fort, car ils correspondent à une physique de basse énergie (de l'ordre ou inférieure à Λ_{QCD}). Ils incluent ainsi une très grande partie de la physique potentiellement décrite par la chromodynamique quantique, dont le confinement des quarks et la brisure de la symétrie chirale. À un niveau plus spéculatif, ce sont très probablement des effets de couplage fort qui sont à l'origine de la hiérarchie des masses dans le Modèle Standard, et de la brisure de la supersymétrie si supersymétrie il y a à haute énergie. Le nombre de phénomènes physiques, déjà connus ou encore à découvrir, potentiellement associés à la dynamique des champs de jauge en couplage fort, est en fait très grand. Ces trois dernières années, il a enfin été possible d'étudier *analytiquement* certains de ces phénomènes, dans le cadre de théories supersymétriques. Le dénominateur commun de ces travaux est la dualité électrique/magnétique, qui relie d'une manière subtile et inattendue les régimes de couplage fort et de couplage faible des théories. Les techniques *perturbatives* peuvent ainsi, indirectement, permettre d'étudier le régime *non-perturbatif* des théories. C'est dans ces nouvelles idées que mes travaux de thèse ont puisé leur inspiration. Adel Bilal et moi-même avons pu appréhender une physique et résoudre des problèmes que l'on n'aurait jamais osé aborder avant les découvertes remarquables de Sen, Seiberg et Witten en 1994.

1. Quelques aspects non-perturbatifs des théories de jauge

Depuis le milieu des années 70, certains aspects non-perturbatifs des théories de jauge, reliés à l'existence de configurations classiques des champs ayant des propriétés particulières, ont été étudiés. Deux grands types de configurations intéressantes existent.

▷ *Les instantons*

Dans un premier cas, elles correspondent aux solutions auto-duales ou anti auto-duales des équations de Yang-Mills dans un espace euclidien à quatre dimensions :

$$F = \pm \star F. \quad (\text{I.1})$$

Ces solutions, appelées instantons (Belavin et al. 1975, 't Hooft 1976ab), doivent être incluses dans l'intégrale de chemin définissant la théorie, et contribuent aux différentes quantités physiques par des termes en $\exp(-8n\pi^2/g^2)$ (pour une contributions "à n instantons") caractéristiques de l'effet tunnel. Ceci est à comparer aux termes en g^n générés par la série de perturbation. Les contributions d'instantons ne sont pas toujours négligeables. Dans les théories de jauge non-abéliennes, la fonction β est de la forme

$$\beta(g) = -\frac{\beta_0}{16\pi^2} g^3 \quad (\text{I.2})$$

(plus d'éventuels termes d'ordre supérieur en g), et donc les contributions à n instantons sont en

$$e^{-8n\pi^2/g^2} = \left(\frac{\Lambda}{\mu}\right)^{n\beta_0} \quad (\text{I.3})$$

où μ représente l'échelle d'énergie des phénomènes étudiés. On voit donc que pour $\mu \sim \Lambda$, les contributions d'instantons doivent jouer un rôle important.

Si les instantons ont en effet joué ce rôle dans la compréhension qualitative de la physique non-perturbative de la QCD (structure du vide en onde de Bloch, résolution du problème U(1)), ils n'ont pas permis d'effectuer des calculs quantitatifs. En fait, pour calculer le préfacteur des termes en $(\Lambda/\mu)^{n\beta_0}$, une intégration sur la taille de l'instanton est nécessaire et les "grands instantons" donnent en général une contribution infinie. On peut comprendre ce problème en se rappelant qu'à grande distance, la constante de couplage tend vers l'infini, et que dans ce régime, même une approximation non-perturbative mais de type semi-classique comme le calcul d'instantons n'est plus forcément valable. D'une manière plus général, le concept même de correction non-perturbative est difficile à définir en théorie des

champs. On peut tout d'abord se demander quelle est la signification de contributions d'instantons au-delà de la série de perturbation, alors que cette dernière est sans aucun doute divergente. De plus, les techniques classiques de transformation de Borel ne s'appliquent pas à la QCD (c'est le problème des renormalons), et on ne voit donc pas comment donner un sens précis à la théorie des perturbations à tous les ordres dans ce cas. Nous verrons que ces problèmes disparaissent dans les théories ayant des supersymétries étendues : les calculs d'instantons donnent des résultats finis, et la série de perturbation s'arrête à une boucle. Ceci ne veut pas dire que la physique non-perturbative ne soit pas très riche et complexe dans ces cas également. Par exemple, on ne sait pas a priori si la série d'instanton converge, et si oui avec quel rayon de convergence. Nous reviendrons sur ces points au chapitre III.

▷ *Les solitons*

Le deuxième type de configurations des champs jouant un rôle important dans la physique non-perturbative correspondent à des solutions statiques d'énergie finie des équations du mouvement. Ces solutions, appelées solitons, correspondent dans la théorie quantique à de nouvelles particules, qui ne sont pas créées par les champs fondamentaux de la théorie, mais par des combinaisons non-locales de ces champs. Dans le cadre des théories de jauge non-abéliennes à quatre dimensions, de telles solutions solitoniques ne peuvent exister que si le champ de jauge est couplé à des champs de matière. On obtient alors des monopôles magnétiques et des dyons, particules chargées à la fois électriquement et magnétiquement, dont l'exemple fondamental est le monopôle de 't Hooft et Polyakov ('t Hooft 1974, Polyakov 1974) décrit dans le prochain paragraphe. Une grande partie de mon travail de thèse a été consacré à l'étude des propriétés de ces particules de nature non-perturbatives, en particulier leur stabilité au niveau quantique et leur capacité à former des états liés, ceci dans le cadre des théories supersymétriques $N = 2$. Nous verrons que les solitons jouent un rôle crucial dans ce cas, et que la forme de la série d'instanton elle-même est largement déterminée par le comportement des dyons en couplage fort. Notons que les monopôles magnétiques ne sont pas le seul type de soliton connu. Par exemple, dans certains matériaux supraconducteur, on trouve des lignes de vorticit   où le champ magnétique peut s'engouffrer et qui correspondent à des solutions de la théorie des champs correspondante localisées autour d'une ligne (par opposition à la localisation autour d'un point pour les monopôles). De telles solutions jouent aussi un rôle important dans les théories non-abéliennes, puisqu'elles sont à la base de la compréhension du mécanisme de confinement des quarks. Nous reparlerons de ceci au chapitre III.

▷ *Le monopôle de 't Hooft et Polyakov*

Un modèle simple, qui a de nombreux points communs avec les théories que nous étudierons dans ce mémoire, est le modèle de Georgi et Glashow (1972). Il s'agit d'une théorie de jauge $SU(2)$ dans laquelle les champs de jauge sont couplés à un triplet de champs scalaires ϕ^a (que nous prendrons pour l'instant réels) qui se transforme dans la représentation adjointe du groupe de jauge. Ce triplet joue le rôle de boson de Higgs et permet de briser $SU(2)$ en $U(1)$. Le choix de $SU(2)$ pour le groupe de jauge G n'est pas vraiment nécessaire, mais il est suffisant pour étudier la physique associée aux monopôles magnétiques. D'une manière générale, les monopôles magnétiques apparaissent dès que le groupe de jauge G , qui doit être connexe en plus d'être compact, peut être brisé en un sous-groupe H connexe.* La charge magnétique "topologique" est alors définie comme étant un élément de $\pi_1(H)_G$, ou plus simplement de $\pi_1(H)$ lorsque G est simplement connexe.** Ces groupes d'homotopie classifient les diverses conditions aux limites possibles pour le champ de Higgs qui brise l'invariance de jauge, modulo des déformations continues, et on peut montrer que leurs éléments caractérisent bien la notion physique de charge magnétique. Revenons au modèle de Georgi et Glashow pour clarifier tout cela. Le lagrangien est

$$\mathcal{L} = -\frac{1}{2} \text{tr} F_{\mu\nu} F^{\mu\nu} + \text{tr} \mathcal{D}_\mu \phi \mathcal{D}^\mu \phi - \frac{\lambda}{4} \left(2 \text{tr} \phi^2 - a^2 \right)^2, \quad (\text{I.4})$$

où on a écrit $F_{\mu\nu} = F_{\mu\nu}^a \sigma^a / 2$, $\phi = \phi^a \sigma^a / 2$ et $\mathcal{D}_\mu = \partial_\mu + igA_\mu$. La solution statique de 't Hooft et Polyakov peut s'écrire dans une jauge bien choisie sous la forme

$$\phi^b = \frac{r^b}{gr^2} H(agr), \quad A^{bj} = -\epsilon_{bjk} \frac{r^k}{gr^2} \left(1 - K(agr) \right), \quad A^{b0} = 0. \quad (\text{I.5})$$

Elle représente un soliton au repos centré à l'origine du système de coordonnées \mathbf{r} . Remarquez le mélange subtil entre les indices de jauge et les indices d'espace dans la

* Les contraintes d'ordre mathématique sur les groupes que l'on peut considérer proviennent de contraintes physiques, comme l'invariance de jauge de la charge magnétique non-abélienne ou encore la possibilité de définir des lois de conservation pour celle-ci.

** En plus de cette classification topologique (dont on trouvera un exposé détaillé par exemple dans les revues de Goddard et Olive (1978) et de Coleman (1981)), il existe une classification dynamique des monopôles (Goddard et al. 1977) dont nous ne parlerons pas ici bien qu'elle joue un rôle important pour les groupes de jauge de rang plus grand que un.

formule. Ceci suggère que le fait que le scalaire ϕ soit dans la représentation adjointe est important, et nous verrons par la suite que ceci est en effet une caractéristique fondamentale qui a des conséquences profondes. Les fonctions H et K peuvent être déterminées numériquement, et ont un comportement asymptotique assurant la régularité de la solution ainsi que la finitude de l'énergie. En particulier,

$$\phi^b \underset{r \rightarrow \infty}{\sim} a \frac{r^b}{r}. \quad (\text{I.6})$$

La valeur non-nulle de a brise $\text{SU}(2)$ en $\text{U}(1)$. Plus exactement, comme tous les champs sont dans la représentation adjointe, le véritable groupe de jauge est $\text{SO}(3)$, et on s'attend donc d'après la discussion générale précédente à ce que les conditions aux limites pour ϕ définissent un élément de $\pi_1(\text{U}(1))_{\text{SO}(3)} = \mathbb{Z}$ que l'on aimerait interpréter comme étant une charge magnétique. Pour comprendre cette interprétation, il nous faut tout d'abord définir le champ électromagnétique $F_{\text{U}(1)}^{\mu\nu}$ dans notre théorie. Dans la jauge unitaire où $\phi = a\sigma_3/2$, on a bien sûr $F_{\text{U}(1)}^{\mu\nu} = F^{3\mu\nu}$. La grandeur covariante de jauge correspondante est

$$\begin{aligned} F_{\text{U}(1)}^{\mu\nu} &= \hat{\phi}^a F^{a\mu\nu} + \frac{1}{g} \epsilon^{abc} \hat{\phi}^a \mathcal{D}^\mu \hat{\phi}^b \mathcal{D}^\nu \hat{\phi}^c \\ &= \partial^\mu (\hat{\phi}^a A^{a\nu}) - \partial^\nu (\hat{\phi}^a A^{a\mu}) + \frac{1}{g} \epsilon^{abc} \hat{\phi}^a \partial^\mu \hat{\phi}^b \partial^\nu \hat{\phi}^c, \end{aligned} \quad (\text{I.7})$$

où $\hat{\phi}^a = \phi^a / (\phi^b \phi^b)^{1/2}$. La définition naturelle de la charge magnétique contenue à l'intérieur d'une surface Σ est donc

$$Q_m = \int_{\Sigma} \frac{1}{2} \epsilon_{ijk} F_{\text{U}(1)}^{jk} d\Sigma^i = \frac{1}{2g} \int_{S=\phi(\Sigma)} \hat{\phi}^a dS^a. \quad (\text{I.8})$$

La dernière intégrale est effectivement proportionnelle à un nombre entier, qui caractérise la classe d'homotopie du champ de Higgs sur la sphère à l'infini : $\pi_2(S^2) = \pi_1(\text{U}(1))_{\text{SO}(3)} = \mathbb{Z}$, et

$$Q_m = \frac{4\pi}{g} n_m \quad (\text{I.9})$$

pour un entier n_m a priori quelconque. Le monopôle de 't Hooft et Polyakov correspond à $n_m = 1$, mais il existe en fait des solutions classiques pour toutes les valeurs de n_m comme nous le verrons au chapitre III. Il est important de noter que la charge magnétique correspond à une grandeur conservée au cours de toute évolution continue de la configuration des champs : c'est un invariant *topologique* caractérisant cette configuration. Notons que cette grandeur conservée semble être

d'une nature totalement différente des traditionnelles charges de Noether, comme la charge électrique, qui ne sont conservées que lorsque les équations du mouvement sont vérifiées. Cependant, nous verrons que cette affirmation naïve n'est pas forcément justifiée. On sait d'ailleurs depuis longtemps que charges topologiques et charges de Noether peuvent être échangées, quitte à reformuler la théorie, au moins dans certains modèles à deux dimensions (sine Gordon/Thirring, voir Coleman (1975) et Mandelstam (1975)).

▷ *La relation de quantification de Dirac*

Je voudrais terminer cette section par une discussion générale de la relation de quantification de Dirac (1931), dont nous avons rencontré le premier exemple avec l'équation (I.9). Remarquons tout d'abord que si l'on autorisait des champs de matière se transformant dans la représentation fondamentale de $SU(2)$ (le groupe de jauge serait donc dans ce cas bien $SU(2)$ et non $SO(3)$), la plus petite charge électrique possible serait $g_0 = g/2$ et on pourrait récrire (I.9) sous la forme traditionnelle

$$\frac{Q_m g_0}{4\pi} = \frac{n_m}{2}. \quad (\text{I.10})$$

Nous avons démontré cette équation dans un contexte purement classique. Ceci a été possible car la fonction d'onde, qui jouait un rôle prépondérant dans la démonstration originale de Dirac, a été remplacée par des champs classiques chargés qui peuvent eux aussi potentiellement détecter une “corde de Dirac” non-physique. Il faut néanmoins garder à l'esprit que le couplage g du champ n'est pas vraiment la charge g_{part} d'une particule. Ces deux quantités sont reliées par la dualité onde/corpuscule selon $g_{\text{part}} = \hbar g$ (je remets très provisoirement les facteurs $\hbar!$), et la vraie relation “quantique” de Dirac est

$$\frac{Q_m g_{\text{elec}}}{4\pi} = \frac{n_m}{2} \hbar. \quad (\text{I.11})$$

L'une des conséquences les plus spectaculaires de (I.11) est la quantification de la charge électrique, pour peu qu'il existe un monopôle magnétique quelque part dans l'Univers. Il est tout à fait remarquable que l'autre mécanisme connu permettant d'expliquer la quantification de la charge électrique, par brisure d'un groupe de jauge compact, se trouve en dernière analyse être strictement équivalent au mécanisme de Dirac, puisque une telle brisure est toujours associée à l'existence de monopôles magnétiques dans la théorie.

2. La conjecture de Montonen et Olive

▷ *La masse des monopôles*

L'existence de monopôles magnétiques (et de dyons) dans les théories de jauge non-abéliennes peut paraître de prime abord constituer une complication inutile, voir même une gêne d'un point de vue phénoménologique, puisque des particules chargées magnétiquement n'ont jamais été observées jusqu'à aujourd'hui. Ceci nous amène tout naturellement à vouloir calculer la masse de ces particules, qui se doivent d'être très lourdes en théorie des perturbations. Dans les conventions que nous avons utilisées jusqu'ici pour la normalisation du terme cinétique du champ de Higgs (qui diffèrent essentiellement par un facteur g des conventions que nous utiliserons à partir du chapitre II dans le cadre des théories supersymétriques), on peut montrer que la masse M d'un dyon de charge électrique Q_e et de charge magnétique Q_m vérifie l'inégalité suivante, appelée borne de Bogomolny (1976)

$$M \geq |a| \sqrt{Q_e^2 + Q_m^2}, \quad (\text{I.12})$$

où a donne la valeur moyenne du Higgs, voir (I.6). Pour le monopôle de 't Hooft et Polyakov, on obtient $M \geq 4\pi|a|/g$. Cette formule est de nature purement non-perturbative : en théorie des perturbations, la masse des particules est une série de puissances *positives* de g . De plus, elle montre que les monopôles sont très massifs en couplage faible, ce qui explique qu'on ne les ait jamais observés. Ils sont par contre susceptibles de jouer un rôle important en couplage fort, où leur masse a tendance à décroître ; nous verrons que ceci est effectivement le cas.

▷ *La limite de Prasad et Sommerfield*

Il existe un cas très intéressant, appelé limite de Prasad et Sommerfield (Prasad et Sommerfield 1975), où la borne de Bogomolny est saturée. Lorsque le potentiel scalaire est identiquement nul, ce qui ne peut se produire dans le modèle de Georgi et Glashow que lorsque le couplage λ du champ de Higgs, et donc sa masse, tendent vers zéro, les équations du mouvement pour un monopôle ($\mathcal{E} = 0$) statique dans la jauge temporelle $A^0 = 0$ peuvent s'écrire

$$\mathcal{B}^{aj} = \pm D^j \phi^a. \quad (\text{I.13})$$

\mathcal{E} et \mathcal{B} sont les champs électrique et magnétique non-abéliens. Cette "équation de Bogomolny" a la propriété remarquable d'être du premier ordre. Elle a été largement

étudiée, et nous y reviendrons au chapitre III. Il est suffisant dans ce chapitre d'admettre qu'il existe des solutions pour toutes les charges magnétiques. De plus, il existe aussi des solutions de type dyon, et la formule des masses de Bogomolny dans la limite de Prasad et Sommerfield s'écrit

$$M_{\text{BPS}} = |a| \sqrt{Q_e^2 + Q_m^2}. \quad (\text{I.14})$$

▷ *La conjecture de Montonen et Olive*

Une propriété fascinante de la formule (I.14) est son universalité. Elle a été introduite à partir de l'étude des états solitoniques de la théorie, mais un calcul élémentaire montre qu'elle s'applique tout aussi bien aux états habituels du spectre perturbatif. Les bosons W , de charge électrique $\pm g$, ont en effet une masse $|a|g$ par le mécanisme de Higgs, pendant que le photon et le boson de Higgs, qui sont des particules neutres, sont de masses nulles. La formule (I.14) est en fait invariante sous des rotations électromagnétiques quelconques,

$$Q_e + iQ_m \longrightarrow e^{i\alpha}(Q_e + iQ_m), \quad (\text{I.15})$$

comme les équations de Maxwell sont invariantes lorsque l'on effectue les transformations

$$\begin{aligned} \mathbf{E} + i\mathbf{B} &\longrightarrow e^{i\alpha}(\mathbf{E} + i\mathbf{B}) \\ \mathbf{j} + i\mathbf{k} &\longrightarrow e^{i\alpha}(\mathbf{j} + i\mathbf{k}) \end{aligned} \quad (\text{I.16})$$

où \mathbf{j} et \mathbf{k} représentent respectivement le courant électrique et l'hypothétique courant magnétique. On peut apporter un argument supplémentaire en faveur d'une telle symétrie, en tout cas lorsque $\alpha = \pi/2$. Dans ce cas, on peut calculer la force qui s'exerce entre respectivement bosons W de même charge électrique, disons deux W^+ , et deux monopôles magnétiques de charge magnétique unité. Comme on l'a dit ci-dessus, il existe des solutions *statiques* de charge magnétique quelconque n_m . Ces solutions peuvent s'interpréter comme étant constituées par n_m monopôles élémentaires, ce qui suggère fortement que la force entre deux monopôles de même charge doit être nulle. Or, la force qui s'exerce entre deux bosons W^+ est la somme d'une contribution répulsive électromagnétique due à l'échange de photons et d'une contribution attractive due à l'échange de bosons de Higgs (ces deux particules sont de masse nulle dans la limite de Prasad et Sommerfield). Il est facile de constater qu'au moins à l'ordre des arbres, ces deux contributions se compensent exactement, en parfait accord avec la dualité électrique/magnétique.

Les arguments présentés ci-dessus sont à la base de la fameuse conjecture de Montonen et Olive (1977), qui postule l'équivalence complète entre les degrés de liberté électrique et magnétique. De nombreuses questions restent cependant ouvertes. Pourquoi les monopôles magnétiques auraient le spin un nécessaire pour jouer le rôle de bosons W ? Plus généralement, quels sont les nombres quantiques des états solitoniques, et sont-ils compatibles avec ceux de leurs éventuels états duaux créés par les champs élémentaires ? Que devient la formule (I.14) au niveau quantique ? Quelle place tiennent les dyons dans la dualité électrique/magnétique ? Ces points sont discutés dans la prochaine section, et nous mèneront naturellement à étudier les théories aux supersymétries étendues.

3. Dualité électrique/magnétique et supersymétrie

▷ *Le spin des monopôles*

C'est un exercice élémentaire que de calculer les valeurs possibles pour le moment angulaire d'un système constitué par un monopôle magnétique de Dirac de charge magnétique élémentaire Q_m placé à l'origine des coordonnées et par une particule de charge électrique Q_e sans spin qui se meut dans le champ monopolaire. Le résultat (voir par exemple Coleman 1981) est que le moment angulaire ne peut prendre que la valeur $|Q_m Q_e|/4\pi$ à l'addition d'un nombre entier positif près. Ceci suggère, et on peut le montrer rigoureusement en calculant le moment angulaire par la méthode de Noether, que si l'on rajoute au lagrangien (I.4) de Georgi et Glashow un doublet de champs scalaires se transformant dans la représentation fondamentale de SU(2) et ayant par conséquent une charge électrique $g/2$, on obtiendra des monopôles de type 't Hooft-Polyakov ayant un spin 1/2. En quelque sorte, les nombres quantiques sous le groupe de jauge se transforment en nombres quantiques de spin, ce qui constitue une propriété remarquable du secteur solitonique. Avec un triplet de champs scalaires, on s'attendrait à obtenir le spin un d'un boson de jauge. Cependant, ce type de solitons ne satureront jamais la borne de Bogomolny (I.14), même au niveau classique. Ce problème vient du fait que l'équation de Klein-Gordon associée aux champs scalaires supplémentaires n'admet pas de modes zéros non-triviaux. Afin d'obtenir des solitons BPS (i.e. saturant (I.14)) ayant un spin, il semble alors naturel de rajouter des fermions dans notre théorie. C'est en effet une conséquence bien connue des théorèmes de l'indice (Callias 1978, Bott et Seeley 1978) que les opérateurs de Dirac correspondant admettent des modes zéros qui pourront jouer le rôle de coordonnées collectives fermioniques pour la solution originale de 't Hooft et Polyakov. Le spin associé à de telles coordonnées collectives dépend dans quelle représentation du

groupe de jauge les fermions se transforment. Comme dans le cas des bosons, le spin de la représentation va se muer en véritable spin et s'ajouter au spin $1/2$ intrinsèque des fermions. Deux cas vont nous intéresser au premier chef dans ce mémoire. Dans le premier cas, on considère des fermions de Dirac dans la représentation adjointe de $SU(2)$, couplés au champ de Higgs par un terme standard de Yukawa. Dans un secteur solitonique de charge magnétique n_m , chaque fermion de Dirac de ce type apporte $2n_m$ modes zéros complexes ψ_{\pm}^m , $1 \leq m \leq n_m$, qui portent un spin $\pm 1/2$. Dans le deuxième cas, les fermions de Dirac sont dans la représentation fondamentale de $SU(2)$ et apportent chacun n_m modes zéros complexes sans spin. L'existence de tels modes zéros sans spin est tout de même très importante car ils sont susceptibles de porter des indices de saveurs.

▷ *Vers la supersymétrie*

On peut d'ores et déjà essayer de deviner dans quelles types de théories la dualité électrique/magnétique est susceptible de pouvoir être maintenue au niveau quantique. D'après l'analyse ci-dessus, on voit que les ingrédients nécessaires semblent être, outre le champ de jauge, un boson de Higgs adjoint de masse nulle assurant l'existence de solitons de type monopôle BPS, et des fermions eux aussi dans la représentation adjointe permettant de donner un spin à ces monopôles tout en maintenant le caractère BPS. Un tel contenu en champ rappelle irrésistiblement celui des théories de jauge supersymétriques. Le multiplet vectoriel $N = 2$ contient en effet, outre le potentiel vecteur A_{μ} , un spineur de Dirac ψ et un scalaire complexe ϕ , qui comme A_{μ} sont de masse nulle et se transforment dans la représentation adjointe du groupe de jauge. En fait, le contenu en champ de certaines théories supersymétriques (ayant $N = 2$ ou $N = 4$) est effectivement parfaitement compatible avec une dualité électrique/magnétique exacte (voir par exemple Ferrari 1997b). La dualité permet même de comprendre, de ce point de vue, une curiosité de la supersymétrie $N = 2$.* Les deux modes zéros complexes du fermion adjoint appartenant au multiplet vectoriel, associés au secteur $n_m = 1$, se comportent comme des opérateurs de création après quantification, et génèrent donc $2^2 = 4$ états (un de spin $+1/2$, deux de spin 0 et un de spin $-1/2$). Pour obtenir un multiplet auto-conjugué sous CPT, il faut rajouter les 4 états supplémentaires venant de la quantification dans le secteur $n_m = -1$. On obtient donc un multiplet à 8 états, qui doit représenter l'algèbre de supersymétrie $N = 2$. Or d'une manière générale, les représentations de cette algèbre tombent en deux classes. D'une part, nous avons des représentations dites longues, de dimension $2^4 = 16$, dont nous ne rencontrerons pas de réalisation dans la suite. D'autre part, nous avons des représentations dites courtes, de dimension $2^2 = 4$,

* La remarque ci-dessous semble inédite.

dont le contenu en spin est $(s_0 + 1/2, s_0, s_0, s_0 - 1/2)$. Les multiplets auto-conjugués sous CPT dans lesquels tombent les solitons de la théorie correspondent donc à des versions doublées du multiplet court de $N = 2$ (pour $s_0 = 0$). Indépendamment, le doublage du multiplet est également nécessaire pour pouvoir représenter l'algèbre de supersymétrie sur des champs tout en se limitant à des spins 0 ou 1/2, mais dans ce cas la raison semble essentiellement technique et ne peut être directement reliée à l'invariance CPT. On voit que ce doublage au niveau des champs fondamentaux peut tout de même être relié à l'invariance CPT après une transformation de dualité!

▷ *La formule fondamentale*

L'étude un peu plus approfondie des représentations de l'algèbre de supersymétrie va en fait nous fournir l'argument le plus convaincant à ce stade en faveur de la dualité électrique/magnétique dans les théories $N = 2$. Une propriété très importante des états appartenant à une représentation courte de l'algèbre est qu'ils préservent la moitié des supersymétries, ce qui peut encore s'exprimer par le fait qu'ils sont annulés par la moitié des supercharges. De cette condition, on peut déduire immédiatement une formule pour la masse de tels états. Celle-ci prend la forme

$$M = \sqrt{2} |Z|, \quad (\text{I.17})$$

où Z est une charge qui commute avec tous les générateurs des symétries de la théorie (d'où son nom de "charge centrale") et qui peut être calculée à partir de la formule

$$\{Q_\alpha^I, Q_\beta^J\} = 2\sqrt{2} \epsilon_{\alpha\beta} \epsilon^{IJ} Z. \quad (\text{I.18})$$

Les Q_α^I , $I = 1$ ou 2 , sont les deux supercharges de la supersymétrie $N = 2$, les indices grecs étant des indices de spineur. En appliquant avec soin la formule précédente, et en particulier sans négliger les termes de bord, Witten et Olive (1978) ont obtenu dans le cas de la théorie de jauge pure (qui ne contient que le multiplet vectoriel)

$$Z = \frac{1}{g} a (Q_e + iQ_m). \quad (\text{I.19})$$

Le préfacteur $1/g$ vient des normalisations particulières que l'on choisit habituellement dans le cadre des théories $N = 2$ pour le terme cinétique du champ de Higgs ϕ et pour la définition de $a \sim \langle \phi \rangle$. Tout ceci sera précisé au chapitre II. Ce qui est important, c'est que (I.17) et (I.19) donnent une formule des masses strictement équivalente à (I.14), mais cette fois de nature purement quantique. En fait (I.17) et (I.19) sont des équations *exactes* d'un point de vue quantique, tant que la supersymétrie n'est

pas brisée. Elles ont aussi la conséquence fondamentale suivante. Supposons que l'on arrive à montrer, par tel ou tel moyen, qu'une particule (un état) donnée appartient à un multiplet court de la supersymétrie, au moins dans une limite de couplage faible où des méthodes semi-classiques standards s'appliquent. Alors, si cet état est toujours stable en couplage fort, sa masse sera toujours donnée par la formule (I.17) de manière exacte. En effet, bien que les calculs semi-classiques soient généralement peu fiables pour déterminer quantitativement des grandeurs telles que la masse, ils sont par contre suffisants pour fixer sans ambiguïté les nombres quantiques des états. Ainsi, un état tombant dans une représentation courte de la supersymétrie en couplage faible restera dans une telle représentation même si le couplage est fort, à condition qu'il reste stable, le nombre de degrés de liberté ne pouvant changer. C'est une propriété extraordinaire de la supersymétrie $N = 2$ que de telles arguments sur les nombres quantiques ou la dimension des représentations puissent s'étendre à des grandeurs comme la masse, les deux étant intimement reliés par (I.17). Bien sûr, le calcul explicite de Z est a priori très difficile, même d'un point de vue semi-classique. Ce problème presque à lui seul fera l'objet des chapitres II et III.

4. Formulation précise et conséquences de la dualité

L'analyse que nous avons menée dans les sections précédentes nous a conduits à considérer les théories de jauge aux supersymétries étendues comme constituant le cadre général adapté pour étudier au niveau quantique la dualité électrique/magnétique. Nous sommes néanmoins loin d'avoir discuté toutes les conséquences physiques que peut avoir une telle dualité, et encore plus loin d'avoir avancé une quelconque preuve de sa validité. La puissance potentielle de la dualité réside dans la relation de quantification de Dirac (I.10) qui montre que le couplage électrique et le couplage magnétique sont inverses l'un de l'autre. Ainsi, la dualité que nous avons discuté jusqu'ici et que nous appellerons souvent "la dualité S" comme le veut l'usage, est non seulement une dualité électrique/magnétique,* mais aussi et surtout une dualité couplage fort/couplage faible. Ainsi peut-on s'attendre à ce que les méthodes de théorie des perturbations usuelles puissent s'appliquer même en couplage fort, mais dans une formulation magnétique de la théorie électrique initiale. L'existence de diverses formulations pour une même théorie, qui soient chacune adaptées à différents régimes, n'est pas nouveau en physique. L'exemple le plus célèbre d'une telle dualité couplage fort/couplage faible existe dans le modèle d'Ising à deux dimensions (sans champ magnétique) (Kramers et Wannier 1941). Le couplage fort correspond alors aux basses températures et le couplage faible aux hautes

* Cette affirmation doit être modifiée dans le cas général (Ferrari 1997a).

températures. En plus de relier les deux types de développement, la dualité permet aussi de prévoir la valeur exacte de la température critique dans ce cas, qui doit correspondre au point “auto-dual” où couplage fort et couplage faible se rejoignent. Dans le cadre des théories de jauge supersymétriques, nous verrons au chapitre III que le fait de devoir “recoller” couplage fort et couplage faible de manière cohérente apportera aussi des informations très intéressantes.

▷ *Anomalies*

Mais revenons aux équations fondamentales (I.17), (I.18) et (I.19) afin d’analyser, au niveau quantique, la signification des rotations électromagnétiques (I.15). (I.18) montre que de telles rotations doivent s’accompagner des transformations $Q \rightarrow \exp(i\alpha/2)Q$ sur les supercharges. De telles transformations sont bien connues et correspondent à une symétrie chirale, couramment appelée symétrie R , qui tient son origine dans la présence de fermions de masse nulle dans le multiplet de jauge de la théorie. Or une telle symétrie chirale est en général victime de l’anomalie d’Adler, Bell et Jackiw, et dans la plupart des cas seul un sous-groupe discret \mathbb{Z}_n de $U(1)_R$ reste une symétrie de la théorie au niveau quantique. Ce sous-groupe discret joue d’ailleurs un rôle très intéressant (Ferrari et Bilal 1996, Bilal et Ferrari 1996). Cependant, l’anomalie quand elle existe empêche la dualité d’être une symétrie exacte de la théorie au niveau quantique. Il existe un autre argument très simple qui montre que la dualité ne peut être correcte que dans des théories très particulières. En effet, si l’on souhaite que les formulations électrique et magnétique de la théorie correspondent toutes les deux à des théories de jauge non-abéliennes dont les couplages sont reliés par (I.10) et donc inverses l’un de l’autre, il faut nécessairement que les fonctions β des deux théories soient nulles, c’est-à-dire que la théorie n’ait pas d’anomalie conforme. En fait, on peut montrer que les courants associés à la symétrie chirale $U(1)_R$ et aux dilatations sont dans le même multiplet de la supersymétrie (Ferrara et Zumino 1975), et que donc les deux arguments présentés ci-dessus sont strictement équivalents.* Il ne faudrait surtout pas en déduire que la dualité électrique/magnétique n’a donc finalement que peu de chance de jouer un rôle, même dans les théories supersymétriques. Tout d’abord, même si la dualité n’est pas une symétrie de la théorie toute entière, elle peut l’être plus modestement dans certaines limites. Nous verrons au chapitre III que c’est effectivement ce qu’il se passe pour les théories asymptotiquement libres dans la limite infrarouge. C’est en utilisant ce fait que Seiberg et Witten ont pu déterminer les actions effectives à basse énergie de ces théories, démontrer analytiquement que les monopôles se condensent

* Pour les subtilités associées à ce raisonnement, voir Grisaru et West (1985) et la section II.2.

et sont donc à l'origine du confinement des quarks dans certaines théories $N = 1$, ainsi que mettre en évidence un nouveau mécanisme pour la brisure de la symétrie chirale en QCD. Tous ces points seront discutés au chapitre III. Ensuite, il existe des théories très particulières, mais qui ont un grand intérêt théorique, où la fonction β est nulle et donc où la dualité est potentiellement exacte. La théorie la plus connue ayant cette propriété est $N = 4$, mais il existe aussi des théories de ce type avec deux supersymétries seulement. Celles-ci sont étudiées dans l'un de mes articles (Ferrari 1997b).

▷ *La conjecture de Sen*

Les équations (I.17) et (I.19) ne nous ont pas encore livré tous leurs secrets. Il nous manque en fait un ingrédient essentiel, qui permettra entre autres d'élucider le rôle joué par les dyons dans la dualité, et qui provient de l'étude des contraintes dues à la quantification de la charge électrique et de la charge magnétique. En reportant dans (I.19) la formule (I.9) et en utilisant le fait que $Q_e = g(-n_e + n_m\theta/2\pi)$ où n_e et n_m sont des nombres entiers a priori quelconques et θ est l'angle θ nu de la théorie,* on obtient

$$Z = a \left(-n_e + \left(\frac{\theta}{2\pi} + i \frac{4\pi}{g^2} \right) n_m \right). \quad (\text{I.20})$$

Il est alors commode d'introduire la constante de couplage généralisée

$$\tau = \frac{\theta}{2\pi} + i \frac{4\pi}{g^2}. \quad (\text{I.21})$$

On voit que les transformations de dualité les plus générales laissant invariante la masse physique donnée par (I.17) et respectant la quantification de Q_e et Q_m (qui se traduit par le fait que n_e et n_m sont des entiers) sont du type

$$\begin{pmatrix} n_e \\ n_m \end{pmatrix} \longrightarrow M \begin{pmatrix} n_e \\ n_m \end{pmatrix}, \quad M = \begin{pmatrix} a & b \\ c & d \end{pmatrix}, \quad (\text{I.22})$$

$$\tau \longrightarrow \frac{a\tau + b}{c\tau + d}, \quad (\text{I.23})$$

où M est une matrice du groupe $\text{SL}(2, \mathbb{Z}) = \text{Sp}(2, \mathbb{Z})$, c'est-à-dire que a, b, c et d sont quatre nombres entiers tels que $ad - bc = 1$. Cette observation très simple due à Sen (1994) a des conséquences très importantes. Tout d'abord, elle montre que le groupe

* la présence de l'angle θ dans cette dernière relation ("effet Witten," 1979) sera discutée en détails dans le chapitre II. Le signe $-$ devant n_e est une convention pratique.

de dualité ne peut être $U(1)$ mais au mieux $SL(2, \mathbb{Z})$. Ensuite, elle établit une loi de transformation généralisée (I.23) pour la constante de couplage dans une théorie où l'angle θ n'est pas nul. Enfin, elle montre clairement que les transformations de dualité peuvent associer à un état chargé électriquement ($n_e = 1, n_m = 0$) a priori n'importe quel dyon (n_e, n_m) où n_e et n_m sont deux nombres entiers premiers entre eux. Bien sûr, au cours de la transformation faisant passer de $(1, 0)$ à (n_e, n_m) , certains paramètres de la théorie changent (en plus de la constante de couplage, la valeur moyenne du Higgs peut également se transformer, voir par exemple Ferrari 1997b). Cependant, à cause de la formule des masses (I.17) et des lois de conservation pour la charge électrique et la charge magnétique, les états BPS sont particulièrement stables. Un argument simple montre en fait que l'on peut en général faire varier continûment les paramètres de la théorie sans affecter leur stabilité, *sauf* si l'on croise certaines hypersurfaces particulières de codimension 1 (sur \mathbb{R}) dans l'espace des paramètres. Ces hypersurfaces, dites de stabilité marginale, jouent un rôle essentiel dans la physique des théories $N = 2$. Pour nous, qui n'étudierons que le cas du groupe de jauge $SU(2)$, elles correspondent à des courbes au travers desquelles le spectre des particules stables peut éventuellement subir des discontinuités. Ces courbes n'existent cependant pas toujours, et la théorie ayant quatre supersymétries fournit l'exemple typique où le spectre des dyons doit être totalement uniforme. Allié à l'hypothèse d'auto-dualité de la théorie, ceci a des conséquences hautement non triviales sur le spectre de la théorie à *paramètres fixés* :

Si la dualité électrique/magnétique est une symétrie quantique exacte de la théorie $N = 4$, alors tout état de type dyon (n_e, n_m) , où n_e et n_m sont des entiers premiers entre eux quelconques, doit exister et correspondre à un unique état lié stable de la théorie quantique, ce pour toutes les valeurs de la constante de couplage g et de l'angle θ .

C'est la célèbre conjecture de Sen (Sen 1994).

Quand on connaît la difficulté associée à l'étude des états liés en théorie quantique des champs, on mesure mieux la portée des conséquences de la dualité. Il s'agit ici d'étudier des états liés de solitons de la théorie des champs, et l'élaboration d'une théorie quantique pour ces solitons est déjà un exercice difficile. En fait, l'un des résultats les plus remarquables de la théorie des monopôles, obtenu au prix d'une grande virtuosité mathématique, a été la compréhension complète de la dynamique classique du problème à deux corps par Atiyah et Hitchin (Atiyah et Hitchin 1988). Il a ensuite été possible de construire une théorie quantique valable aux basses énergies (Harvey et Strominger 1993, Gauntlett 1994, Blum 1994), suffisante en principe pour étudier rigoureusement les états liés à deux corps (c'est-à-dire les états de charge magnétique 2). Le succès de cette approche a été parachevé par Sen, toujours dans

son article de 1994, où il est établi que tous les états (n_e, n_m) , pour n_e entier impair quelconque et $|n_m| = 2$, existent bien dans la théorie $N = 4$.

Avant de terminer cette section, je voudrais souligner le fait que la conjecture de Sen (qui peut d'ailleurs se généraliser à d'autres théories, voir Ferrari (1997b)) nous mène au cœur des implications de la dualité au niveau quantique. En fait, au moins heuristiquement, on peut considérer que cette conjecture est équivalente à l'hypothèse de dualité elle-même. Pour comprendre cela, considérons toujours l'exemple de $N = 4$, et imaginons que l'on cherche à comprendre la dynamique quantique associée à un état (n_e, n_m) quelconque, dont on admet l'existence a priori. Comme un tel état est en fait un multiplet de $N = 4$, il contient des spins allant de 0 à 1. Les seules théories quantiques permettant d'incorporer de manière cohérente des particules de spin un (et pas de spins supérieurs) sont très probablement les théories de jauge non-abéliennes. Or il existe une unique théorie de ce type ayant quatre supersymétries (une fois le groupe de jauge fixé), qui est aussi bien sûr celle décrivant les quantas élémentaires électriques ! Un tel argument peut aisément se généraliser aux autres théories susceptibles d'être auto-duales.

5. Survol des résultats de mes recherches doctorales

On peut distinguer trois directions principales dans mes recherches doctorales. Elles ont donné lieu à quatre publications (Ferrari et Bilal 1996, Bilal et Ferrari 1996, Ferrari 1997a et Ferrari 1997b). Le dénominateur commun de ces recherches est qu'elles ont été effectuées dans le cadre des théories de jauge $SU(2)$ à quatre dimensions d'espace-temps ayant des supersymétries étendues (deux ou quatre), et qu'elles ont toutes pour thème central la dualité électrique/magnétique.

▷ *Les théories asymptotiquement libres*

J'ai tout d'abord étudié, en collaboration avec mon directeur de thèse Adel Bilal, les théories asymptotiquement libres. Celles-ci correspondent à la théorie de jauge pure ou à des versions de la chromodynamique quantique où l'on couple au champ de jauge de une à trois saveurs de quarks ($N_f = 1, 2$ ou 3). Nous avons étudié et résolu dans ces théories, lorsque la masse nue des quarks est nulle,* un problème physique qui avait été soulevé dans la dernière section de l'article révolutionnaire de Seiberg et Witten (Seiberg et Witten 1994a). Comme nous l'avons déjà discuté, la

* Le problème correspondant quand les masses nues sont non-nulles est nettement plus difficile à traiter techniquement, et donnera lieu à une nouvelle publication (Bilal et Ferrari 1997).

dualité électrique/magnétique ne saurait être une symétrie exacte dans une théorie asymptotiquement libre. Néanmoins, Seiberg et Witten ont montré qu'elle jouait un rôle très profond pour la physique à basse énergie de ces théories. Nous verrons aux chapitres II et III comment on peut formuler l'action effective à basse énergie S_{eff} de la théorie d'une manière manifestement invariante sous les transformations du groupe de dualité $SL(2, \mathbb{Z})$. La charge centrale Z de l'algèbre de supersymétrie peut de plus être calculée directement à partir de l'action effective à basse énergie, ce qui montre que cette dernière contient toute l'information concernant la masse des états BPS via la formule (I.17). La possibilité d'effectuer des transformations de $SL(2, \mathbb{Z})$ quelconques sur S_{eff} aurait alors tendance à faire croire que le spectre des dyons doit être lui aussi invariant sous $SL(2, \mathbb{Z})$. Si on a vu que ceci était plausible pour la théorie $N = 4$, l'existence d'états liés de charge magnétique quelconque dans les théories asymptotiquement libres serait par contre très surprenant. On pourrait alors conclure naïvement que les transformations de dualité sur l'action effective à basse énergie sont en fait interdites au niveau quantique. Mais cette interprétation est ce qu'il y a de plus erronée. En fait, Seiberg et Witten ont montré, et je reprendrai leurs arguments au chapitre III, qu'il était *nécessaire* d'effectuer certaines transformations de dualité pour pouvoir définir la théorie de manière globale. Ces transformations de dualité "obligatoires" appartiennent à un sous-groupe d'indice fini de $SL(2, \mathbb{Z})$, typiquement $\Gamma(2)$ qui correspond aux matrices congrues à l'identité modulo 2. Or le spectre BPS, s'il n'est pas invariant sous $SL(2, \mathbb{Z})$, ne l'est certainement pas non plus sous $\Gamma(2)$ ou tout autre sous-groupe de ce type. La question que se posèrent alors Seiberg et Witten peut se formuler de la manière suivante : comment peut-on concilier un formalisme intrinsèquement invariant sous certaines transformations de dualité, alors que la théorie elle-même, et le spectre des dyons en particulier, n'a certainement pas cette invariance ?* Ils proposèrent alors un mécanisme plausible afin d'expliquer ce fait. Celui-ci fait appel à l'existence des courbes de stabilité marginale dont j'ai déjà parlé précédemment et au travers desquelles les états BPS, habituellement stables, peuvent se désintégrer. L'idée est que pour effectuer les transformations de dualité, il faut faire varier les paramètres de la théorie (en l'occurrence la valeur moyenne du Higgs). Si, lors d'une telle opération, on franchit une courbe de stabilité marginale, l'état lié indésirable que l'on produit en effectuant la transformation de dualité peut se désintégrer en états de charges magnétiques plus basses (souvent 1), et toute contradiction disparaît. Un tel mécanisme avait en fait déjà été mis en évidence dans certaines théories bidimensionnelles (Cecotti et al. 1992, Cecotti et Vafa 1993). Cependant, pour montrer que les désintégrations nécessaires se produisent effectivement, et pour en dégager ce que Seiberg et Witten appelle "la physique du

* Cette question est discutée d'une manière très générale dans Ferrari 1997b.

modèle,” il faut pouvoir étudier les états liés dans un régime de grand couplage, car la courbe de stabilité marginale se trouve entièrement incluse dans une région où la théorie est fortement couplée. Ceci était totalement hors de la portée des méthodes disponibles en 1994 ; la théorie dont nous avons déjà parlé et qui permit à Sen d’étudier les états liés à deux monopôles pour $N = 4$ est en effet une théorie semi-classique qui est inapplicable en couplage fort.

Nous avons introduit, Adel Bilal et moi-même (Ferrari et Bilal 1996, Bilal et Ferrari 1996), une approche totalement nouvelle, qui a permis non seulement de montrer que le mécanisme suggéré par Seiberg et Witten avait effectivement lieu, mais aussi de déterminer le spectre des dyons en couplage fort et ainsi de mettre en évidence de nouveaux phénomènes associés à la dynamique des champs de jauge en couplage fort. L’idée provient d’une intuition sur ce que l’on pourrait appeler “le pouvoir de l’action effective à basse énergie dans les théories $N = 2$.” D’une manière très générale, la forme de l’action effective dépend bien sûr du contenu en particules (massives) de la théorie, puisque celle-ci est obtenue en “intégrant” sur ces états. De plus, des singularités peuvent se produire en variant les paramètres de la théorie, lorsque la masse des particules sur lesquelles on a intégrée passe en dessous de l’échelle d’énergie à laquelle on a défini S_{eff} . Dans le cas de nos théories $N = 2$, la formule (I.17) permet même de calculer la masse exacte des particules massives de type BPS* à partir de S_{eff} . Serait-il alors possible d’aller plus loin et de montrer, même si cela peut paraître au premier abord très surprenant, que S_{eff} gouverne aussi la *formation* de tous les états stables de la théorie au niveau quantique ? C’est ce que nous avons pu montrer (Ferrari et Bilal 1996, Bilal et Ferrari 1996) grâce à une analyse détaillée de la structure globale de l’action effective déduite par Seiberg et Witten. Il est apparu que l’espace des paramètres de la théorie devait être séparé en deux régions. Dans l’une de ces régions, appelée un peu abusivement “région de couplage faible \mathcal{R}_W ,” le spectre des particules stables de la théorie peut être relié continûment au spectre semi-classique a priori valable quand la théorie est faiblement couplée. Nous avons pu montrer que ce spectre ne contenait pas d’états liés de monopôles, comme il était attendu.** Dans l’autre région, qui correspond à un régime où la théorie est fortement couplée, il est apparu que le spectre n’avait plus rien à voir avec ce que l’on pouvait déduire en examinant le lagrangien de départ ou les solutions classiques de type soliton associées. En fait, la plupart des états perturbatifs ou semi-classiques se désintègrent pour ne laisser place qu’à un nombre très réduit d’états : le photon et un nombre fini (deux ou trois) de solitons. Ces solitons ont de plus la particularité

* Remarquons que toutes les particules connues sont de ce type.

** Dans la théorie avec trois saveurs de quarks, il existe en fait des états liés à deux corps, i.e. de charge magnétique $|n_m| = 2$, mais aucun état ayant $|n_m| \geq 3$.

de ne pas avoir, à strictement parler, une charge électrique et une charge magnétique bien définies. Ceci est particulièrement frappant dans le cas $N_f = 1$, où la même particule doit être considérée parfois comme étant purement “électrique” ($n_e = 1$, $n_m = 0$) et parfois comme étant purement “magnétique” ($n_e = 0$, $n_m = 1$). Un autre aspect remarquable de ce spectre de couplage fort est qu’il ne contient pas de particule massive de spin un (les bosons W) qui sont habituellement associées à la brisure spontanée de la symétrie de jauge. Nous avons ainsi mis en évidence un contre exemple au fameux mécanisme de Higgs, qui n’est en fait valable que perturbativement.

Pour en terminer avec ce point, je tiens à souligner que ce genre de phénomène de réarrangement drastique du spectre d’une théorie en couplage fort est probablement très général. Le confinement des quarks est bien sûr un exemple. Un autre exemple que je souhaite signaler provient de la physique des fermions fortement corrélés, comme on en trouve dans les supraconducteurs à haute température critique. On sait bien que dans de tels systèmes, une description en termes d’excitations en correspondance biunivoque avec les excitations présentes quand le couplage est nul (“liquide de Fermi,” similaire à ce qu’il se passe dans notre région \mathcal{R}_W) est erronée en général. En fait le spectre est très différent (“liquide de Luttinger”) et a sans doute des propriétés très surprenantes, impliquant la séparation spin/charge par exemple.

▷ *Fractionnement de charge et dualité*

Je me suis aussi intéressé au phénomène de fractionnement de charge et à ses conséquences dans le cadre des théories supersymétriques $N = 2$. Ma motivation pour étudier ce problème, sur lequel une littérature très abondante existait déjà en particulier en raison de ses applications dans la physique des polymères, est venu du fait que la formule de Bogomolny (I.17) relie la masse à certaines charges abéliennes via l’équation (I.19). Le calcul semi-classique de ces charges abéliennes pour des états solitoniques constitue un problème difficile, que l’on ne sait résoudre de manière assez général que depuis le milieu des années 80 (Niemi et Semenoff 1986). Dès 1976, Jackiw et Rebbi réalisèrent que dans certaines théories des champs, les états solitoniques pouvaient porter des charges (baryoniques, électriques ou autres) fractionnaires bien que tous les champs fondamentaux et donc les particules du spectre perturbatif ne portent que des charges entières. Plus généralement, lorsque certaines symétries discrètes sont brisées, n’importe quelle valeur réelle est possible a priori. L’exemple le plus célèbre de ce phénomène, dans le cadre des théories de jauge non-abéliennes où les solitons sont des monopôles magnétiques ou des dyons, est l’effet Witten dont nous avons parlé dans la section précédente. À cause de la valeur non-nulle de l’angle θ , qui brise l’invariance CP, la charge électrique physique d’un dyon a un terme correctif

proportionnel à θ . Ceci joue un rôle important dans la formulation rigoureuse des transformations de dualité comme étant des transformations de $SL(2, \mathbb{Z})$, comme nous l'avons déjà vu.

Lorsque l'on considère des quarks *de masse nue non-nulle* dans la théorie, de nouveaux effets physiques liés au fractionnement de charge sont susceptibles de se produire. Il y a deux raisons principales à cela. La première est que la possibilité d'avoir une masse complexe fournit une nouvelle manière de briser l'invariance CP dans la théorie, et donc on peut s'attendre à ce que la charge électrique ait d'autres termes correctifs en plus de l'effet Witten. La deuxième, qui est la plus importante, est que la formule (I.19) exprimant la charge centrale de l'algèbre de supersymétrie doit être modifiée. En plus de la contribution de la charge électrique et de la charge magnétique, une troisième charge abélienne, "le nombre de quarks" (ou charge baryonique) S intervient et on a

$$Z = \frac{1}{g} a (Q_e + iQ_m) + \frac{1}{\sqrt{2}} \sum_{f=1}^{N_f} m_f S_f, \quad (\text{I.24})$$

où m_f est la masse nue des quarks. Au chapitre II, j'expliquerai comment on peut calculer la charge S_f semi-classiquement en fonction de m_f et de la valeur moyenne du Higgs, en la reliant à l'asymétrie spectrale de certains opérateurs de Dirac. Le résultat est très intéressant pour plusieurs raisons. Tout d'abord, il permet de retrouver le comportement asymptotique de l'action effective à basse énergie au voisinage de ses singularités, ce qui n'avait été jusque là déduit que par un calcul semi-heuristique à partir de l'action effective elle-même. Ensuite, il permet de répondre à certaines questions assez subtiles concernant l'interprétation de la formule (I.24) à un niveau non-perturbatif. Enfin, il montre que les transformations $SL(2, \mathbb{Z})$ mélangent en fait de manière intime les *trois* charges abéliennes intervenant dans la charge centrale Z , et que donc la dualité est dans ce cas une dualité électrique/magnétique/baryonique, et non une simple dualité électrique/magnétique. Nous reviendrons sur tous ces points au chapitre II, voir aussi Ferrari (1997a).

Il y a une autre application potentielle des résultats décrits ci-dessus, que je n'ai pas encore eu le temps d'étudier en détails, mais qui mérite d'être mentionnée ici. Comme je l'ai déjà expliqué, les charges S_f sont en fait directement reliées à l'asymétrie spectrale, ou invariant η , de certains opérateurs de Dirac. Ces opérateurs de Dirac n'ont a priori rien à voir avec la supersymétrie, et décrivent simplement le couplage minimal d'un fermion de Dirac avec un champ monopolaire de charge magnétique donnée n_m . Cependant, comme l'invariant η associé est susceptible de contribuer, par l'intermédiaire de S_f , à la charge centrale Z d'une algèbre de supersymétrie $N = 2$, nous pouvons en déduire des contraintes non-triviales sur η en

fonction des paramètres de la théorie. Ces contraintes proviennent du fait que Z ne peut dépendre de ces paramètres que par l'intermédiaire d'une fonction holomorphe. Ceci est une conséquence très importante de la géométrie spéciale associée à la supersymétrie $N = 2$,* et on voit qu'elle a ici une implication très inattendue : η (ou S_f), qui sont des nombres réels, doivent correspondre à la partie réelle d'une fonction holomorphe, c'est-à-dire être des fonctions harmoniques des paramètres ! En prolongeant ce genre d'argument, on peut en fait calculer explicitement ces invariants η à partir de calculs à une boucle dans la théorie supersymétrique, ce qui constitue une simplification considérable par rapport aux calculs connus. Cet aspect inédit de la supersymétrie $N = 2$ sera expliqué au chapitre II et donnera lieu à une publication ultérieurement.

▷ *Les théories finies*

Nous avons, au cours des recherches menées sur les théories asymptotiquement libres, découvert une propriété très remarquable des théories de jauge $N = 2$: toute l'information concernant le spectre des états liés est contenue, au moins dans certains cas particuliers, et d'une manière très cachée, dans l'action effective à basse énergie. Ceci constitue un fait totalement nouveau, qui ouvre des perspectives intéressantes. En particulier, il est extrêmement tentant d'essayer d'appliquer ces idées aux théories finies afin d'attaquer la conjecture de Sen. Je limiterai ici la discussion à $N = 4$, mais $N = 2$ avec quatre saveurs de quark peut se traiter en parallèle comme il est expliqué dans Ferrari (1997b).

Plusieurs obstacles empêchent en fait de généraliser les raisonnements utilisés dans les théories asymptotiquement libres. Le plus évident est que l'action effective ne reçoit aucune correction quantique dans les théories finies superconformes, comme $N = 4$, et que donc elle est essentiellement triviale et n'apporte aucune information sur le spectre des états BPS. L'idée qui a permis de surmonter ce problème a été d'étudier une déformation non-triviale de la théorie, qui correspond à considérer la théorie $N = 2$ avec une saveur de quark de masse nue $m \neq 0$ dans la représentation adjointe. Une telle théorie est aussi conjecturée comme étant auto-duale. Quand $m = 0$, on retrouve la théorie $N = 4$, mais quand $m \neq 0$ on est dans une situation beaucoup plus complexe du point de vue de l'action effective à basse énergie. Pour comprendre ce fait, il suffit de constater que dans la limite $m \rightarrow \infty$, l'hypermultiplet de quark se découple et que l'on retrouve l'action effective de la théorie de jauge pure dont on sait déjà qu'elle contient beaucoup d'informations sur le spectre. Cependant, la considération de théories où la masse nue des quarks est non-nulle ne va pas sans apporter de nouvelles difficultés. Certaines, déjà mentionnées, sont reliées

* Nous en donnerons une définition précise au chapitre II.

au phénomène de fractionnement de charge (Ferrari 1997a). D'autres proviennent du fait que pour pouvoir effectuer des raisonnements parfaitement rigoureux, il est nécessaire de connaître explicitement l'action effective à basse énergie. Or, les méthodes classiques de calcul, fondées sur l'utilisation d'équations différentielles dites de Picard-Fuchs que doivent vérifier certaines variables dont on peut déduire S_{eff} , sont inutilisables lorsque la masse nue des quarks est non-nulle. Ceci explique que, malgré une littérature abondante sur ce thème, aucune formule explicite pour S_{eff} n'était connue. En uniformisant les surfaces spectrales associées aux actions effectives à basse énergie à l'aide de la fonction \wp de Weierstrass, j'ai pu obtenir pour la première fois de telles formules pour S_{eff} , exposées dans Ferrari (1997b).*

Ces deux difficultés franchies, j'ai pu étudier en détail la physique des théories massives, et en déduire plusieurs conséquences intéressantes. La plus importante, et qui constitue l'aboutissement de mes recherches doctorales, est une démonstration rigoureuse et complète de la conjecture de Sen. Ceci correspond en un certain sens à la première preuve de dualité au niveau quantique dans une théorie de jauge à quatre dimensions, comme je l'ai expliqué à la fin de la section 4 de ce chapitre. On peut comprendre intuitivement la présence d'états liés de charge magnétique quelconque dans la théorie $N = 4$ de la manière suivante. Lorsque $m \neq 0$, en plus de la limite naturelle $m \rightarrow \infty$ menant à la théorie de jauge pure, on peut en fait étudier une infinité d'autres limites qui correspondent à des théories de jauge pure duales. Dans ces théories, le spectre des dyons peut être aisément déduit en utilisant les mêmes idées que celles utilisées dans Ferrari et Bilal (1996) ou Bilal et Ferrari (1996) pour la théorie de jauge pure électrique standard. Tous les états (n_e, n_m) peuvent être générés de cette manière. Lorsque $m \rightarrow 0$, on peut alors montrer que ceux-ci restent stables et sont donc à l'origine des états correspondant dans la théorie $N = 4$. On peut aussi montrer l'unicité de ces états, et donc fournir une preuve complète de la conjecture de Sen. Dans Ferrari (1997b), d'autres aspects de ces théories sont également discutés. En particulier, un argument très général et indépendant du spectre BPS est donné qui suggère fortement que la théorie doit être invariante au moins par rapport au sous groupe $\Gamma(2)$ de $\text{SL}(2, \mathbb{Z})$. Dans un autre registre, un critère physique général est avancé qui permet de comprendre le pourquoi des points superconformes à la Argyres et Douglas (1995) dans les théories $N = 2$. Ces points superconformes peuvent être obtenus par exemple dans les théories asymptotiquement libres pour certaines valeurs particulières des masses nues des quarks (Argyres et al. 1996). La limite infrarouge de la théorie asymptotiquement libre est alors une théorie superconforme non-triviale à quatre dimensions, pour laquelle il n'existe pas de formulation en termes

* Notons aussi les articles indépendants et simultanés de Schulze et Warner (1997) et d'Álvarez-Gaumé, Mariño et Zamora (1997), où des calculs similaires sont effectués.

d'une théorie des champs locale. L'existence de tels points est reliée dans Ferrari (1997b) au phénomène de "transmutation" d'une particule chargée électriquement en particule chargée magnétiquement. De telles transmutations doivent nécessairement se produire en particulier en raison des symétries discrètes qui existent quand $m = 0$. Nous reviendrons sur ce phénomène au chapitre III.

II Propriétés de la théorie quantique

Le chapitre commence par une présentation des lagrangiens des théories que nous étudions dans ce mémoire et de la géométrie spéciale associée. Certaines propriétés des corrections quantiques sont ensuite étudiées, en particulier les théorèmes de non-renormalisation et la série d'instantons. Puis l'exposé se concentre sur une propriété très inattendue de la supersymétrie $N = 2$. Je montre qu'il est possible d'obtenir l'invariant η de certains opérateurs de Dirac couplés à des champs monopôlares, qui n'ont a priori rien à voir avec la supersymétrie, directement à partir d'un calcul perturbatif à une boucle dans la théorie supersymétrique. Ces résultats inédits seront publiés ultérieurement. J'expose également le calcul traditionnelle de l'invariant η . Outre son intérêt intrinsèque, ce calcul fut à la base de l'article Ferrari (1997a). Sa complexité fait aussi ressortir l'intérêt de la nouvelle méthode de calcul basée sur la supersymétrie.

1. Lagrangiens et symétries

▷ *Les lagrangiens renormalisables et leurs symétries*

D'une manière générale, le lagrangien est la somme de deux termes,

$$L = L_1 + L_2, \quad (\text{II.1})$$

où L_1 correspond à la théorie de jauge pure et L_2 au couplage éventuel avec des quarks de différentes saveurs. L_1 contient, en termes de superchamps $N = 1$, un superchamp vectoriel W et un superchamp chiral Φ qui peuvent s'écrire*

$$W_\alpha = -\frac{1}{16} \bar{D}^2 e^{-2V} D_\alpha e^{2V} \quad (\text{II.2})$$

avec

$$V = -\theta \sigma^\mu \bar{\theta} A_\mu + i\theta^2 \bar{\theta} \lambda_1 - i\bar{\theta}^2 \theta \lambda^1 + \frac{1}{2} \theta^2 \bar{\theta}^2 D \quad (\text{II.3})$$

et

$$\Phi(y, \theta) = \phi(y) + \sqrt{2} \theta \lambda^2(y) + \theta^2 F(y). \quad (\text{II.4})$$

D et F sont des champs auxiliaires et D_α et $\bar{D}_{\dot{\alpha}}$ sont les dérivées spinorielles

$$D_\alpha = \partial_\alpha + i\sigma_{\alpha\beta}^\mu \bar{\theta}^{\dot{\beta}} \partial_\mu, \quad \bar{D}_{\dot{\alpha}} = -\partial_{\dot{\alpha}} - i\theta^\beta \sigma_{\beta\dot{\alpha}}^\mu \partial_\mu \quad (\text{II.5})$$

* Les conventions pour les spineurs, matrices σ , etc, sont celles de Wess et Bagger (1992). En particulier, la métrique de l'espace-temps est $\eta = (-1, 1, 1, 1)$.

et

$$y = x + i\theta\sigma\bar{\theta} \quad (\text{II.6})$$

de telle manière que Φ soit bien un superchamp chiral

$$\bar{D}_{\dot{\alpha}}\Phi = 0. \quad (\text{II.7})$$

A_{μ} est le champ de jauge, λ_1 et λ_2 sont deux spineurs de Majorana, et ϕ est un champ scalaire complexe qui n'est rien d'autre que le boson de Higgs du modèle. Tous ces champs se transforment dans la représentation adjointe du groupe de jauge G , et se développent sur une base (T^a) de l'algèbre de Lie \mathfrak{g} , $A_{\mu} = A_{\mu}^a T^a$ par exemple. Nous normaliserons toujours les générateurs T^a par la relation

$$\text{tr } T^a T^b = \frac{1}{2} \delta^{ab}. \quad (\text{II.8})$$

Quand le groupe de jauge est $SU(2)$, qui est le cas qui nous intéressera au premier chef par la suite, on a simplement

$$T^a = \frac{\sigma^a}{2} \quad (\text{II.9})$$

où les σ^a sont les matrices de Pauli. On peut écrire le lagrangien de la théorie de jauge pure sous la forme

$$L_1 = \frac{1}{4\pi} \mathfrak{S}m \tau \left[\text{tr} \int d^2\theta W^2 + 2 \text{tr} \int d^2\theta d^2\bar{\theta} \Phi^{\dagger} e^{2V} \Phi \right] \quad (\text{II.10})$$

où τ est la constante de couplage définie en (I.21). Pour voir que ce lagrangien a bien deux supersymétries, le plus simple est de l'écrire en termes des champs habituels en mettant en évidence la symétrie $SU(2)_R$ caractéristique de $N = 2$. Sous cette symétrie, les deux spineurs de Majorana forment un doublet, que nous noterons (λ^A) , $1 \leq A \leq 2$ (ou $(\bar{\lambda}_A) = (\lambda^{\dagger}_A)$). Après élimination des champs auxiliaires, le lagrangien peut alors se mettre sous la forme manifestement invariante suivante :

$$g^2 L_1 = \text{tr} \left[-\frac{1}{2} F_{\mu\nu} F^{\mu\nu} + \frac{\theta}{16\pi^2} F_{\mu\nu} \tilde{F}^{\mu\nu} - 2D_{\mu} \phi^{\dagger} D^{\mu} \phi - 2i\lambda^A \sigma^{\mu} D_{\mu} \bar{\lambda}_A + \right. \\ \left. 2\sqrt{2}i(\phi^{\dagger} \epsilon_{AB} \lambda^A \lambda^B + \phi \epsilon^{AB} \bar{\lambda}_A \bar{\lambda}_B) - \frac{1}{4} [\phi, \phi^{\dagger}]^2 \right]. \quad (\text{II.11})$$

Dans cette dernière expression, on a

$$F_{\mu\nu} = \partial_{\mu} A_{\nu} - \partial_{\nu} A_{\mu} + i[A_{\mu}, A_{\nu}], \quad (\text{II.12})$$

$$\tilde{F}^{\mu\nu} = \star F^{\mu\nu} = \frac{1}{2} \epsilon^{\mu\nu\rho\kappa} F_{\rho\kappa}, \quad (\text{II.13})$$

$$D_{\mu} = \partial_{\mu} + i[A_{\mu}, \]. \quad (\text{II.14})$$

En plus de la symétrie $SU(2)_R$, L_1 a une symétrie $U(1)_R$ supplémentaire qui correspond aux transformations

$$\lambda^A \longrightarrow e^{i\alpha} \lambda^A, \quad \phi \longrightarrow e^{2i\alpha} \phi. \quad (\text{II.15})$$

Remarquons que le potentiel scalaire de la théorie est donné par

$$V(\phi) = \frac{1}{4g^2} \text{tr} [\phi, \phi^\dagger]^2 \quad (\text{II.16})$$

et a donc des directions plates, au moins au niveau classique, qui correspondent à $[\phi, \phi^\dagger] = 0$. Lorsque

$$\langle \phi \rangle = \frac{1}{2} a \sigma^3, \quad (\text{II.17})$$

le groupe de jauge $SU(2)$ est brisé en $U(1)$ et deux bosons de jauge prennent une masse $M_W = \sqrt{2}|a|$ selon le mécanisme de Higgs alors que le troisième reste de masse nul et joue le rôle du photon dans la théorie.

Le couplage à des champs de quark s'effectue en ajoutant à L_1 des termes L_2 correspondant à des hypermultiplets de matière $N = 2$. Chacun de ces hypermultiplets contient deux superchamps chiraux $N = 1$, que nous noterons Q_f et \tilde{Q}_f , et qui se transforment dans des représentations complexes conjuguées du groupe de jauge. On développe Q_f et \tilde{Q}_f de la manière habituelle,

$$Q_f = q_f + \sqrt{2}\theta\psi_f + \theta^2 f_f, \quad \tilde{Q}_f = \tilde{q}_f + \sqrt{2}\theta\tilde{\psi}_f + \theta^2 \tilde{f}_f, \quad (\text{II.18})$$

où $(q_f, \tilde{q}_f^\dagger)$ est un doublet de champs scalaires complexes pour $SU(2)_R$, que nous noterons aussi (q_f^A) , et $(\psi_f, \tilde{\psi}_f^\dagger)$ forme un spineur de Dirac. Le lagrangien L_2 s'écrit

$$L_2 = \int d^2\theta d^2\bar{\theta} \left(Q_f^\dagger e^{2V} Q_f + \tilde{Q}_f^\dagger e^{2V} \tilde{Q}_f \right) - i\sqrt{2} \left[\int d^2\theta \tilde{Q}_f \left(\Phi - \frac{m_f}{\sqrt{2}} \right) Q_f - \text{c.c.} \right], \quad (\text{II.19})$$

où les m_f sont les masses nues des quarks. Les masses physiques des quarks, après brisure de la symétrie de jauge, sont de la forme $\sqrt{2}|a/2 \pm m_f/\sqrt{2}|$. On peut écrire L_2 sous une forme manifestement invariante sous $SU(2)_R$,

$$\begin{aligned} L_2 = & - D_\mu q_{fA}^\dagger D^\mu q_f^A - i\psi\sigma^\mu D_\mu\psi^\dagger - i\tilde{\psi}\sigma^\mu D_\mu\tilde{\psi}^\dagger \\ & + i\sqrt{2}(q_{fA}\lambda^A\psi_f - \psi_f^\dagger\bar{\lambda}_A q_f^A - \epsilon^{AB}q_{fA}\bar{\lambda}_B\tilde{\psi}_f^\dagger - \epsilon_{AB}\tilde{\psi}_f\lambda^A q_f^B) \\ & + i\sqrt{2}(\tilde{\psi}_f\phi\psi_f - \psi_f^\dagger\phi^\dagger\tilde{\psi}_f^\dagger) - i(m_f\tilde{\psi}_f\psi_f - m_f^*\psi_f^\dagger\tilde{\psi}_f^\dagger) - V_s(\phi, q). \end{aligned} \quad (\text{II.20})$$

$V_s(\phi, q)$ est le potentiel scalaire qui vient s'ajouter à (II.16) et qui prend la forme

$$\begin{aligned} V_s = & |m_f|^2 q_{fA}^A q_{fA} + \sqrt{2}(m_f q_{fA} \phi q_f^A + m_f^* q_{fA} \phi^\dagger q_f^A) + q_{fA} \{ \phi, \phi^\dagger \} q_f^A \\ & + \frac{1}{8} (q_{fA} T^a q_f^A)^2 - \frac{1}{4} \epsilon^{AB} \epsilon_{CD} (q_{fA} T^a q_f^C) (q_{f'B} T^a q_f^D). \end{aligned} \quad (\text{II.21})$$

Le lagrangien L_2 est invariant sous une symétrie baryonique $U(1)^{N_f}$, où N_f est le nombre de saveurs, et qui correspond aux transformations

$$Q_f \rightarrow e^{i\alpha} Q_f, \quad \tilde{Q}_f \rightarrow e^{-i\alpha} \tilde{Q}_f. \quad (\text{II.22})$$

À cette symétrie, on associe des charges abéliennes S_f qui joueront un rôle particulièrement important dans la suite car elles apparaissent dans la charge centrale de l'algèbre de supersymétrie. De plus, on a une symétrie de saveur manifeste supplémentaire lorsque certaines masses m_f coïncident. Ainsi, pour N_f saveurs de masses égales, la symétrie de saveur associée est $SU(N_f)$. Les cas qui vont nous intéresser dans ce mémoire correspondront soit à un quark dans la représentation adjointe de $SU(2)$, soit à des quarks dans la représentation fondamentale de $SU(2)$ (avec $1 \leq N_f \leq 4$). C'est pour ce contenu en champ que l'on peut obtenir des théories asymptotiquement libres ou invariantes conformes. Lorsque le groupe de jauge est $SU(2)$, et lorsque certaines des masses nues sont nulles, la symétrie de saveur est élargie. Cette particularité vient du fait que la représentation fondamentale de $SU(2)$ est pseudo-réelle. Ainsi, au lieu d'utiliser les champs \tilde{Q}_{fj} (j est ici un indice de jauge, $1 \leq j \leq 2$) comme nous l'avons fait jusqu'à présent, on peut plutôt utiliser $\tilde{Q}_f^j = \epsilon^{jk} \tilde{Q}_{fk}$, qui se transformera strictement comme Q_f . Le lagrangien L_2 se réécrit alors immédiatement sous une forme manifestement invariante sous $O(2N_f)$, si N_f masses sont nulles. Dans le cas où toutes les masses sont nulles, on récupère aussi la symétrie chirale $U(1)_R$ à condition de suppléer les transformations (II.15) par

$$\psi_f \rightarrow e^{-i\alpha} \psi_f, \quad \tilde{\psi}_f \rightarrow e^{-i\alpha} \tilde{\psi}_f. \quad (\text{II.23})$$

Notons enfin que lorsque deux masses nues ou plus coïncident, il existe dans la théorie, en plus de la branche de Coulomb le long de laquelle le groupe de jauge est brisé en $U(1)$ par $\langle \phi \rangle \neq 0$ (voir II.17), une branche de Higgs où la symétrie de jauge est complètement brisée par $\langle q_f \rangle \neq 0$ et $\langle \tilde{q}_f \rangle \neq 0$. Nous n'étudierons pas plus avant ces branches de Higgs, principalement en raison du fait que la théorie ne subit pas de corrections quantiques dans ces régimes (voir par exemple Antoniadis et Pioline 1996).

Le cas où on a une saveur de quark de masse m dans la représentation adjointe correspond à la théorie avec quatre supersymétries lorsque $m = 0$. Cette théorie est en fait unique, dans le sens où le seul paramètre libre correspond à la constante de couplage τ . Il est intéressant d'écrire son lagrangien sous une forme manifestement invariante sous $SU(4)_R$. L'existence d'une telle symétrie est le signal de la supersymétrie $N = 4$. Pour ce faire, on introduit un tenseur antisymétrique S^{AB} dans la représentation adjointe du groupe de jauge, qui s'exprime en fonction

des champs scalaires $\phi = \phi_1$, $q = \phi_2$ et $\tilde{q} = \phi_3$ selon

$$S = \begin{pmatrix} 0 & -\phi_1 & -\phi_2 & -\phi_3 \\ \phi_1 & 0 & -\phi_3^\dagger & \phi_2^\dagger \\ \phi_2 & \phi_3^\dagger & 0 & -\phi_1^\dagger \\ \phi_3 & -\phi_2^\dagger & \phi_1^\dagger & 0 \end{pmatrix}. \quad (\text{II.24})$$

S se transforme dans la représentation **6** de $SU(4)$ (qui n'est rien d'autre que la représentation fondamentale de $SO(6)$). En notant $S_{AB} = (S^{AB})^*$, le lagrangien s'écrit

$$L_{N=4} = \frac{1}{g^2} \text{tr} \left[-\frac{1}{2} F_{\mu\nu} F^{\mu\nu} + \frac{\theta}{16\pi^2} F_{\mu\nu} \tilde{F}^{\mu\nu} - 2i\lambda^A \sigma^\mu D_\mu \bar{\lambda}_A - 2D_\mu S_{AB} D^\mu S^{AB} \right. \\ \left. + i\sqrt{2}([S_{AB}, \lambda^B]\lambda^A - \bar{\lambda}_A[\bar{\lambda}_B, S^{AB}]) + \frac{1}{4}[S^{AB}, S^{CD}][S_{AB}, S_{CD}] \right]. \quad (\text{II.25})$$

On pourrait écrire aisément le lagrangien correspondant lorsque la masse nue de l'hypermultiplet est non-nulle. Signalons simplement que dans ce cas, la théorie a alors une unique branche de Coulomb. Le long de cette branche, la masse physique des bosons W est $\sqrt{2}|a|$, celle des hypermultiplets chargés électriquement est $\sqrt{2}|a \pm m/\sqrt{2}|$ et celle de l'hypermultiplet neutre est $|m|$.

▷ *Lagrangiens généraux, géométrie spéciale et dualité*

À basse énergie, on peut donner une description effective des théories dont nous avons présenté le lagrangien microscopique ci-dessus. Les états massifs se découplent et la théorie effective est une théorie de jauge abélienne $N = 2$ qui ne contient comme champs élémentaires que le multiplet du photon (W, A) , où W et A sont des superchamps $N = 1$ qui correspondent à la composante selon σ^3 des superchamps W et Φ de la sous-section précédente. Ce multiplet du photon est soumis à des interactions extrêmement complexes, qui résultent de l'effet indirect des particules massives sur lesquelles on a intégrées. Les seules contraintes sur le lagrangien effectif proviennent de la supersymétrie $N = 2$ et de l'invariance de jauge. En particulier, L_{eff} est non-renormalisable, et contient des termes avec des dérivées d'ordre quelconque. Nous nous limiterons dans la suite aux termes contenant au plus des dérivées secondes. Ceci est loin de rendre le problème simple. Par exemple, pour pouvoir calculer ces termes, il faut savoir calculer la fonction de corrélation à quatre fermions $\langle \lambda_1^2 \lambda_2^2 \rangle$, qui reçoit des corrections non-perturbatives de type instanton très difficiles à obtenir a priori comme nous le verrons plus loin. Ceci ne rend pas le problème moins intéressant non plus. En effet, la connaissance de cette partie du lagrangien effectif est suffisante pour obtenir *de manière exacte* la charge centrale de l'algèbre de

supersymétrie, et donc la masse de tous les états BPS en utilisant la formule (I.17). C'est cet aspect qui a joué un rôle crucial dans mes travaux de recherche.

Indépendamment de l'étude de la dynamique quantique de la théorie, l'étude approfondie de la structure géométrique de la supersymétrie $N = 2$ a permis de comprendre quelle pouvait être la structure la plus générale d'un lagrangien du type de L_{eff} (dorénavant, on notera L_{eff} la partie du lagrangien effectif ne contenant que des dérivées d'ordre inférieur ou égal à deux) (B. de Wit et al. 1984ab, Strominger 1990). On a

$$L_{\text{eff}} = \frac{1}{8\pi} \left[\Im m \left(\int d^2\theta \tau_{\text{eff}}(A) W^2 \right) + 2 \int d^2\theta d^2\bar{\theta} K(A, \bar{A}) \right], \quad (\text{II.26})$$

où $\tau_{\text{eff}}(A)$ est une fonction holomorphe de A (c'est-à-dire qu'elle ne dépend pas de \bar{A}) et K une fonction à valeurs réelles. Lorsque l'on développe (II.26) en écrivant $A = a + \mathcal{A}$, a étant comme toujours la valeur moyenne du Higgs et \mathcal{A} un multiplet chiral tel que $\langle \mathcal{A} \rangle = 0$, on obtient immédiatement les préfacteurs des termes cinétiques du champ de jauge contenu dans W et du champ scalaire contenu dans \mathcal{A} . Ceux-ci sont respectivement proportionnels à $\Im m \tau_{\text{eff}}(a)$ et à $G_{a\bar{a}} = \partial_a \partial_{\bar{a}} K(a, \bar{a})$. La métrique de Kähler $G_{a\bar{a}}$, qui dérive du potentiel de Kähler K , est définie sur l'espace des paramètres de la théorie, que nous appellerons aussi espace des modules \mathcal{M} , et qui est ici une variété complexe de dimension un paramétrisée par a . Remarquons que si la théorie de jauge microscopique était basée sur un groupe de jauge de rang r , l'action effective serait constituée par r multiplets (W_j, A_j) et l'espace des modules serait de dimension complexe r . Nous nous limitons ici à $r = 1$, mais la discussion peut sans peine se généraliser. Deux conditions nécessaires de cohérence, assurant la positivité des termes cinétiques et donc l'unitarité de la théorie à basse énergie, sont que

$$\Im m \tau_{\text{eff}}(a) \geq 0 \quad \text{et} \quad (\text{II.27})$$

$$\partial_a \partial_{\bar{a}} K(a, \bar{a}) \geq 0. \quad (\text{II.28})$$

Nous verrons au chapitre III que de telles contraintes ont des implications physiques très importantes.

Lorsque le nombre de supersymétries est deux, le champ scalaire et le champ de jauge sont dans le même supermultiplet, et on peut s'attendre à ce qu'il existe une relation entre τ_{eff} et K . C'est effectivement ce qu'il se produit. Il existe alors une

fonction *holomorphe* $\mathcal{F}(a)$ de la variable a ,* appelée prépotentiel, telle que

$$\tau_{\text{eff}}(a) = \frac{\partial^2 \mathcal{F}}{\partial a^2} = \frac{\theta_{\text{eff}}(a)}{2\pi} + i \frac{4\pi}{g^2(a)} \quad (\text{II.29})$$

$$K(a, \bar{a}) = \Im m \left(\bar{a} \frac{\partial \mathcal{F}}{\partial a} \right). \quad (\text{II.30})$$

Cette structure géométrique particulière s'appelle géométrie Kähler spéciale.** Les deux conditions (II.27) et (II.28) ne font alors plus qu'une,

$$\Im m \frac{\partial^2 \mathcal{F}}{\partial a^2} \geq 0. \quad (\text{II.31})$$

L'action effective $N = 2$ s'écrit finalement

$$L_{\text{eff}} = \frac{1}{8\pi} \Im m \left[\int d^2\theta \frac{\partial^2 \mathcal{F}}{\partial A^2} W^2 + 2 \int d^2\theta d^2\bar{\theta} \bar{A} \frac{\partial \mathcal{F}}{\partial A} \right]. \quad (\text{II.32})$$

On retrouve le cas particulier d'un lagrangien renormalisable, qui correspond aussi à l'action effective à l'ordre des arbres, pour

$$\mathcal{F} = \mathcal{F}_0 = \frac{1}{2} \tau A^2, \quad (\text{II.33})$$

τ étant donnée par (I.21).

La propriété essentielle de la géométrie spéciale est son invariance sous des transformations du groupe symplectique $\text{Sp}(2r, \mathbb{R})$, c'est-à-dire pour nous sous $\text{Sp}(2, \mathbb{R}) = \text{SL}(2, \mathbb{R})$. Pour voir ceci, il suffit d'introduire la variable "duale"

$$a_D(a) = \frac{\partial \mathcal{F}}{\partial a}, \quad (\text{II.34})$$

ce qui permet d'exprimer le potentiel de Kähler sous la forme

$$K = \Im m \bar{a} a_D = \frac{1}{2i} (\bar{a} a_D - a \bar{a}_D) = \frac{1}{2i} \Omega \cdot \bar{\Omega}, \quad (\text{II.35})$$

où \cdot dénote le produit symplectique standard et Ω est le vecteur colonne ("section" sur \mathcal{M})

$$\Omega = \begin{pmatrix} a_D \\ a \end{pmatrix}. \quad (\text{II.36})$$

* \mathcal{F} dépend aussi des autres paramètres de la théorie, comme l'échelle de masse Λ ou les masses nues des hypermultiplets.

** Pour un exposé détaillé, voir par exemple Craps et al. (1997).

La métrique est donc invariante sous les transformations

$$\begin{pmatrix} a_D \\ a \end{pmatrix} \longrightarrow M \begin{pmatrix} a_D \\ a \end{pmatrix}, \quad M = \begin{pmatrix} a & b \\ c & d \end{pmatrix}, \quad (\text{II.37})$$

où M est une matrice réelle telle que $ad - bc = 1$. La constante de couplage effective se transforme quant à elle de la manière suivante,

$$\tau_{\text{eff}} = \frac{\partial a_D}{\partial a} \longrightarrow \frac{a\tau_{\text{eff}} + b}{c\tau_{\text{eff}} + d}. \quad (\text{II.38})$$

Ces transformations sont strictement analogues aux transformations de dualité (I.22) et (I.23), et il est extrêmement tentant de penser qu'elles correspondent bien à des rotations électrique/magnétiques. Nous verrons au chapitre III un argument général utilisant l'intégrale fonctionnelle qui permet de montrer ceci. Au niveau quantique, $\text{SL}(2, \mathbb{R})$ sera alors réduit à $\text{SL}(2, \mathbb{Z})$, comme expliqué en I.4.

▷ *La charge centrale à partir de L_{eff}*

Admettons pour l'instant que les transformations de dualité et les transformations symplectiques sur L_{eff} coïncident. La masse d'un dyon (n_e, n_m) quelconque peut alors se déduire de la masse $\sqrt{2}|a|$ du boson W^+ $(1, 0)$ en effectuant une transformation symplectique (II.37). On obtient

$$M_{(n_e, n_m)} = \sqrt{2}|a_D n_m - a n_e| \quad (\text{II.39})$$

ce qui montre d'après (I.17) que

$$Z = a_D n_m - a n_e, \quad (\text{II.40})$$

eventuellement à une phase $e^{i\varphi}$ près. À l'ordre des arbres, $a_D = \tau a$ selon (II.33) et (II.40) est en parfait accord avec (I.19) ou (I.20), ce qui montre que $\varphi = 0$. Lorsque la masse nue m_f des quarks est non-nulle, on a vu que leur masse physique était $M_{\text{quark}} = \sqrt{2}|a/2 \pm m_f/\sqrt{2}|$ alors que leur charge électrique est $n_e = 1/2$. Ceci montre, et on peut le vérifier explicitement, que dans ces cas les charges baryoniques S_f correspondant aux transformations (II.22) interviennent aussi dans la charge centrale Z comme dans la formule (I.24). On peut alors se demander comment généraliser (II.40). En appliquant la même idée que dans le cas où $m_f = 0$, on peut effectuer une transformation de dualité sur la formule

$$Z_{\text{quark}} = -\frac{a}{2} + \frac{1}{\sqrt{2}} \sum_{f=1}^{N_f} m_f S_f, \quad (\text{II.41})$$

qui est correcte pour les quarks. Si on suppose que les charges S_f ne participent pas aux transformations de dualité, on obtient alors à la suite de Seiberg et Witten (1994b)

$$Z = a_D n_m - a n_e + \frac{1}{\sqrt{2}} \sum_{f=1}^{N_f} m_f S_f. \quad (\text{II.42})$$

Cependant, comme je le montrerai dans la section 3 de ce chapitre (voir aussi Ferrari (1997a)), cette formule est erronée. Dans une transformation de dualité, la charge S_f se mélange intimement avec la charge électrique et la charge magnétique, et en particulier contribue à la variable a_D semi-classiquement. La formule correcte est

$$Z = a_D n_m - a n_e + \frac{1}{\sqrt{2}} \sum_{f=1}^{N_f} m_f s_f, \quad (\text{II.43})$$

où les s_f sont des constantes qui ne sont pas directement reliées aux charges S_f mais que l'on peut calculer à l'aide d'arguments de cohérence (voir Ferrari (1997a, 1997b)).

▷ *Trois méthodes pour calculer L_{eff}*

L'analyse ci-dessus suggère trois angles d'attaque pour calculer L_{eff} , c'est-à-dire le prépotentiel \mathcal{F} .

- Premièrement, (II.32) relie \mathcal{F} à diverses fonctions de corrélation que l'on peut calculer directement en théorie des perturbations et par un calcul d'instanton. Ainsi, la constante de couplage de jauge est directement reliée à $\partial_a^2 \mathcal{F}$ et la fonction de corrélation à quatre fermions $\langle \lambda_1^2 \lambda_2^2 \rangle$ est proportionnelle à $\partial_a^4 \mathcal{F}$. Le calcul d'instanton est discuté dans la prochaine section.
- Deuxièmement, (I.24) et (II.43) relient a et a_D à des charges abéliennes que l'on peut calculer en principe à partir des méthodes générales de fractionnement de charge. Cette approche sera présentée dans la section 3 de ce chapitre.
- Troisièmement, on peut essayer d'utiliser le fait que \mathcal{F} est une fonction holomorphe soumise à la contrainte (II.31) plus à d'autres contraintes sur ses asymptotes qui proviennent d'une analyse physique fine. Cette approche est celle de Seiberg et Witten et sera expliquée au chapitre III.

Les liens intimes entre ces trois approches sont à l'origine de l'extrême richesse de la physique et des mathématiques associées aux théories de jauge $N = 2$.

2. Étude des corrections quantiques

▷ *Dégénérescence du vide*

L'équation (II.16) montre que la valeur moyenne du Higgs n'est pas déterminée au niveau classique dans les théories que nous étudions. On peut se demander si cette dégénérescence peut être levée au niveau quantique. Nous allons montrer qu'il n'en est rien. En effet, la forme la plus générale de l'action effective *microscopique* (valable à toutes les énergies) est de la forme

$$\Gamma_{\text{1PI}} = \frac{1}{4\pi} \Im m \int d^4x \operatorname{tr} \left[\int d^2\theta \frac{\partial^2 \mathcal{G}}{\partial \Phi^a \partial \Phi^b} W^a W^b + 2 \int d^2\theta d^2\bar{\theta} \frac{\partial \mathcal{G}}{\partial \phi^a} (e^{2V})^{ab} \Phi_b^\dagger \right], \quad (\text{II.44})$$

plus des termes pour les champs de quarks. Dans cette formule, qui est une généralisation évidente de (II.32) au cas non-abélien, \mathcal{G} est une fonction holomorphe invariante de jauge a priori quelconque et les indices a et b sont des indices de jauge. On peut alors montrer facilement à partir de (II.44) que le potentiel scalaire quantique est toujours proportionnel à $[\phi, \phi^\dagger]^2$ (en prenant les valeurs moyennes des éventuels champs de quarks nulles), et que donc les directions plates du potentiel ne sont pas levées. Au niveau quantique, et de manière exacte, l'espace des vides de la théorie est donc une variété complexe de dimension un, paramétrisée par la quantité invariante de jauge

$$u = \langle \operatorname{tr} \phi^2 \rangle. \quad (\text{II.45})$$

Une manière plus traditionnelle de montrer que la supersymétrie n'est pas brisée est de calculer l'indice de Witten $\operatorname{tr} (-1)^F$ de la théorie. Pour ce faire, il est nécessaire de briser $N = 2$ en donnant une masse M à tous les multiplets $N = 1$ dans les lagrangiens (II.10) et (II.19), à l'exception du multiplet vectoriel W afin de ne pas briser l'invariance de jauge. Le calcul donne alors (Witten 1982)

$$\operatorname{tr} (-1)^F = 2 \quad (\text{II.46})$$

quand le groupe de jauge est $SU(2)$. Ceci assure que l'énergie du vide de la théorie, c'est-à-dire la valeur minimale du potentiel scalaire en tenant compte des corrections quantiques, est zéro quand $M \neq 0$, et qu'il y a au moins deux états fondamentaux dans la théorie. Cependant, quand $M \rightarrow 0$, il se pourrait que ces états d'énergie zéro "fuient à l'infini" et que le potentiel scalaire n'ait pas de minimum. Cette possibilité est exclue par l'analyse basée sur l'équation (II.44). Quand $M = 0$, on a en fait une infinité de vides dans la théorie. Dans le cadre de la théorie de jauge pure, nous verrons au chapitre III qu'il est possible d'identifier parmi cette infinité d'états les

deux qui correspondent aux états fondamentaux de la théorie $M \neq 0$. Nous verrons que cette identification est à la base de la preuve par Seiberg et Witten (1994) du confinement des charges électriques dans cette théorie quand $M \neq 0$.

▷ *Théorèmes généraux de non-renormalisation*

Il est bien connu, depuis les années 30, que les contributions des boucles de bosons et des boucles de fermions ont un signe opposé. Dans le contexte de la supersymétrie, on peut espérer des compensations exactes entre les deux types de contributions. C'est effectivement ce qu'il se produit. Le résultat général est le suivant (Grisaru et al. 1979, Grisaru et Siegel 1982) : les termes de l'action microscopique qui ne peuvent pas s'écrire comme des intégrales sur le superespace $(\theta, \bar{\theta})$ tout entier ne sont pas renormalisés. De plus, l'opérateur e^{2V} n'est pas non plus renormalisé dans les termes cinétiques pour les superchamps chiraux. Génériquement, le théorème implique que les termes de masse et le superpotentiel ne sont pas renormalisés, alors que les termes cinétiques peuvent l'être. Remarquons en particulier que le terme cinétique de jauge

$$\int d^2\theta \operatorname{tr} W^2 + \text{c.c.} \propto \int d^2\theta d^2\bar{\theta} \operatorname{tr} (e^{-2V} D^\alpha e^{2V}) \bar{D}^2 (e^{-2V} D_\alpha e^{2V}) \quad (\text{II.47})$$

est bien renormalisé en général.

Dans le cadre des théories avec deux supersymétries, le théorème de non-renormalisation a des implications drastiques. Pour comprendre cela, introduisons les constantes de renormalisation les plus générales autorisées par la supersymétrie $N = 2$. On a une constante de renormalisation Z_g pour la constante de couplage, une constante Z_W pour le multiplet vectoriel (W, Φ) et deux constantes Z_f et Z_{m_f} pour chaque hypermultiplet de quarks massifs :

$$\begin{aligned} W &= W_r \sqrt{Z_W}, & \Phi &= \Phi_r \sqrt{Z_W}, & g &= g_r Z_g, \\ Q_f &= Q_{fr} \sqrt{Z_f}, & \tilde{Q}_f &= \tilde{Q}_{fr} \sqrt{Z_f}, & m_f &= m_{fr} Z_{m_f}. \end{aligned} \quad (\text{II.48})$$

Le couplage des quarks au champ de jauge n'est compatible avec la supersymétrie $N = 2$, et avec l'invariance $\text{SU}(2)_R$ en particulier, que si

$$Z_f = Z_f \sqrt{Z_W}. \quad (\text{II.49})$$

Le théorème de non renormalisation implique de plus que

$$Z_f \sqrt{Z_W} = 1, \quad Z_{m_f} Z_f = 1, \quad (\text{II.50})$$

et donc finalement

$$Z_W = Z_f = Z_{m_f} = 1. \quad (\text{II.51})$$

La conclusion très importante est la suivante : *seule la constante de couplage est renormalisée*. En particulier, les masses nues des quarks sont de véritables constantes qui paramétrisent la théorie. L'argument très simple précédent n'est pas exempt de subtilités. Il nécessite en particulier de travailler dans un formalisme manifestement invariant sous $N = 2$. Pour les détails, voir l'article par Howe et al. (1983).

▷ *Caractère fini de la théorie à une boucle*

Nous n'en avons pas encore fini avec les théorèmes de non-renormalisation de la théorie des perturbations. Nous avons en effet déjà signalé en I.4 que les courants associés aux dilatations et à l'anomalie chirale étaient dans le même multiplet ($N = 1$), et que donc on pouvait s'attendre en vertu du théorème d'Adler et Bardeen à ce que le calcul de la fonction β s'arrête à une boucle. Comme on a vu qu'il n'y a pas d'autre renormalisation à effectuer, ceci impliquerait la finitude de la théorie au-delà d'une boucle. Cet argument est faux dans le cadre des théories $N = 1$: le courant *renormalisé* qui satisfait au théorème d'Adler et Bardeen n'est pas dans ce cas dans le même multiplet que le courant des dilatations (Grisaru et West 1985). Ceci vient simplement du fait que le schéma de renormalisation qui mène au théorème brise la supersymétrie $N = 1$ manifeste. Par contre, nous allons montrer qu'il est correct quand $N = 2$, en utilisant un argument très simple dû à Seiberg (1988).

Cherchons à déterminer *perturbativement* la fonction \mathcal{F} qui régit l'action effective à basse énergie (II.32) de nos théories. Pour cela, plaçons nous dans le cas où la masse nue des éventuels quarks est nulle. Bien sûr, ceci ne peut affecter la renormalisation de g . La théorie a alors l'invariance $U(1)_R$ chirale (II.15). Cette symétrie est anormale, et le courant j^μ associé vérifie la relation standard

$$\partial_\mu j^\mu = \frac{4 - N_f}{8\pi^2} \text{tr} F_{\mu\nu} \tilde{F}^{\mu\nu} \quad (\text{II.52})$$

à tous les ordres de la théorie des perturbations. En particulier, une petite variation dans L_{eff} correspondant à la symétrie (II.15),

$$\delta A = 2iA\delta\alpha, \quad \delta W = 2iW\delta\alpha, \quad \delta\theta = i\theta\delta\alpha, \quad (\text{II.53})$$

doit s'accompagner d'une variation

$$\delta L_{\text{eff}}^{\text{pert}} = \frac{4 - N_f}{16\pi^2} F_{\mu\nu} \tilde{F}^{\mu\nu} \delta\alpha \quad (\text{II.54})$$

de la partie perturbative de L_{eff} .* Il est alors très élémentaire de constater que le

* Bien sûr, les contributions d'instantons violent $U(1)_R$ et le raisonnement ci-dessus n'est pas valable pour l'action effective exacte.

seul prépotentiel \mathcal{F} compatible avec (II.54) est de la forme

$$\mathcal{F}^{\text{pert}}(A) = i \frac{4 - N_f}{8\pi} A^2 \log \frac{A^2}{\Lambda_{N_f}^2}. \quad (\text{II.55})$$

L'apparition de l'échelle d'énergie Λ_{N_f} caractéristique de la théorie est habituelle dans les théories asymptotiquement libres. La constante de couplage renormalisée $g(a)$ peut alors être obtenue directement à partir de (II.29), ce qui donne pour la fonction β perturbative

$$\beta^{\text{pert}}(g) = -\frac{4 - N_f}{16\pi^2} g^3. \quad (\text{II.56})$$

Ceci est bien sûr en parfait accord avec le calcul traditionnel à une boucle, et on voit qu'aucune correction d'ordre supérieur n'est autorisée. Le coefficient devant g^3 est directement relié au coefficient dans (II.52), ce qui démontre bien la relation entre anomalie chirale et anomalie conforme.

On peut se demander pourquoi l'argument précédent ne s'applique pas aussi dans le cas $N = 1$. En effet, nous avons apparemment seulement utilisé le fait que la fonction de A devant le terme W^2 dans l'action effective était holomorphe, ce qui est également vrai dans le cas $N = 1$ d'après (II.26). En fait, nous avons fait l'hypothèse implicite supplémentaire que le champ A qui apparaît dans L_{eff} se transforme de manière simple sous $U(1)_R$, c'est-à-dire comme le champ ϕ du lagrangien microscopique (comparer δA (II.53) et $\delta\phi$ dans (II.15)). Ceci n'est pas vrai dans le cas $N = 1$; c'est en fait une certaine combinaison $\tilde{A} = h(A)$ du champ A qui aura une loi de transformation simple. Si h est holomorphe, ce changement de variable est parfaitement autorisé par la supersymétrie $N = 1$. Par contre, quand $N = 2$, toute transformation de A doit s'accompagner d'une transformation de W , *et ceci est alors incompatible avec l'invariance de jauge*. Donc $h_{N=2}(A) = A$ et on voit que l'argument qui a mené à (II.56) est correct.

▷ *Forme générale de la série d'instantons*

Nous allons examiner à présent la forme des éventuelles corrections d'instantons à \mathcal{F} . Pour plus de simplicité, nous nous limitons ici au cas où la masse nue des quarks est nulle. Nous verrons dans la prochaine section, et brièvement à la fin du chapitre III, comment \mathcal{F} est modifiée quand $m_f \neq 0$.

Le calcul d'instanton a des propriétés remarquables dans le cadre des théories supersymétriques, et il peut être utilisé pour obtenir des informations quantitatives contrairement à ce qu'il se passe en QCD non-supersymétrique (Affleck et al. 1984 et 1985). Bien que lorsque la valeur moyenne du Higgs a est non-nulle, les instantons ne soient plus des solutions exactes des équations du mouvement, ils

peuvent quand même être utilisés (“instantons contraints”) et aucun problème lié aux divergences infrarouges dont nous avons déjà parlé en I.1 n’apparaît car a joue le rôle d’une coupure naturelle à grande distance. D’autre part, alors qu’il est en général techniquement difficile, voire impossible pour des configurations à deux instantons ou plus, de calculer le déterminant des fluctuations autour de l’instanton (’t Hooft 1976b), dans le cas supersymétrique les déterminants bosoniques et fermioniques se compensent exactement pour les modes massifs (d’Adda et di Vecchia 1978), et il suffit d’effectuer une intégration sur les modes zéros (coordonnées collectives), qui sont en nombre fini, pour obtenir un résultat quantitatif. Cette propriété n’est en fait qu’un cas particulier d’un théorème de non-renormalisation plus général, valable pour $N = 2$, selon lequel les corrections perturbatives à tous les ordres autour de l’instanton s’annulent (Seiberg 1988). Ce théorème est une conséquence directe du groupe de renormalisation et de l’anomalie chirale. En effet, une contribution à n instantons au prépotentiel $\mathcal{F}(a)$ est de la forme

$$\mathcal{F}_n^{N_f} a^2 \left(\frac{\Lambda_{N_f}}{a} \right)^{n(4-N_f)} \quad (\text{II.57})$$

d’après (I.3) et (II.56) (la théorie effective est définie à l’échelle naturelle $\mu = |a|$). Des corrections de boucles autour de l’instanton donneraient au coefficient $\mathcal{F}_n^{N_f}$ une dépendance en a , avec des termes logarithmiques en $(\log(a^2/\Lambda^2))^p$. Ceci serait en contradiction avec l’équation (II.52) qui montre qu’au moins un sous groupe $\mathbb{Z}_{2(4-N_f)}$ de la symétrie chirale $U(1)_R$ doit rester une symétrie exacte au niveau quantique, puisque

$$\frac{1}{16\pi^2} \int d^4x \operatorname{tr} F_{\mu\nu} \tilde{F}^{\mu\nu} \in \mathbb{Z} \quad (\text{II.58})$$

et qu’une variation de l’action microscopique par un multiple entier de 2π n’a pas de signification au niveau quantique. Par contre, lorsque $\mathcal{F}_n^{N_f}$ est une constante indépendante de a , le terme $\mathcal{F}_n^{N_f} (\Lambda/a)^{n(4-N_f)}$ respecte parfaitement la symétrie $\mathbb{Z}_{2(4-N_f)}$ puisque a est de charge 2 d’après (II.15).

De la discussion précédente, qui a montré le lien profond entre la fonction β , l’anomalie chirale et l’action classique de l’instanton, nous pouvons déduire la forme générale pour \mathcal{F} :

$$\mathcal{F}(a) = i \frac{4 - N_f}{8\pi} a^2 \log \frac{a^2}{\Lambda_{N_f}^2} + a^2 \sum_{n=1}^{\infty} \mathcal{F}_n^{N_f} \left(\frac{\Lambda_{N_f}}{a} \right)^{n(4-N_f)}. \quad (\text{II.59})$$

De plus, lorsque $N_f > 0$, seules les contributions avec un nombre pair d’instantons sont non-nulles :

$$\mathcal{F}_{2n+1}^{N_f \geq 1} = 0. \quad (\text{II.60})$$

Ceci vient du fait que la théorie a une symétrie de saveur $O(2N_f)$ au niveau classique. La parité (transformation de déterminant -1) de $O(2N_f)$ est, comme $U(1)_R$, anormale au niveau quantique. Cependant, en composant ces deux transformations, on étend la symétrie chirale quantique $\mathbb{Z}_{2(4-N_f)}$ en $\mathbb{Z}_{4(4-N_f)}$, ce qui interdit des contributions ayant un nombre impair d'instantons.

Remarquons pour conclure cette section qu'un certain nombre de points restent en suspens à ce stade. Au delà du calcul explicite des coefficients $\mathcal{F}_n^{N_f}$, on ne sait absolument pas si la série (II.59) converge.* De plus, il n'est pas exclu que, indépendamment des instantons, d'autres effets non-perturbatifs de nature inconnue puissent contribuer à \mathcal{F} . Toutes ces questions ont trouvé une réponse dans les travaux de Seiberg et Witten (1994) comme nous le verrons au chapitre III.

3. Fractionnement de charge et supersymétrie étendue

Je discute ci-dessous certains aspects du phénomène de fractionnement de charge. L'accent est mis avant tout sur des aspects mathématiques inédits de la supersymétrie $N = 2$. Les aspects physiques sont discutés en détails dans Ferrari (1997a).

▷ *Le phénomène de fractionnement de charge*

On peut calculer directement la charge centrale Z à partir des équations (II.55), (II.40) et (II.34) lorsque $m_f = 0$. On tire alors les charges électrique Q_e et magnétique Q_m de la formule (I.19). En notant

$$a = |a|e^{-i\theta_a/(4-N_f)}, \quad \Lambda = |\Lambda|e^{i\theta/(4-N_f)}, \quad (\text{II.61})$$

on obtient

$$Q_e = g \left(-n_e + \frac{\theta + \theta_a}{2\pi} n_m \right), \quad (\text{II.62})$$

$$Q_m = gn_m \frac{4 - N_f}{2\pi} \log \left| \frac{a}{\Lambda} \right|. \quad (\text{II.63})$$

La formule pour Q_m est bien en accord avec la relation de quantification de Dirac (I.9), puisque d'après (II.56)

$$\frac{1}{g^2(a)} = \frac{4 - N_f}{8\pi^2} \log \left| \frac{a}{\Lambda} \right|. \quad (\text{II.64})$$

* Le calcul direct des coefficients dans le cadre du calcul d'instanton est possible jusqu'aux contributions à deux instantons, voir par exemple Finnell et Pouliot (1995), Dorey et al. (1996) ou Ito et Sasakura (1996).

Quant à la formule pour Q_e , elle est en parfait accord avec la formule de Witten dont nous avons déjà parlé en I.4. θ est l'angle θ nu de la théorie. Le fait que la combinaison $\theta + \theta_a$ apparaisse dans (II.62) n'est pas étonnant, puisque l'on peut rendre a réel en effectuant une transformation chirale (II.15) qui a pour effet de changer θ en $\theta + \theta_a$.

Q_e n'est pas un multiple entier de $g_0 = g/2$, qui est le quantum de charge élémentaire de la théorie (si $N_f = 0$, $g_0 = g$), car l'invariance CP est brisée, à la fois par l'angle θ nu ($F\tilde{F} \xrightarrow{\text{CP}} -F\tilde{F}$) et par $\langle \Im m \phi \rangle \neq 0$ ($\phi \xrightarrow{\text{CP}} \phi^\dagger$). Ceci peut se comprendre facilement en utilisant la relation de quantification de Dirac généralisée au cas des particules chargées à la fois électriquement et magnétiquement (Schwinger 1966 et 1968, Zwanziger 1968) et le fait que Q_e est impaire alors que Q_m est paire sous CP :

$$Q_e \xrightarrow{\text{CP}} -Q_e, \quad Q_m \xrightarrow{\text{CP}} Q_m, \quad (\text{II.65})$$

L'argument est détaillé dans l'article de Witten (1979). D'une manière tout à fait analogue, c'est la brisure de CP qui est responsable de termes correctifs non-triviaux dans les charges baryoniques S_f , qui sont, comme la charge électrique, impaires sous CP. Ceci sera expliqué en détails dans Ferrari (1997a).

Ces charges baryoniques jouent un rôle essentiel lorsque les masses nues des quarks sont non-nulles, car elles interviennent alors dans la charge centrale de l'algèbre de supersymétrie d'après (I.24). On a de plus dans ce cas une nouvelle source de brisure de l'invariance CP, $\Im m_f m \neq 0$, puisque $q_f \xrightarrow{\text{CP}} -q_f^\dagger$ et $\tilde{q}_f \xrightarrow{\text{CP}} -\tilde{q}_f^\dagger$. Lorsque $\Im m(a/m_f) \neq 0$, il n'est pas possible de transférer toute la brisure de CP dans l'angle θ nu en effectuant une transformation de $U(1)_R$, et on peut donc s'attendre aussi à de nouveaux termes dans la charge électrique Q_e .

Nous allons voir ci-dessous que les termes correctifs dans S_f sont directement reliés à l'asymétrie spectrale, ou invariant η , de certains opérateurs de Dirac. Nous présenterons ensuite un calcul inédit et très simple de l'invariant η , en utilisant en particulier les propriétés d'holomorphie de $Z(a)$. Un aspect remarquable de ce calcul est qu'il utilise la supersymétrie $N = 2$ comme un outil auxiliaire, les opérateurs de Dirac étudiés étant généraux et sans lien avec la supersymétrie elle-même. Nous confirmerons ensuite les résultats par une étude directe plus classique mais beaucoup plus fastidieuse.

▷ *Fractionnement et invariant η*

Pour calculer la charge baryonique S d'un monopôle,* la méthode la plus naturelle est de quantifier la théorie autour de la solution classique monopolaire

* S , ou S_f , est la charge baryonique associée à une saveur de quark donnée.

correspondante, puis de calculer directement S par la méthode de Noether. Ce sont les fermions, par l'intermédiaire des modes zéros et de l'asymétrie spectrale de l'équation de Dirac, qui sont à l'origine des contributions non-triviales pour S (voir en particulier Niemi et Semenoff 1986b). Le hamiltonien correspondant, déduit directement du lagrangien L_2 (II.20), décrit le couplage d'un spineur de Dirac à un champ monopolaire du type (I.5) dans la jauge $A_0 = 0$. Pour plus de simplicité, nous effectuons une rotation chirale afin d'avoir un champ de Higgs ϕ réel. Le hamiltonien s'écrit alors

$$H = i\alpha^k \partial_k + \alpha^k A_k - \beta(\mu_1 - i\mu_2 \gamma^5 + \sqrt{2}\Phi), \quad (\text{II.66})$$

où les matrices $\beta = \gamma^0$, $\alpha^k = \beta\gamma^k$ et γ^5 sont les matrices de Dirac habituelles. On a aussi

$$\mu = \mu_1 + i\mu_2 = e^{-i \arg a} m, \quad (\text{II.67})$$

où m est la masse nue de la saveur de quark considérée avant la rotation chirale. Insistons sur le fait que le hamiltonien H est très général et en particulier n'est pas supersymétrique. Son étude du point de vue du fractionnement de charge date de 1983 (Paranjape et Semenoff).

Appelons u_κ et v_κ les solutions de l'équation de Schrödinger associée à H d'énergie $\lambda(\kappa)$ respectivement positive et négative. κ est un paramètre caractérisant un *état* d'énergie donnée, et en particulier contient des indices d'hélicité. On développe alors le champ de Dirac de la manière traditionnelle

$$\Psi_h(x) = \int d\kappa (b_\kappa u_\kappa(x) + d_\kappa^\dagger v_\kappa(x)) \frac{1}{|\lambda(\kappa)|^{h/2}}. \quad (\text{II.68})$$

Le facteur $1/|\lambda(\kappa)|^{h/2}$ joue le rôle de régulateur. Les règles de quantification standards donnent

$$\{b_\kappa, b_{\kappa'}^\dagger\} = \{d_\kappa, d_{\kappa'}^\dagger\} = \delta(\kappa - \kappa'), \quad (\text{II.69})$$

et la méthode de Noether permet de calculer la charge S :

$$S = \lim_{h \rightarrow 0} \int dx : \Psi_h^\dagger(x) \Psi_h(x) :. \quad (\text{II.70})$$

Remarquons que cette formule est de nature perturbative dans le secteur solitonique. Le produit normal est a priori une forme bilinéaire des champs de la forme

$$: \Psi_h^\dagger(x) \Psi_h(x) := A [\Psi_h^\dagger(x), \Psi_h(x)] + B \{\Psi_h^\dagger(x), \Psi_h(x)\}. \quad (\text{II.71})$$

Comme S doit être impaire par conjugaison de charge (ou par une transformation CP), qui revient à échanger bb^\dagger avec dd^\dagger , il faut nécessairement que $B = 0$, et donc

$A = 1/2$ pour que le produit normal soit correctement normalisé. Introduisons la densité d'état $\rho(\lambda)$ de l'opérateur H , ainsi que l'asymétrie spectrale ou invariant η défini par

$$\eta = \lim_{h \rightarrow 0} \int d\lambda \rho(\lambda) \text{sign}(\lambda) |\lambda|^{-h}. \quad (\text{II.72})$$

La charge S dans l'état fondamental du secteur solitonique s'exprime alors simplement d'après (II.70) comme

$$S = -\frac{\eta}{2}. \quad (\text{II.73})$$

Insistons sur le fait que la formule (II.73) est exacte à condition de calculer S en perturbation autour de la solution monopolaire selon (II.70), sans tenir compte des corrections d'instantons. Ce calcul reste néanmoins de nature non-perturbative, puisque nous nous plaçons dans un secteur solitonique de la théorie.

La charge électrique n'est pas, quant à elle, directement reliée à η , mais à d'autres quantités similaires (Niemi et al. 1984). Nous nous limiterons dans la suite à une étude détaillée de S .

▷ *Fractionnement et holomorphie : calcul inédit de η*

L'idée, pour calculer S et donc η , est d'utiliser la formule (I.24). Cette formule montre que Z , qui doit être une fonction holomorphe de a à cause de la supersymétrie $N = 2$ comme on le voit par exemple sur la formule (II.43), est la somme de trois termes d'origines très différentes. Les termes de charge électrique et de charge baryonique, qui interviennent dans Z en facteur respectivement de la valeur moyenne du Higgs a et de la masse m , subissent des corrections quantiques de nature non-perturbatives difficiles à calculer, comme nous l'avons discuté ci-dessus. Par contre, les corrections à apporter à la charge magnétique sont beaucoup plus aisées à calculer car elles proviennent uniquement de la dépendance de la constante de couplage g avec l'échelle d'énergie a via la relation de quantification de Dirac (I.9). Comme nous allons le voir ci-dessous, $g(a)$ est déterminée par un calcul perturbatif à une boucle, dans lequel les monopôles magnétiques n'interviennent bien sûr absolument pas. Ce calcul perturbatif va néanmoins être suffisant pour déduire des contributions non-perturbatives à Q_e et à S ! En effet, le terme $1/g^2(a)$ intervient dans Z *proportionnellement* à n_m , toujours d'après la relation de quantification de Dirac. Les contributions non-perturbatives à Q_e et S , elles aussi proportionnelles au nombre quantique topologique n_m , correspondront alors aux termes qu'il est nécessaire d'ajouter à Q_m afin que Z soit bien une fonction holomorphe de a .

Il est temps d'effectuer ce calcul explicitement. Pour évaluer $1/g^2(a)$, on ne peut pas utiliser directement la fonction β (II.56) en présence de quarks de masse nue m_f .

En effet, lorsque $|a| \ll |m_f|$, le quark correspondant ne peut plus contribuer aux variations de g en fonction de a . Cet effet est très bien connu depuis les travaux de Weinberg (1980), et joue un rôle prédominant dans l'étude des actions effectives en général. La formule correcte à une boucle (et donc à tous les ordres de la théorie des perturbations dans nos théories supersymétriques) est (Weinberg 1980)

$$\frac{1}{g^2} = +\frac{1}{2\pi^2} \log |a| - \frac{1}{16\pi^2} \sum_f \log |a^2 - 2m_f^2|, \quad (\text{II.74})$$

à des termes constants près. Lorsque $|a| \gg |m_f|$, la formule est en parfait accord avec (II.56). Les termes en $\log |a \pm \sqrt{2}m_f|/(16\pi^2)$ ont l'interprétation physique suivante. Lorsque $a = \pm\sqrt{2}m_f$, la masse physique du quark correspondant s'annule. On s'attend donc à une singularité dans la constante de couplage apparaissant dans l'action effective, celle-ci ayant été obtenue en intégrant sur les quarks ce qui n'est bien sûr plus valable lorsque la masse de ceux-ci tend vers zéro. La forme de cette singularité est déterminée par le comportement infrarouge de l'action effective abélienne couplée à l'hypermultiplet de quark de charge électrique $g/2$ devenant de masse nulle. La fonction β abélienne est dans ce cas

$$\beta_{\text{U}(1)} = +\frac{g^3}{32\pi^2}, \quad (\text{II.75})$$

ce qui permet bien de retrouver le comportement asymptotique de $1/g^2$ quand $a \rightarrow \pm\sqrt{2}m_f$, et en particulier le coefficient $1/(16\pi^2)$ apparaissant dans (II.74).

Utilisons maintenant la structure spéciale de L_{eff} discutée en II.1. D'après (II.29), comme τ_{eff} est holomorphe, l'équation (II.74) implique l'existence d'un angle θ_{eff} tel que

$$\tau_{\text{eff}}(a) = +\frac{2i}{\pi} \log a - \frac{i}{4\pi} \sum_f \left(\log(a - \sqrt{2}m_f) + \log(a + \sqrt{2}m_f) \right). \quad (\text{II.76})$$

On peut alors déduire la variable a_D donnée par (II.34) en intégrant. Pour obtenir une formule sensée, il faut tenir compte du fait que a_D doit être finie dans la limite $a \rightarrow \pm\sqrt{2}m_f$, en particulier parce que a_D est directement reliée à la masse des monopôles magnétiques via les formules (I.17) et (II.43). Cette condition est bien remplie en rajoutant dans (II.76) des termes sous-dominant, et on obtient

$$a_D(a) = +\frac{2i}{\pi} a \log a - \frac{i}{4\pi} \sum_f \left((a - \sqrt{2}m_f) \log(a - \sqrt{2}m_f) + (a + \sqrt{2}m_f) \log(a + \sqrt{2}m_f) \right)$$

$$\begin{aligned}
&= + \frac{2i}{\pi} a \log a - \frac{i}{4\pi} \sum_f a \log(a^2 - 2m_f^2) + \\
&\qquad\qquad\qquad \frac{i}{2\pi} \sum_f \frac{m_f}{\sqrt{2}} \log \frac{a - \sqrt{2}m_f}{a + \sqrt{2}m_f}. \quad (\text{II.77})
\end{aligned}$$

On en déduit alors immédiatement les charges électriques et baryoniques physiques :

$$S_f = \frac{n_m}{2\pi} \arg \frac{a + \sqrt{2}m_f}{a - \sqrt{2}m_f} \quad (\text{II.78})$$

$$Q_e = g \left[-n_e - \frac{2}{\pi} n_m \arg a + \frac{1}{4\pi} n_m \sum_f \arg(a^2 - 2m_f^2) \right]. \quad (\text{II.79})$$

La supersymétrie $N = 2$ nous a permis de relier des calculs à une boucle donnant les termes logarithmiques habituels à des grandeurs non-perturbatives proportionnelles à n_m et faisant intervenir la fonction argument (ou arctangente) !

▷ *Le calcul traditionnel de η*

Pour clore ce chapitre, nous allons retrouver le résultat (II.78) en utilisant directement (II.72), en s'inspirant de l'article de Paranjape et Semenoff (1983). Introduisons les matrices

$$\Gamma^c = i\beta\gamma^5 = \begin{pmatrix} 1 & 0 \\ 0 & -1 \end{pmatrix}, \quad \Gamma^j = \alpha^j, \quad (\text{II.80})$$

et écrivons le hamiltonien (II.66) sous la forme

$$H = H_0 + \mu_2 \Gamma^c = \begin{pmatrix} \mu_2 & D \\ D^\dagger & -\mu_2 \end{pmatrix} \quad (\text{II.81})$$

où

$$D = i\sigma^k \partial_k + \sigma^k A_k + i(\mu_1 + \sqrt{2}\phi). \quad (\text{II.82})$$

Remarquons que

$$H^2 = \begin{pmatrix} DD^\dagger & 0 \\ 0 & D^\dagger D \end{pmatrix} + \mu_2^2, \quad (\text{II.83})$$

ce qui montre que les valeurs propres de H ont un module supérieur à $|\mu_2|$.

Commençons par montrer la formule fondamentale

$$S = -\frac{1}{\pi} \int_0^\infty d\omega \operatorname{Tr} \frac{H}{H^2 + \omega^2}, \quad (\text{II.84})$$

que nous prendrons comme nouveau point de départ. Pour cela, remarquons que, si σ est la partie impaire de la densité d'état ρ de H ,

$$\sigma(\lambda) = \frac{1}{2}(\rho(\lambda) - \rho(-\lambda)), \quad (\text{II.85})$$

alors

$$\text{Tr} \frac{H}{H^2 + z^2} = 2 \int_{|\mu_2|}^{\infty} d\lambda \sigma(\lambda) \frac{\lambda}{\lambda^2 + z^2} = \int_0^{\infty} d\chi \frac{\sigma(\sqrt{\chi + \mu_2^2})}{\chi + \mu_2^2 + z^2}. \quad (\text{II.86})$$

D'autre part, comme

$$\frac{1}{\sqrt{\chi + \mu_2^2}} = \frac{2}{\pi} \int_0^{\infty} \frac{d\omega}{\omega^2 + \chi + \mu_2^2} \quad (\text{II.87})$$

et

$$S = - \int_{|\mu_2|}^{\infty} d\lambda \sigma(\lambda), \quad (\text{II.88})$$

on trouve bien (II.84).

C'est le terme en $\mu_2 \Gamma^c$ dans H qui viole CP et est responsable des contributions non-triviales à η . On peut en effet facilement montrer que l'asymétrie spectrale de l'opérateur H_0 est nulle en utilisant le fait que

$$\{H_0, \Gamma^c\} = 0 \quad (\text{II.89})$$

ce qui implique en particulier que

$$\text{Tr} \frac{H_0}{H^2 + z^2} = 0, \quad (\text{II.90})$$

et permet de simplifier la Trace dans (II.84) :

$$\text{Tr} \frac{H}{H^2 + z^2} = \mu_2 \text{Tr} \frac{\Gamma^c}{H^2 + z^2}. \quad (\text{II.91})$$

Cette Trace peut encore être simplifiée en utilisant le fait que

$$\text{Tr} \frac{\Gamma^c H_0}{H^2 + \omega^2} = 0. \quad (\text{II.92})$$

En remarquant alors que comme $H^2 + \omega^2 = H_0^2 + \xi^2$ d'après (II.83) si

$$\xi = \sqrt{\mu_2^2 + \omega^2}, \quad (\text{II.93})$$

on a

$$\begin{aligned} \text{Tr} \frac{\mu_2 \Gamma^c}{H^2 + \omega^2} &= \frac{i\mu_2}{\xi} \text{Tr} \Gamma^c \frac{H_0 - i\xi}{H^2 + \omega^2} = \frac{i\mu_2}{\xi} \text{Tr} \Gamma^c \frac{1}{H_0 + i\xi} \\ &= \frac{i\mu_2}{\xi} \text{Tr} \Gamma^c \frac{1}{i\Gamma^k \partial_k + K + i\xi}, \end{aligned} \quad (\text{II.94})$$

où

$$H_0 = i\Gamma^k \partial_k + K(x). \quad (\text{II.95})$$

Puis, on écrit

$$\begin{aligned} \text{tr} \langle x | (i\Gamma^k \partial_k) \Gamma^c \frac{1}{H_0 + i\xi} - \Gamma^c \frac{1}{H_0 + i\xi} (i\Gamma^k \partial_k) | y \rangle &= \\ \text{tr} \langle x | (H_0 - i\xi) \Gamma^c \frac{1}{H_0 + i\xi} - (K - i\xi) \Gamma^c \frac{1}{H_0 + i\xi} - \\ \Gamma^c \frac{1}{H_0 + i\xi} (H_0 + i\xi) + \Gamma^c \frac{1}{H_0 + i\xi} (K + i\xi) | y \rangle. \end{aligned} \quad (\text{II.96})$$

Dans cette dernière équation, la trace est prise uniquement sur les indices de groupe et de spineur. De là, on déduit la relation

$$\begin{aligned} \frac{i\mu_2}{\xi} \text{tr} \langle x | \Gamma^c \frac{1}{H_0 + i\xi} | y \rangle &= \frac{\mu_2}{2\xi^2} \left(\frac{\partial}{\partial x^k} + \frac{\partial}{\partial y^k} \right) \text{tr} \langle x | i\Gamma^k \Gamma^c \frac{1}{H_0 + i\xi} | y \rangle + \\ &\frac{\mu_2}{2\xi^2} \text{tr} \left(K(x) - K(y) \right) \langle x | \Gamma^c \frac{1}{H_0 + i\xi} | y \rangle. \end{aligned} \quad (\text{II.97})$$

Il est maintenant extrêmement tentant de prendre la limite $x \rightarrow y$ dans (II.97), ce qui est suffisant pour calculer la Trace de $\Gamma^c / (H_0 + i\xi)$. On peut alors se demander si le deuxième terme de l'équation, proportionnel à $K(x) - K(y)$, tend bien vers zéro. En fait, ce deuxième terme est directement relié à l'anomalie axiale de l'opérateur de Dirac euclidien $H_0 + i\xi$. Comme nous sommes ici à trois dimensions (les trois dimensions d'espace), on sait qu'il n'y a pas d'anomalie, et que donc la limite naïve est correcte. Finalement,

$$\text{Tr} \frac{H}{H^2 + \omega^2} = \frac{\mu_2}{2(\mu_2^2 + \omega^2)} \int d^3x \partial_k \text{tr} \langle x | i\Gamma^k \Gamma^c \frac{1}{H_0 + i\xi} | x \rangle. \quad (\text{II.98})$$

Cette dernière équation montre que l'invariant η ne dépend que des propriétés asymptotiques de l'opérateur de Dirac considéré, puisque l'on peut réécrire l'intégrale dans (II.98) comme une intégrale sur la sphère à l'infini. Remarquons aussi que dans la limite $\mu_2 \rightarrow 0$ où l'invariance CP est restaurée, seuls les modes zéros interviennent dans η , comme on pouvait s'y attendre, puisque

$$\lim_{\mu_2 \rightarrow 0} \frac{\mu_2}{\mu_2^2 + \omega^2} = \pi \delta(\omega). \quad (\text{II.99})$$

Le calcul de l'intégrale dans (II.98) est fastidieux mais direct. Comme seuls les termes en $1/\vec{x}^2$ contribue, il est pratique de développer $1/(H_0 + i\xi)$ selon

$$\begin{aligned}
\frac{1}{H_0 + i\xi} &= \frac{1}{\gamma^0(i\gamma^k D_k - \mu_1 - \sqrt{2}\phi) + i\xi} \\
&= \frac{\gamma^0(i\gamma^k D_k - \mu_1 - \sqrt{2}\phi) - i\xi}{D_k D^k + (\mu_1 + \sqrt{2}\phi)^2 + \xi^2 - \frac{i}{4}[\gamma^k, \gamma^l]F_{kl}} \\
&= \frac{1}{D_k D^k + (\mu_1 + \sqrt{2}\phi)^2 + \xi^2} \gamma^0(i\gamma^k D_k - \mu_1 - \sqrt{2}\phi) - i\gamma^0 \xi + \\
&\quad \frac{1}{D_k D^k + (\mu_1 + \sqrt{2}\phi)^2 + \xi^2} \frac{i}{4}[\gamma^k, \gamma^l]F_{kl} \frac{1}{D_k D^k + (\mu_1 + \sqrt{2}\phi)^2 + \xi^2} \\
&\quad \gamma^0(i\gamma^k D_k - \mu_1 - \sqrt{2}\phi - i\gamma^0 \xi). \quad (\text{II.100})
\end{aligned}$$

Après avoir effectué les traces sur les matrices γ et les indices de groupe, qui ne donnent une contribution non-nulle que pour le terme en F_{kl} dans (II.100), en utilisant le fait que

$$\oint dS^k B_k = 4\pi n_m, \quad (\text{II.101})$$

et enfin en passant de la représentation $|x\rangle$ à la représentation $|k\rangle$, on arrive à

$$\text{Tr} \frac{H}{H^2 + \omega^2} = -\frac{8\pi\mu_2 n_m}{\mu_2^2 + \omega^2} \int \frac{d^3k}{(2\pi)^3} \sum_{j=-1/2}^{1/2} \frac{j(\mu_1 + ja\sqrt{2})}{\left[k^2 + (\mu_1 + ja\sqrt{2})^2 + \omega^2 + \mu_2^2\right]^2}. \quad (\text{II.102})$$

En remplaçant dans (II.84) et en effectuant les multiples intégrales, on trouve

$$S = -\frac{n_m}{\pi} \sum_{j=-1/2}^{1/2} j \arctan \frac{ja\sqrt{2} + \mu_1}{\mu_2}, \quad (\text{II.103})$$

ce qui correspond bien à (II.78).

III Résultats exacts

1. Quelques mots sur la théorie des monopôles

Dans cette section, la théorie semi-classique des monopôles, pour un groupe de jauge $SU(2)$, est brièvement discutée, à la suite d'Atiyah et Hitchin (1988), Gauntlett (1994) et Harvey (1995). Pour un exposé plus rigoureux et plus complet sur les aspects classiques de la théorie, la référence incontournable est le livre d'Atiyah et Hitchin (1988). La méthode semi-classique permet de développer une intuition physique des phénomènes mis en jeu lorsque l'on cherche à étudier des états liés, et en outre un grand intérêt mathématique intrinsèque. Néanmoins, ses limitations et les difficultés techniques qui lui sont associées contraste avec la simplicité et la généralité des méthodes qui seront introduites dans ce mémoire dès le prochain chapitre.

▷ *Solutions statiques et espace des modules*

Avant d'étudier la dynamique d'un système de monopôles magnétiques BPS* dans les prochaines sous-sections, précisons ici la structure des solutions *statiques* correspondantes. Nous nous plaçons dans le cadre du modèle de Georgi et Glashow pour le moment, qui correspond essentiellement à la partie bosonique des lagrangiens supersymétriques que nous étudierons plus loin. Les équations du mouvement dans la jauge $A_0 = 0$ correspondent alors à l'équation de Bogomolny (I.13), à laquelle il faut rajouter l'équation de Gauss,

$$D^j \dot{A}_j + i[\phi, \dot{\phi}] = 0, \quad (\text{III.1})$$

qui est trivialement vérifiée dans le cas statique. Les équations (I.13) et (III.1) peuvent se réécrire de la manière très élégante suivante. Introduisons un nouveau potentiel vecteur A_J , $1 \leq J \leq 4$, défini par

$$A_J = A_j \quad \text{si} \quad 1 \leq j = J \leq 3 \quad \text{et} \quad A_4 = \phi. \quad (\text{III.2})$$

Ce potentiel vecteur est défini sur un espace euclidien $\mathbb{R}^4 = \mathbb{R}^3 \times \mathbb{R}$ abstrait, le premier facteur \mathbb{R}^3 correspondant à l'espace tridimensionnel usuel et le dernier facteur \mathbb{R} correspondant à une coordonnée fictive x^4 . D'une manière générale, nous utiliserons les lettres minuscules latines comme j , k ou l pour décrire des composantes sur \mathbb{R}^3 , et donc $1 \leq j \leq 3$ par exemple, et nous utiliserons les lettres majuscules correspondantes pour les coordonnées dans l'espace \mathbb{R}^4 , et donc $1 \leq J \leq 4$. Le potentiel vecteur A_J , ainsi que toutes les grandeurs que nous considérerons, ne dépendent pas de la

* Les monopôles BPS sont les seuls stables au niveau quantique grâce à l'équation (I.17).

coordonnée x^4 . En terme de la courbure F_{JK} associée à A_J , l'équation de Bogomoly (I.13) prend la forme

$$F_{JK} = \pm \star F_{JK}, \quad (\text{III.3})$$

et la contrainte de Gauss (III.1)

$$D_J \dot{A}_J = 0. \quad (\text{III.4})$$

L'équation (III.3) est strictement analogue à l'équation (I.1), à ceci près que F ne dépend pas de x^4 . On peut montrer (Atiyah et Hitchin 1985 et 1988) que la solution générale, dans un secteur solitonique donné (donc à n_m fixée), et après un choix de jauge, dépend de $4|n_m|$ paramètres réels u^α (parallèlement, il est bien connu que la solution générale à k instantons de (I.1) dépend de $8k$ paramètres). Les u^α paramétrisent une variété \mathcal{V}_{n_m} de dimension $4n_m$ sur \mathbb{R} , appelée espace des modules des monopôles de charge magnétique n_m . Nous choisirons toujours dans la suite $n_m > 0$, ce qui correspond aux solutions auto-duales $F = + \star F$ dans (III.3). Une configuration de charge magnétique n_m peut être interprétée comme étant constituée par n_m monopôles élémentaires distincts, au moins quand ceux-ci sont séparés par une grande distance devant leur taille caractéristique. $3n_m$ des $4n_m$ coordonnées u^α sont donc les coordonnées du centre de masse de ces monopôles élémentaires. Les n_m coordonnées supplémentaires sont périodiques et correspondent à des coordonnées collectives associées aux charges électriques des monopôles (qui sont donc en fait des dyons en général). Il est utile de choisir parmi les $4n_m$ paramètres quatre paramètres correspondant au mouvement du centre de masse et à la charge électrique du système total, et $4n_m - 4$ paramètres correspondant aux grandeurs relatives correspondantes. L'espace des modules \mathcal{V}_{n_m} admet en effet la décomposition (Atiyah et Hitchin 1988)

$$\mathcal{V}_{n_m} = \mathbb{R}^3 \times \frac{S^1 \times \mathcal{V}_{n_m}^0}{\mathbb{Z}_{n_m}}. \quad (\text{III.5})$$

La division par \mathbb{Z}_{n_m} reflète le fait que les n_m monopôles sont indistinguables. \mathbb{Z}_{n_m} agit aussi sur la coordonnée collective de la charge électrique globale χ correspondant au facteur S^1 dans (III.5), selon $\chi \rightarrow \chi + 2\pi/n_m$. Pour être plus concret, considérons le cas $n_m = 2$, qui est le plus simple non-trivial. La variété \mathcal{V}_2^0 admet un système de coordonnées $(\rho, \theta, \phi, \psi)$, avec $\rho \geq 0$, $0 \leq \theta \leq \pi$, $0 \leq \phi \leq 2\pi$, $0 \leq \psi \leq 2\pi$. \mathbb{Z}_2 agit selon

$$(\rho, \theta, \phi, \psi) \longrightarrow (\rho, \pi - \theta, \pi + \phi, -\psi). \quad (\text{III.6})$$

(ρ, θ, ϕ) correspond à un système de coordonnées sphériques tel que si l'un des monopôles est situé en (ρ, θ, ϕ) , l'autre est situé au point symétrique par rapport au centre des coordonnées, c'est-à-dire en $(\rho, \pi - \theta, \pi + \phi)$. ψ correspond à la charge électrique relative. Nous allons voir que cette variété \mathcal{V}_2^0 , et plus généralement les \mathcal{V}_{n_m} , peut être munie d'une structure mathématique naturelle très riche.

▷ *Faibles vitesses et mouvement géodésique*

Pour étudier la dynamique du système présenté dans la sous-section précédente, nous allons utiliser une approximation de basse énergie, ou de faible vitesse, qui ne sera exacte que dans la limite où les vitesses relatives des monopôles tendent vers zéro. Cette approximation est suffisante pour étudier, après quantification, les états liés de la théorie des champs initiale, à condition que le couplage entre les monopôles soit faible. Or, grâce à la stabilité particulière dont jouissent les états BPS, on peut souvent, en se plaçant dans une telle limite, obtenir des informations *exactes* sur le spectre, même en couplage fort, à condition qu'il n'existe pas de courbe de stabilité marginale dans la théorie considérée. Comme nous l'avons discuté en I.4, c'est effectivement le cas pour la théorie $N = 4$, mais aussi pour la théorie $N = 2$ avec quatre saveurs de masses nues nulles. Dans ces cas, le problème du spectre peut être, en principe, traité complètement dans le cadre de la théorie que nous présentons dans cette section. Les limitations que nous rencontrerons seront alors d'ordre purement technique. Par contre, lorsque des courbes de stabilité marginale sont présentes, comme c'est le cas dans les théories asymptotiquement libres, la méthode de cette section ne s'applique que dans certaines régions de l'espace des paramètres, et ne peut rendre compte des phénomènes spectaculaires de désintégrations (Ferrari et Bilal 1996, Bilal et Ferrari 1996).

L'approximation de basse énergie dont nous parlons est implémentée de la manière suivante. On a vu que la solution *statique* la plus générale à n_m monopôles était donnée par un potentiel vecteur $A_J(\vec{x}, u^\alpha)$ dépendant des $4n_m$ paramètres u^α . Nous allons alors chercher des solutions *dynamique* sous la forme

$$A_J = A_J(\vec{x}, u^\alpha(t)), \quad (\text{III.7})$$

c'est-à-dire en considérant que la dynamique du système correspond à un mouvement sur la variété \mathcal{V}_{n_m} . Ceci réduit le problème de théorie des champs initial à un problème de mécanique avec un nombre fini de degrés de liberté, beaucoup plus facile à étudier. En général, il faut en fait modifier légèrement l'équation (III.7). La raison en est que pour un choix quelconque de coordonnées u^α sur \mathcal{V}_{n_m} , $\dot{A}_J(\vec{x}, u^\alpha(t)) = \dot{u}^\alpha \partial_\alpha A_J(\vec{x}, u^\alpha)$ ne vérifie pas la contrainte de Gauss (III.4). Afin de rester dans la jauge temporelle $A_0 = 0$, il est nécessaire d'effectuer une transformation de jauge en même temps que les u^α varient. D'une manière générale, une transformation de jauge infinitésimale δA_J sur A_J est paramétrisée par une fonction $\Lambda(\vec{x})$ telle que

$$\delta A_J = D_J \Lambda. \quad (\text{III.8})$$

Nous écrirons alors

$$\dot{A}_J = \dot{u}^\alpha \delta_\alpha A_J, \quad (\text{III.9})$$

où le vecteur tangent $\delta_\alpha A_J$ à la variété \mathcal{V}_{n_m} est donné par

$$\delta_\alpha A_J = \partial_\alpha A_J + D_J A_\alpha. \quad (\text{III.10})$$

Les fonctions $A_\alpha(\vec{x}, u^\alpha)$, qui jouent le rôle de Λ dans (III.8), sont choisies de telle manière que

$$D_J \delta_\alpha A_J = 0, \quad (\text{III.11})$$

c'est-à-dire telle que

$$D_J \partial_\alpha A_J + D_J D_J A_\alpha = 0. \quad (\text{III.12})$$

La notation A_α pour les transformations de jauge dans (III.10) n'est pas innocente. Considérant la connexion $A_\Upsilon = (A_J, A_\alpha)$ définie sur $\mathbb{R}^4 \times \mathcal{V}_{n_m}$ et la courbure $F_{\Upsilon\Sigma}$ associée, (III.10) et (III.11) se récrivent

$$\delta_\alpha A_J = F_{\alpha J}, \quad D_J F_{\alpha J} = 0. \quad (\text{III.13})$$

L'équation de Bogomolny (III.3) implique de plus

$$\epsilon_{JKLM} D_L F_{\alpha M} = D_J F_{\alpha K} - D_K F_{\alpha J}, \quad (\text{III.14})$$

et les identités de Bianchi associées à la courbure $F_{\Upsilon\Sigma}$ donnent

$$\begin{aligned} D_\alpha F_{JK} &= D_J F_{\alpha K} - D_K F_{\alpha J}, \\ D_J F_{\alpha\beta} &= -D_\alpha F_{J\beta} + D_\beta F_{J\alpha}. \end{aligned} \quad (\text{III.15})$$

Nous sommes maintenant suffisamment armé pour étudier le lagrangien associé à la dynamique sur \mathcal{V}_{n_m} . Celui-ci est obtenu en remplaçant dans le lagrangien de la théorie des champs (I.4) \dot{A}_j et $\dot{\phi}$ par leur expression (III.9) et A_0 par zéro. En tenant compte de l'équation de Bogomolny (III.3), on obtient

$$\mathcal{L} = \frac{1}{2} G_{\alpha\beta}(u) \dot{u}^\alpha \dot{u}^\beta, \quad (\text{III.16})$$

où $G_{\alpha\beta}$ est une métrique riemannienne sur \mathcal{V}_{n_m} donnée par

$$G_{\alpha\beta} = \int d^3x \operatorname{tr} F_{\alpha J} F_{\beta J}. \quad (\text{III.17})$$

On voit donc que le mouvement classique des monopôles sera donné par les géodésiques sur \mathcal{V}_{n_m} munie de la connexion de Levi-Civita associée à la métrique

$G_{\alpha\beta}$ (Manton 1982). En utilisant (III.13) et (III.15), on peut trouver une formule très compacte pour les symboles de Christoffel,

$$\begin{aligned}\Gamma_{\alpha\beta\gamma} &= G_{\alpha\delta}\Gamma_{\beta\gamma}^{\delta} = \frac{1}{2}(\partial_{\beta}G_{\alpha\gamma} + \partial_{\gamma}G_{\beta\alpha} - \partial_{\alpha}G_{\beta\gamma}) \\ &= \int d^3x \operatorname{tr}(F_{\alpha J}D_{\beta}F_{\gamma J}).\end{aligned}\quad (\text{III.18})$$

Pour pouvoir étudier la dynamique des monopôles, il est nécessaire de connaître explicitement la métrique $G_{\alpha\beta}$. Sa détermination constitue un problème très difficile dans le cas général. Néanmoins, nous allons voir qu'une structure mathématique très intéressante est associée à la variété riemannienne \mathcal{V}_{n_m} , ce qui permet de trouver G exactement lorsque $n_m = 2$ (Atiyah et Hitchin 1985).

▷ *La structure hyperkählerienne de \mathcal{V}_{n_m}*

Le fait que les vecteurs tangents $\delta_{\alpha}A_J$ à \mathcal{V}_{n_m} aient, en plus de l'indice α , un indice naturel J de \mathbb{R}^4 , permet d'étendre les trois structures complexes de \mathbb{R}^4 reliées à l'existence des quaternions à la variété \mathcal{V}_{n_m} . Pour comprendre ce fait capital, rappelons que les trois quasi-structures complexes de \mathbb{R}^4 sont les trois opérateurs linéaires $J^{(m)}$, $1 \leq m \leq 3$, qui agissent sur un élément x^J de \mathbb{R}^4 développé sur la base des quaternions comme $x = x^1 + ix^2 + jx^3 + kx^4$ selon la multiplication par, respectivement, i , j ou k . Chacun des opérateur linéaire vérifie la relation

$$J^{(m)2} = -1 \quad (\text{III.19})$$

caractéristique d'une quasi-structure complexe, et on a de plus

$$J^{(m)}J^{(n)} = \epsilon^{mnp}J^{(p)} - \delta^{mn}. \quad (\text{III.20})$$

On peut alors définir de manière très naturelle les opérateurs $\mathcal{J}^{(m)}$ agissant sur $\delta_{\alpha}A$ par

$$(\mathcal{J}^{(m)}\delta_{\alpha}A)_J = -J_{JK}^{(m)}\delta_{\alpha}A_K. \quad (\text{III.21})$$

Il est alors remarquable de constater que $(\mathcal{J}^{(m)}\delta_{\alpha}A)$ ainsi défini correspond bien à un vecteur tangent de \mathcal{V}_{n_m} , c'est-à-dire que les relations correspondant à (III.13) et (III.14) sont vérifiées :

$$J_{JK}^{(m)}D_J\delta_{\alpha}A_K = 0, \quad (\text{III.22})$$

$$\epsilon_{JKLM}J_{MN}^{(m)}D_L\delta_{\alpha}A_N = J_{KL}^{(m)}D_J\delta_{\alpha}A_L - J_{JL}^{(m)}D_K\delta_{\alpha}A_L. \quad (\text{III.23})$$

Ceci se montre par un calcul direct en utilisant en particulier la relation

$$\epsilon_{JKLM} = -(J_{JK}^{(m)} J_{LM}^{(m)} + J_{JM}^{(m)} J_{KL}^{(m)} + J_{JL}^{(m)} J_{MK}^{(m)}). \quad (\text{III.24})$$

Il est évident que les $\mathcal{J}^{(m)}$ vérifie la même relation (III.20) que les $J^{(m)}$. De plus, on peut aussi vérifier que le crochet de Lie de deux vecteurs holomorphes par rapport à l'un quelconque des $\mathcal{J}^{(m)}$ est lui-même holomorphe, ce qui montre que chaque $\mathcal{J}^{(m)}$ donne une structure complexe à \mathcal{V}_{n_m} . Enfin, les deux dernières propriétés remarquables des structures complexes $\mathcal{J}^{(m)}$ est qu'elles sont compatibles avec la métrique G et avec la connexion de Levi-Civita associée. La première propriété, facile à vérifier, se traduit simplement par

$$G(\mathcal{J}^{(m)}X, \mathcal{J}^{(m)}Y) = G(X, Y) \quad (\text{III.25})$$

quels que soient les vecteurs tangents X et Y . La deuxième propriété est équivalente au fait que les trois formes de Kähler $\Omega^{(m)}$ définies par

$$\Omega^{(m)}(X, Y) = G(\mathcal{J}^{(m)}X, Y) \quad (\text{III.26})$$

ou

$$\Omega_{\alpha\beta}^{(m)} = \int d^3x J_{JK}^{(m)} \text{tr} F_{\alpha J} F_{\beta K} \quad (\text{III.27})$$

sont fermées :

$$d\Omega^{(m)} = 0. \quad (\text{III.28})$$

Ceci peut se vérifier au prix d'un calcul un peu fastidieux en utilisant en particulier les identités de Bianchi (III.15) ainsi que (III.22).

Les résultats précédents montrent que les variétés \mathcal{V}_{n_m} et donc $\mathcal{V}_{n_m}^0$ sont hyperkähler. Cette structure apporte des contraintes très fortes sur la forme de la métrique G , qui doit en particulier être une solution définie-positive des équations d'Einstein dans le vide.* Lorsque $n_m = 2$ et que $\mathcal{V}_{n_m}^0$ est de dimension quatre sur \mathbb{R} , la métrique sur $\mathcal{V}_{n_m}^0$ doit en plus être anti auto-duale. Comme le problème a aussi l'invariance par rotation, qui correspond à effectuer une rotation globale des deux monopôles, Gibbons et Pope (1979) purent montrer que nécessairement l'élément de longueur sur $\mathcal{V}_{n_m}^0$ pouvait se mettre sous la forme

$$ds^2 = f^2 d\rho^2 + a^2(\sigma_1)^2 + b^2(\sigma_2)^2 + c^2(\sigma_3)^2, \quad (\text{III.29})$$

* C'est grâce à la même structure mathématique que les branches de Higgs dont nous avons très rapidement parlées en II.1 n'admettent pas de correction quantique.

avec

$$\begin{aligned}\sigma_1 &= -\sin \psi d\theta + \cos \psi \sin \theta d\phi \\ \sigma_2 &= \cos \psi d\theta + \sin \psi \sin \theta d\phi \\ \sigma_3 &= d\psi + \cos \theta d\phi\end{aligned}\tag{III.30}$$

dans les coordonnées $(\rho, \theta, \phi, \psi)$ introduites précédemment. Les fonctions f , a , b et c ne dépendent que de ρ et ont été déterminées par Atiyah et Hitchin (1985 et 1988). Leur forme explicite est sans intérêt pour nous, nous n'aurons besoin que de leur comportement quand $\rho \rightarrow \infty$ à travers la combinaison fa/bc :

$$\lim_{\rho \rightarrow \infty} \frac{fa}{bc}(\rho) = \frac{1}{2}.\tag{III.31}$$

▷ *Mécaniques quantiques supersymétriques et cohomologie*

Il s'agit maintenant d'étudier la théorie quantique associée au lagrangien (III.16), ou plus précisément à la version du lagrangien (III.16) adaptée au cas des théories de jauge supersymétriques qui nous intéressent. Nous nous limiterons ici au cas de la théorie $N = 4$ étudiée par Sen (1994).

Lorsque le lagrangien microscopique contient des fermions, nous avons déjà vu en I.3 qu'il existe des modes zéros associés aux équations de Dirac correspondantes. Dans le cas de $N = 4$, ces modes zéros fermioniques sont associés aux coordonnées collectives bosoniques u^α par la supersymétrie, et donnent des termes supplémentaires au lagrangien (III.16). D'après le théorème de l'indice de Callias (Callias 1978, Bott et Seeley 1978), on aura en fait $4n_m$ modes zéros complexes fermioniques de spin $\pm 1/2$ (voir la section I.3). À partir de l'une des structures complexes \mathcal{J} sur \mathcal{V}_{n_m} , on peut introduire un système de coordonnées complexes $(z^\mu, z^{\bar{\mu}})$ sur \mathcal{V}_{n_m} . On rangera alors les $4n_m$ modes zéros fermioniques dans des vecteurs colonnes à deux indices $\lambda^\mu = (\lambda_+^\mu, \lambda_-^\mu)$ qui sont des doublets de spin. Dans ces notations, le lagrangien est (Blum 1994)

$$\mathcal{L} = G_{\bar{\mu}\nu} (\dot{z}^{\bar{\mu}} \dot{z}^\nu - i \lambda^{\bar{\mu}} \gamma^0 D_t \lambda^\nu) - \frac{1}{6} R_{\bar{\mu}\nu\bar{\rho}\kappa} \lambda^{\bar{\mu}} \lambda^\nu \lambda^{\bar{\rho}} \lambda^\kappa.\tag{III.32}$$

R est le tenseur de Riemann associé à la métrique G , $\lambda^{\bar{\mu}} = (\lambda^\mu)^\dagger$, D_t est la dérivée covariante associée aux symboles de Christoffel (III.18) le long de la trajectoire $z^\mu(t)$, et

$$\gamma^0 = \begin{pmatrix} 0 & 1 \\ 1 & 0 \end{pmatrix}.\tag{III.33}$$

On peut deviner quelle est le nombre de supersymétries réelles du lagrangien (III.32). En effet, la théorie initiale $N = 4$ a 16 supersymétries réelles (chacun des quatre générateurs est un spineur complexe à deux composantes). Comme (III.32) décrit la dynamique d'états BPS, donc invariants sous la moitié des supersymétries, \mathcal{L} doit avoir 8 supersymétries réelles. On peut montrer que c'est effectivement le cas (Álvarez-Gaumé et Freedman 1981), grâce à la structure hyperkählerienne de la métrique G . Inversement, ceci peut être considéré comme une preuve indirecte de la structure hyperkähler de G .

La quantification des variables fermioniques est donnée par

$$\{\lambda_\epsilon^\mu, \lambda_{\epsilon'}^{\bar{\nu}}\} = \delta^{\mu\bar{\nu}} \delta_{\epsilon\epsilon'} \quad (\text{III.34})$$

où $\epsilon, \epsilon' = \pm$. En identifiant les λ_-^μ et les $\lambda_+^{\bar{\nu}}$ avec des opérateurs de création, on voit que les fonctions d'onde Ψ de la théorie auront une structure indicielle complètement antisymétrique en μ et ν respectivement, de la forme

$$\Psi_{\mu_1 \dots \mu_r \bar{\nu}_1 \dots \bar{\nu}_s}. \quad (\text{III.35})$$

Les états de la théorie peuvent donc être identifiés avec les formes différentielles sur \mathcal{V}_{n_m} :

$$\Psi(z, \bar{z}) = \frac{1}{r!s!} \Psi_{\mu_1 \dots \mu_r \bar{\nu}_1 \dots \bar{\nu}_s} dz^{\mu_1} \wedge \dots \wedge dz^{\mu_r} \wedge d\bar{z}^{\nu_1} \wedge \dots \wedge d\bar{z}^{\nu_s}. \quad (\text{III.36})$$

\mathcal{L} , ou le hamiltonien associé H , peut être décomposé en une partie libre H_0 correspondant au mouvement global du système de monopôles, et en une partie en interaction H_{int} qui n'existe que lorsque $n_m \geq 2$. Cette décomposition correspond à la décomposition (III.5) de l'espace des modules. De même, on peut décomposer Ψ en une partie triviale Ψ_0 qui correspond à la quantification sur $\mathbb{R}^3 \times S^1$ et en une partie non-triviale Ψ_{int} définie sur $\mathcal{V}_{n_m}^0$. Un état de charge électrique n_e est tel que

$$\Psi_0 \propto e^{in_e \chi} \quad (\text{III.37})$$

si on appelle comme dans la première sous-section χ la coordonnée collective associée à la charge électrique globale. Comme la contribution de H_0 à l'énergie totale sature déjà la borne de Bogomolny (I.12), les états BPS de la théorie des champs initiale doivent avoir une énergie $H_{\text{int}} = 0$. Un calcul direct montre que H_{int} n'est rien d'autre que le laplacien sur $\mathcal{V}_{n_m}^0$ associé à la métrique G ,

$$H_{\text{int}} = dd^\dagger + d^\dagger d. \quad (\text{III.38})$$

Les états Ψ_{int} que nous recherchons correspondent donc à des formes *harmoniques* normalisables sur $\mathcal{V}_{n_m}^0$, et le problème du spectre BPS se trouve réduit à l'étude de la cohomologie de $\mathcal{V}_{n_m}^0$.

Avant de continuer sur la théorie $N = 4$, je voudrais dire un mot de la théorie de jauge pure $N = 2$. L'analyse dans ce cas est très similaire à la discussion ci-dessus, à l'exception notable que le nombre de modes zéros fermioniques est $2n_m$ au lieu de $4n_m$, ce qui implique que les états admettent une décomposition de la forme

$$\Psi(z, \bar{z}) = \frac{1}{r!} \Psi_{\mu_1 \dots \mu_r} dz^{\mu_1} \wedge \dots \wedge dz^{\mu_r}. \quad (\text{III.39})$$

Le hamiltonien d'interaction est toujours le laplacien sur $\mathcal{V}_{n_m}^0$, et les états BPS sont alors des formes harmoniques de type $(r, 0)$ d'après (III.39), ou, ce qui est équivalent dans le cas des variétés kählériennes, des formes holomorphes. On arrive au résultat intéressant suivant : tout état BPS de la théorie de jauge pure correspond directement à un état BPS dans la théorie $N = 4$, car la décomposition (III.39) est un cas particulier de la décomposition (III.36). Une interprétation physique de ce fait mathématique est donnée dans Ferrari (1997b).

▷ *Le résultat de Sen*

Nous sommes maintenant près pour présenter les arguments dus à Sen (1994), qui à l'époque étaient les plus convaincants en faveur de l'auto-dualité de la théorie $N = 4$. Comme nous l'avons déjà expliqué en I.4, cette auto-dualité implique l'existence d'un unique état BPS pour chaque valeur n_e et n_m des charges électrique et magnétique, pourvu que n_e et n_m soient premiers entre eux. Comme à chaque forme harmonique Ψ_{int} on peut associer une autre forme harmonique $\star\Psi_{\text{int}}$, l'unicité des états implique donc que les seules formes harmoniques normalisables sur $\mathcal{V}_{n_m}^0$ soient auto-duales ou anti auto-duales,

$$\star\Psi_{\text{int}} = \pm\Psi_{\text{int}}. \quad (\text{III.40})$$

De plus, en raison du fait que le véritable espace des modules n'est pas un simple produit $\mathbb{R}^3 \times S^1 \times \mathcal{V}_{n_m}^0$ mais un quotient donné en (III.5), la forme différentielle totale Ψ doit être invariante sous l'action de \mathbb{Z}_{n_m} . Comme $\chi \rightarrow \chi + 2\pi/n_m$ sous \mathbb{Z}_{n_m} , il faut d'après (III.37) que Ψ_{int} se transforme selon

$$\Psi_{\text{int}} \longrightarrow e^{-2i\pi n_e/n_m} \Psi_{\text{int}}. \quad (\text{III.41})$$

Spécialisons nous au cas $n_m = 2$, puisque c'est seulement là que la métrique est connue. On recherche donc une forme différentielle normalisable Ψ_{int} auto-duale ou anti auto-duale sur \mathcal{V}_2^0 , telle que

$$\Psi_{\text{int}} \longrightarrow -\Psi_{\text{int}} \quad (\text{III.42})$$

lorsque l'on effectue les transformations (III.6). Une telle forme permettra d'obtenir n'importe quel état $(n_e, 2)$ de charge électrique n_e impaire, en accord avec l'auto-dualité. La solution de Sen est

$$\Psi_{int} = F(\rho) \left(d\sigma_1 - \frac{fa}{bc} d\rho \wedge \sigma_1 \right) \quad (\text{III.43})$$

où

$$F(\rho) = F_0 \exp\left(-\int_{\pi}^{\rho} \frac{fa}{bc}(\rho') d\rho'\right) \quad (\text{III.44})$$

et σ_1 a été défini en (III.30). Il est immédiat de vérifier que Ψ_{int} ainsi défini vérifie toutes les contraintes requises. En particulier, la forme est normalisable puisque

$$F(\rho) \underset{\rho \rightarrow \infty}{\sim} F_0 e^{-\rho/2} \quad (\text{III.45})$$

d'après (III.31).

Les états liés à deux monopôles prédits par la dualité électrique/magnétique existent donc bel et bien dans la théorie $N = 4$. Notons cependant que nous n'avons rien prouvé quant à l'unicité de ces états.

2. Dualité électrique/magnétique dans la théorie de Maxwell*

Dans cette section, nous allons présenter une étude directe de la dualité électrique/magnétique, à la suite de Verlinde (1995). Une telle étude est possible dans le cas le plus simple que l'on puisse imaginer, c'est-à-dire la théorie de Maxwell sans source. J'ai tenu à présenter ce cas idéal pour plusieurs raisons. Tout d'abord, il a un intérêt pédagogique indéniable. Ensuite, les manipulations sur l'intégrale fonctionnelle que nous allons utiliser sont strictement similaires à celles qui permettent de montrer que les transformations symplectiques sur l'action effective des théories $N = 2$ décrites en II.1 correspondent bien à des rotations électrique/magnétiques. Nous mettrons de plus en évidence un lien intéressant entre la dualité S à quatre dimensions et la dualité T des théories bidimensionnelles. Enfin, nous verrons comment la dualité S de la théorie de Maxwell à quatre dimensions peut être comprise à partir de la réduction dimensionnelle d'une théorie à six dimensions compactifiée sur un tore. Bien au-delà de la théorie de Maxwell, cette idée joue un rôle très important en théorie des cordes.

* Cette section sort quelque peu du cadre général de ce mémoire, et peut être omise en première lecture.

Afin de rendre le problème vraiment intéressant, nous nous placerons sur une variété M_4 de dimension quatre topologiquement non-triviale, munie d'une métrique riemannienne ou lorentzienne de telle manière que l'on puisse définir une étoile de Hodge \star . En particulier, nous regarderons des cas où le deuxième nombre de Betti b_2 de la variété est non-nul. Dans ce cas, même si la théorie que nous considérons est libre et n'a pas de développement perturbatif, il existe des solutions de type instanton aux équations du mouvement

$$d \star F = 0. \quad (\text{III.46})$$

Ces solutions correspondent aux deux-formes harmoniques sur M_4 , qui sont justement en nombre b_2 , et contribuent à la fonction de partition. Il existe alors un angle θ dans la théorie, comme dans les théories de jauge non-abéliennes sur \mathbb{R}^4 . La dualité S au niveau classique reflète simplement le fait que l'identité de Bianchi

$$dF = 0 \quad (\text{III.47})$$

et les équations du mouvement (III.46) sont interchangées lorsque $F \rightarrow \star F$. Nous allons étudier cette dualité au niveau quantique.

Avant d'aller plus loin, il est utile de rappeler brièvement quelques propriétés des variétés de dimension quatre. On peut définir sur le deuxième groupe de cohomologie de M_4 , que nous noterons $H^2(M_4)$, une forme d'intersection Q , qui est un produit scalaire entre deux-formes fermées,

$$Q(\alpha, \beta) = \int_{M_4} \alpha \wedge \beta. \quad (\text{III.48})$$

Lorsque l'on se restreint à des deux-formes convenablement normalisées telles que

$$\oint_{\Sigma} \alpha \in \mathbb{Z}, \quad (\text{III.49})$$

où Σ est un deux-cycle quelconque de M_4 , alors Q est à valeurs entières. Les deux-formes vérifiant (III.49) engendrent un espace appelé $H^2(M_4, \mathbb{Z})$ qui est un réseau auto-adjoint \mathbb{Z}^{b_2} . Le produit scalaire (III.48) défini sur le réseau montre que celui-ci est entier.

▷ *La fonction de partition et l'invariance $\tau \rightarrow \tau + 1$*

La constante de couplage de la théorie sera écrite sous la forme pratique habituelle

$$\tau = \frac{\theta}{2\pi} + i \frac{4\pi}{g^2}. \quad (\text{III.50})$$

La fonction de partition de la théorie est

$$Z(\tau) = \int \mathcal{D}A \exp\left(\frac{i}{4\pi} \int_{M_4} F \wedge \hat{\tau}F\right), \quad (\text{III.51})$$

où $\hat{\tau}$ est l'opérateur défini par

$$\hat{\tau} = \begin{cases} \theta/2\pi + 4\pi \star /g^2 & \text{si la variété est lorentzienne,} \\ \theta/2\pi + 4i\pi \star /g^2 & \text{si la variété est riemannienne,} \end{cases} \quad (\text{III.52})$$

et l'intégration est effectuée sur tous les potentiels vecteurs A inéquivalents de jauge tels que $F = dA$. Remarquer que comme $\star^2 = -1$ quand M_4 est lorentzienne et $\star^2 = +1$ quand M_4 est riemannienne, on a toujours

$$\hat{\tau}^{-1} = -\hat{\tau}_D \quad (\text{III.53})$$

si on définit la constante de couplage duale par

$$\tau_D = \frac{\theta_D}{2\pi} + i\frac{4\pi}{g_D^2} = -\frac{1}{\tau}. \quad (\text{III.54})$$

La définition (III.52) donne une action lorentzienne standard

$$S_L = \frac{-1}{2g^2} \int_{M_4} d^4x F_{\mu\nu} F^{\mu\nu} + \frac{\theta}{16\pi^2} \int d^4x F_{\mu\nu} \tilde{F}^{\mu\nu} \quad (\text{III.55})$$

apparaissant à travers le facteur e^{iS_L} dans la fonction de partition et une action riemannienne

$$S_R = \frac{1}{2g^2} \int_{M_4} d^4x F_{\mu\nu} F^{\mu\nu} - i\frac{\theta}{16\pi^2} \int d^4x F_{\mu\nu} \tilde{F}^{\mu\nu} \quad (\text{III.56})$$

apparaissant à travers le facteur e^{-S_R} dans la fonction de partition.

Lorsque $\tau \rightarrow \tau + 1$, il apparaît un facteur

$$\exp 2i\pi \left(\frac{1}{8\pi^2} \int_{M_4} F \wedge F \right) \quad (\text{III.57})$$

dans l'intégrale fonctionnelle (III.51). Or, on sait que la première classe de Chern $c_1(F) = F/2\pi$ est dans $H^2(M_4, \mathbb{Z})$, et que donc

$$\frac{1}{8\pi^2} \int_{M_4} F \wedge F = \frac{1}{2} Q(c_1(F), c_1(F)) \in \mathbb{Z}/2. \quad (\text{III.58})$$

En générale, la théorie est donc seulement invariante sous les transformations $\tau \rightarrow \tau + 2$. Cependant, il existe des variétés M_4 pour lesquelles Q est toujours un nombre pair. Le réseau $H^2(M_4, \mathbb{Z})$ est alors pair, et la théorie invariante sous la transformation $\tau \rightarrow \tau + 1$.

▷ *L'invariance* $\tau \rightarrow -1/\tau$

Étudions à présent la transformation la plus intéressante $\tau \rightarrow -1/\tau$, qui relie couplage faible et couplage fort. Nous allons voir explicitement que cette transformation correspond à une dualité électrique/magnétique.

Récrivons la fonction de partition en introduisant un multiplicateur de Lagrange A_D qui impose la condition $dF = 0$. L'intégrale fonctionnelle porte donc maintenant sur l'ensemble des deux-formes F et sur une un-forme A_D :

$$Z(\tau) = \int \mathcal{D}F \mathcal{D}A_D \exp\left(\frac{i}{4\pi} \int_{M_4} F \wedge \hat{\tau}F + \frac{i}{2\pi} \int_{M_4} dF \wedge A_D\right). \quad (\text{III.59})$$

On peut alors effectuer sans difficulté l'intégrale gaussienne sur F , ce qui revient à résoudre l'équation

$$\frac{\delta}{\delta F} \left(\frac{i}{4\pi} \int_{M_4} F \wedge \hat{\tau}F - \frac{i}{2\pi} \int_{M_4} F \wedge dA_D \right) = 0, \quad (\text{III.60})$$

ou encore à exprimer l'action en terme de la courbure duale

$$F_D = dA_D = \hat{\tau}F.$$

On obtient alors

$$Z(\tau) = \int \mathcal{D}A_D \exp\left(\frac{i}{4\pi} \int_{M_4} F_D \wedge \hat{\tau}_D F_D\right) = Z(\tau_D), \quad (\text{III.61})$$

ce qui prouve l'invariance de la théorie sous la transformation $\tau \rightarrow -1/\tau$. La variable duale F_D est, par exemple dans le cas lorentzien,

$$F_D = \frac{\theta}{2\pi} F + \frac{4\pi}{g^2} \star F. \quad (\text{III.62})$$

Par analogie avec la définition du nombre topologique magnétique n_m ,

$$n_m = \oint_{\Sigma} \frac{F}{2\pi}, \quad (\text{III.63})$$

on définit

$$n_e = \oint_{\Sigma} \frac{F_D}{2\pi}. \quad (\text{III.64})$$

n_m et n_e sont des nombres entiers. D'après (III.62), on a

$$n_e = \frac{\theta}{2\pi} n_m - \frac{Q_e}{g} \quad (\text{III.65})$$

où la charge électrique physique Q_e est définie par

$$Q_e = -\frac{2}{g} \oint_{\Sigma} \star F. \quad (\text{III.66})$$

La formule (III.65) est parfaitement équivalente avec la formule de Witten (II.62). On voit que le groupe de dualité $\text{SL}(2, \mathbb{Z})$ agit sur τ et (n_e, n_m) comme décrit en (I.22) et (I.23), et que les champs (F_D, F) se transforment comme (n_e, n_m) .

▷ *La série d'instantons*

La fonction de partition (III.51) peut se calculer directement en sommant sur toutes les contributions d'instantons. Un instanton est ici la donnée d'un élément p du réseau $H^2(M_4, \mathbb{Z})$. Dans le cas riemannien, auquel nous nous limiterons dans cette sous-section, on peut décomposer la forme harmonique p en une partie auto-duale p_+ et une partie anti auto-duale p_- ,

$$p = p_+ + p_-, \quad \star p_+ = p_+, \quad \star p_- = -p_-. \quad (\text{III.67})$$

Une telle décomposition diagonalise le produit scalaire (III.48). On écrira

$$Q(p, p) = p_+^2 - p_-^2 \quad (\text{III.68})$$

où $p_+^2 = Q(p_+, p_+) > 0$ et $p_-^2 = -Q(p_-, p_-) > 0$. L'action de l'instanton $p = F/2\pi$ est d'après (III.56)

$$S_R(p) = -i\pi(\tau p_+^2 - \bar{\tau} p_-^2), \quad (\text{III.69})$$

et la fonction de partition s'écrit donc en fonction de

$$q = e^{2i\pi\tau} \quad (\text{III.70})$$

comme

$$Z(\tau) = Z_0 \sum_{p \in H^2(M_4, \mathbb{Z})} q^{p_+^2/2} \bar{q}^{p_-^2/2}. \quad (\text{III.71})$$

Le facteur Z_0 provient de l'intégration sur les fluctuations autour de p ; nous ne chercherons pas à le déterminer directement. La formule (III.71) rappelle très fortement la fonction de partition d'un boson libre de masse nulle sur un tore. La somme donne une fonction θ généralisée, et on sait qu'elle est bien invariante modulaire, modulo une normalisation par la fonction η de Dedekind qui ici doit apparaître dans le facteur Z_0 , dès que le réseau sur lequel la somme est effectuée est auto-adjoint et pair. Tout ceci est en accord parfait avec la discussion de la sous-section précédente.

Pour finir, signalons que l'on peut pousser l'analogie avec la théorie bidimensionnelle de bosons libres ϕ sur un tore encore plus loin. En fait, on peut montrer, en suivant exactement le raisonnement de la sous-section précédente qui était consacrée à la dualité S, la célèbre invariance $R \rightarrow 1/R$, ou dualité T, de la théorie compactifiée sur un cercle de rayon R , car la fonction de partition s'écrit dans ce cas en parallèle avec (III.51),

$$Z_{\text{bosons}} = \int \mathcal{D}\phi \exp\left(-\frac{\pi R^2}{2} \int_{T^2} d\phi \wedge \star d\phi\right), \quad (\text{III.72})$$

où $d\phi \in H^1(T^2, \mathbb{Z})$.

▷ *Réduction dimensionnelle*

Pour finir l'analyse de la théorie de Maxwell, nous allons voir que la dualité S peut se comprendre très facilement dans ce cas à partir de la compactification d'une théorie définie sur $M_4 \times T^2$, où T^2 est un tore de paramètre modulaire τ . L'action en six dimensions est, par analogie avec l'action à quatre dimensions,

$$S = \frac{1}{8\pi} \int_{M_4 \times T^2} H \wedge \star H, \quad (\text{III.73})$$

où $H = dB$ est une trois-forme qui joue le rôle de $F = dA$, mais à six dimensions. Nous imposerons à cette trois-forme d'être auto-duale, et nous effectuerons la réduction dimensionnelle en imposant

$$H = F_+ dz + F_- d\bar{z} = F dx + F_D dy \quad (\text{III.74})$$

c'est-à-dire

$$F_D = \oint_{\gamma_1} H, \quad F = \oint_{\gamma_2} H \quad (\text{III.75})$$

où (γ_1, γ_2) est une base de $H_1(T^2)$. Remarquons que $\star H = H$ implique bien que $\star F_+ = F_+$ et $\star F_- = -F_-$, et que F_D est bien définie comme en (III.62) car $dz = dx + \tau dy$. En intégrant sur T^2 dans (III.73), on obtient immédiatement l'action de Maxwell. La dualité S de la théorie à quatre dimensions est donc interprétée comme provenant de l'invariance modulaire du tore T^2 sur lequel on a compactifié la théorie à six dimensions. Ce genre de raisonnement est particulièrement fructueux dans le cadre de la théorie des cordes, voir par exemple Witten (1995) pour un exposé relativement pédagogique.

3. La solution de Seiberg et Witten

▷ *Retour sur les transformations symplectiques de L_{eff}*

Nous pouvons à ce stade facilement compléter les arguments de la section II.1, et relier directement les transformations symplectiques (II.37) effectuées sur l'action effective à basse énergie à des rotations électrique/magnétiques. Pour cela, il suffit en fait de répéter l'argument présenté dans la section précédente dans le cadre de la théorie de Maxwell, mais pour l'action effective abélienne (II.32). Utilisons un formalisme manifestement invariant sous la supersymétrie $N = 1$. On introduit un multiplicateur de Lagrange, qui est ici un superchamp vectoriel réel V_D de type (II.3), et qui permet d'imposer la super-identité de Bianchi

$$\Im m D^\alpha W_\alpha = 0. \quad (\text{III.76})$$

La partie de l'action effective (II.32) dépendant du superchamp vectoriel W se réécrit alors

$$\frac{1}{8\pi} \Im m \left[\int d^2\theta \tau(A) W^2 + 2 \int d^2\theta d^2\bar{\theta} V_D D^\alpha W_\alpha \right]. \quad (\text{III.77})$$

En utilisant l'identité

$$\Im m \int d^2\theta d^2\bar{\theta} V_D D^\alpha W_\alpha = -\Im m \int d^2\theta W_D W \quad (\text{III.78})$$

où, parallèlement à (II.2), mais dans le cas abélien cette fois,

$$W_{D\alpha} = -\frac{1}{8} \bar{D}^2 D_\alpha V_D, \quad (\text{III.79})$$

et en intégrant sur W , on obtient l'analogue de la relation (III.62),

$$W_D = \tau W, \quad (\text{III.80})$$

et une nouvelle expression pour L_{eff} en fonction du multiplet vectoriel dual,

$$L_{\text{eff}} = \frac{1}{8\pi} \Im m \left[\int d^2\theta (-1/\tau(A)) W_D^2 + 2 \int d^2\theta d^2\bar{\theta} \bar{A} A_D \right]. \quad (\text{III.81})$$

Pour voir enfin que ces transformations sont bien compatibles avec la supersymétrie $N = 2$, il suffit de noter que si on définit le prépotentiel \mathcal{F}_D comme étant la transformée de Legendre de \mathcal{F} ,

$$\mathcal{F}_D(A_D) = \mathcal{F}(A) - A A_D, \quad (\text{III.82})$$

on a bien

$$\frac{\partial^2 \mathcal{F}_D}{\partial A_D^2} = \tau_D(A_D) = -\frac{1}{\tau(A)} \quad (\text{III.83})$$

et

$$\Im m \int d^2\theta d^2\bar{\theta} \bar{A} \frac{\partial \mathcal{F}}{\partial A} = \Im m \int d^2\theta d^2\bar{\theta} \bar{A}_D \frac{\partial \mathcal{F}_D}{\partial A_D}. \quad (\text{III.84})$$

▷ *Holomorphic et unitarité*

Nous allons à présent analyser plus en détails la contrainte (II.31) sur le prépotentiel qui, rappelons le, assurait la positivité des termes cinétiques dans L_{eff} . Dans le cadre des théories asymptotiquement libres, auxquelles j'ai choisi de me limiter dans ce chapitre d'introduction, on connaît les asymptotes de \mathcal{F} , ou de $\tau(a)$, quand $|a| \rightarrow \infty$. Dans cette région où le couplage est faible, on a

$$u = \langle \text{tr } \phi^2 \rangle \simeq \frac{1}{2} a^2 \quad (\text{III.85})$$

et on peut utiliser le calcul perturbatif (II.55) pour obtenir

$$\Im m \tau(u) \underset{|u| \rightarrow \infty}{\sim} \frac{4 - N_f}{4\pi} \ln |u|. \quad (\text{III.86})$$

Ceci montre que la fonction harmonique $\Im m \tau(u)$ tend vers l'infini quand $|u|$ tend vers l'infini indépendamment de la direction, et peut donc être considérée comme étant une fonction définie sur la sphère compacte S^2 à valeurs dans $\overline{\mathbb{R}} = \mathbb{R} \cup \{\infty\}$. Le principe du maximum impose alors l'existence de singularités à distance finie dans le plan des u afin que la condition (II.31) puisse être respectée. Si on n'avait qu'une seule singularité, disons en u_0 , la fonction analytique $\tau(u)$ aurait une coupure s'étendant de u_0 à l'infini, avec une discontinuité de part et d'autre de la coupure donnée par $\delta\tau = \pm(4 - N_f)/2$ d'après (III.86). Ceci montre que $\Im m \tau$ serait toujours définie globalement, en contradiction avec le principe du maximum et la condition (II.31). Le nombre minimal de singularités à distance finie dans l'espace des modules est donc deux, placées en u_+ et en u_- . Nous allons dans la prochaine sous-section préciser l'origine physique de ces singularités, et les caractériser par une matrice de monodromie.

▷ *La structure générale des singularités*

Nous avons déjà, en II.3, rencontré des singularités dans l'action effective. Celles-ci étaient dues à des quarks ($n_e = 1/2, n_m = 0$) devenant de masse nulle quand $a \rightarrow \pm\sqrt{2}m_f$. Les asymptotes du couplage $\tau(u)$ et de la variable a_D dans cette limite peuvent se déduire immédiatement des formules (II.76) et (II.77).

L'idée maîtresse de Seiberg et Witten (Seiberg et Witten 1994ab) fut alors la suivante. Ils comprirent que les singularités dans L_{eff} étaient, de manière générique, dues à des particules chargées devenant de masse nulle, ces particules pouvant tout aussi bien être des quarks que des monopôles magnétiques ou des dyons a priori. Ils comprirent également que les asymptotes des variables fondamentales a_D et a

au voisinage d'une singularité quelconque pouvaient être calculées en effectuant une transformation symplectique (II.37) adéquate sur les asymptotes déduites de (II.76) ou (II.77). Une singularité produite par d hypermultiplets (n_e, n_m) devenant de masse nulle simultanément en un point u_0 est alors caractérisée par une matrice de monodromie $M_{u_0}(n_e, n_m)$ définie par

$$\begin{pmatrix} a_D \\ a \end{pmatrix} (e^{2i\pi} u) = M_{u_0} \begin{pmatrix} a_D \\ a \end{pmatrix} (u) \quad (\text{III.87})$$

et donnée par la formule

$$M_{u_0}(n_e, n_m) = \begin{pmatrix} 1 - 2n_e n_m d & 2n_e^2 d \\ -2n_m^2 d & 1 + 2n_e n_m d \end{pmatrix}. \quad (\text{III.88})$$

Je tiens à insister ici sur le fait que la formule (III.88) est de nature non-perturbative. Les solitons $n_m \neq 0$ ne peuvent en effet devenir de masse nulle que dans un régime où la théorie est fortement couplée. C'est la dualité électrique/magnétique, démontrée et utilisée ici au niveau de l'action effective à basse énergie, qui a permis d'obtenir la formule (III.88) à partir d'un calcul perturbatif fondé par exemple sur la formule (II.75).

▷ *La solution de la théorie de jauge pure*

Analysons plus précisément le cas de la théorie de jauge pure. On a alors une symétrie chirale \mathbb{Z}_8 , comme expliqué à la fin de la section II.2. Comme d'après (III.85) et (II.15) u est de charge 4 sous cette symétrie, les points u et $-u$ sont physiquement équivalents. Si on a une singularité (n_e, n_m) en u_+ , on aura alors une deuxième singularité $(n_e + n_m, n_m)$ en $u_- = -u_+$ (remarquer que $\theta \rightarrow \theta + 2\pi$ quand on effectue la transformation chirale $u \rightarrow -u$). La quantité $|u_+ - u_-|$ est le carré d'une échelle d'énergie caractéristique du régime non-perturbatif de la théorie. La seule quantité connue de ce type est l'échelle de masse Λ qui intervient dans toutes les théories asymptotiquement libres, et on normalisera Λ de telle manière que $|u_+ - u_-| = 2\Lambda^2$. S'il existait d'autres singularités dans la théories, il faudrait en particulier introduire de nouvelles échelles de masse qui caractériseraient leur position. L'origine de ces nouvelles échelles de masse serait totalement inconnue, et la seule hypothèse plausible, faite par Seiberg et Witten, est qu'il n'existe que deux singularités à distance finie.*

D'autre part, nous choisirons l'angle θ nue de la théorie nul (ou multiple de 2π). Ceci est toujours possible, quitte à effectuer une transformation de la symétrie chirale

* Des arguments plus généraux sont apparus récemment qui ont porté ce résultat à un haut niveau de rigueur (Flume et al. 1996, Bonelli et al. 1996).

anormale $U(1)_R$ et donc une rotation globale dans le plan des u . En effectuant une transformation CP, qui change u en \bar{u} quand $\theta = 2p\pi$, on déduit que l'existence d'une singularité (n_e, n_m) en u_+ implique l'existence d'une autre singularité $(-n_e, n_m)$ en \bar{u}_+ . Afin que le nombre de singularités reste égal à deux, deux cas de figure sont possibles. Dans le premier, les deux singularités sont sur l'axe imaginaire pure en $u_+ = i\Lambda^2$ et $u_- = -i\Lambda^2$, et on a $n_e + n_m = -n_e$. Dans le deuxième cas de figure, les deux singularités sont sur l'axe réel en $u_+ = \Lambda^2$ et $u_- = -\Lambda^2$. Seule cette dernière possibilité est acceptable. En effet, les monodromies autour de u_+ et u_- doivent vérifier la relation de cohérence

$$M_{u_+} M_{u_-} = M_\infty \quad (\text{III.89})$$

où M_∞ est la monodromie à l'infini déduite des asymptotes (II.55) :

$$M_\infty = \begin{pmatrix} -1 & 2 \\ 0 & -1 \end{pmatrix}. \quad (\text{III.90})$$

Ceci n'est possible que pour $|n_m| = 1$ et donc u_+ et u_- sur l'axe réel puisque n_e est un nombre entier dans la théorie de jauge pure où le groupe de jauge est précisément $SO(3)$. Il est très satisfaisant de trouver que les monopôles ou les dyons devenant de masse nulle sont de charge $n_m = \pm 1$, puisque nous avons déjà signalé que ce sont probablement les seuls états solitoniques stables dans cette théorie. Quant au nombre quantique n_e , il reste indéterminé. Ceci est bien sûr relié à l'indétermination modulo 2π de l'angle θ nu. Nous verrons ci-dessous que la charge électrique physique des états devenant de masse nulle est par contre parfaitement déterminée, et que la "démocratie" entre les dyons suggérée par le fait que n_e est indéterminé n'a pas de réel contenu physique.

Nous sommes donc à présent devant un problème purement mathématique parfaitement défini. Il s'agit de trouver les fonctions analytiques $a_D(u)$ et $a(u)$, avec les monodromies correctes autour de u_+ et u_- , et normalisées par les asymptotes déduites de (II.55) et (III.85)

$$a_D(u) \underset{|u| \rightarrow \infty}{\sim} \frac{i}{\pi} \sqrt{2u} \log u, \quad a(u) \underset{|u| \rightarrow \infty}{\sim} \sqrt{2u}. \quad (\text{III.91})$$

Ce problème peut être attaqué de plusieurs manières, et admet une solution unique. Je ne discuterai ici que la méthode originale de Seiberg et Witten, qui est sans conteste la plus élégante et aussi la plus fructueuse. L'idée est d'introduire une famille adéquate de tores Σ_u telle que $\tau(u)$ soit le paramètre modulaire du tore Σ_u . L'équation de Σ_u peut toujours s'écrire sous la forme

$$y^2 = P(x, u) \quad (\text{III.92})$$

où x et y sont des variables complexes et P un polynôme de degré trois. Le paramètre modulaire est alors donné par la formule

$$\tau(u) = \left(\oint_{\gamma_1} \frac{dx}{y} \right) / \left(\oint_{\gamma_2} \frac{dx}{y} \right) \quad (\text{III.93})$$

où (γ_1, γ_2) est une base de l'homologie du tore. La condition de cohérence (II.27) ou (II.31) est automatiquement vérifiée dans ce formalisme. De plus, a_D et a s'écriront

$$a_D(u) = \oint_{\gamma_1} \lambda(u), \quad a(u) = \oint_{\gamma_2} \lambda(u). \quad (\text{III.94})$$

où λ est une forme différentielle vérifiant d'après (II.29) l'équation

$$\frac{\partial \lambda}{\partial u} \propto \frac{dx}{y} \quad (\text{III.95})$$

à une forme différentielle exacte près. Noter l'analogie parfaite entre les équations (III.75) et (III.94). La base (γ_1, γ_2) de l'homologie du tore doit être choisie de telle manière que les asymptotes de a_D et a soient données par (III.91).

Trouver la famille de tores Σ_u n'est pas dans le cas qui nous intéresse un problème très difficile. Il est tout d'abord essentiel de comprendre qu'à cause des monodromies, le paramètre modulaire n'est défini intrinsèquement en fonction de u que modulo le groupe de monodromie Γ , qui est engendré par les matrices M_{u_+} , M_{u_-} et M_∞ . En effectuant des continuations analytiques appropriées, on peut en effet changer τ par une transformation quelconque de Γ , en revenant toujours en un point fixe quelconque u . En d'autres termes, u doit être une fonction modulaire pour Γ . Ici, on peut vérifier facilement que $\Gamma = \Gamma(2)$, qui est le sous-groupe de transformations de $\text{SL}(2, \mathbb{Z})$ constitué par les matrices congrues à l'identité modulo 2. D'autre part, les singularités de a_D et a ne peuvent provenir ici que de singularités des tores Σ_u pour certaines valeurs de u . Ces singularités correspondent à des cycles évanescents sur le tore, et se produisent quand le discriminant du polynôme P apparaissant dans (III.92) s'annule. De manière générale, on peut récrire (III.92) comme

$$y^2 = \prod_{j=1}^3 (x - e_j(u)). \quad (\text{III.96})$$

Les propriétés modulaire des e_j en fonction de τ sont bien connus. Ce sont des formes modulaires de poids 2 sous $\Gamma(2)$, et on peut les ordonner de telle manière que

$$\begin{aligned} e_1(\tau + 1) &= e_1(\tau), & e_2(\tau + 1) &= e_3(\tau), & e_3(\tau + 1) &= e_2(\tau), \\ e_1(-1/\tau) &= \tau^2 e_2(\tau), & e_2(-1/\tau) &= \tau^2 e_1(\tau), & e_3(-1/\tau) &= \tau^2 e_3(\tau). \end{aligned} \quad (\text{III.97})$$

Le paramètre

$$k^2 = \frac{e_3 - e_2}{e_1 - e_2} \quad (\text{III.98})$$

est donc une fonction modulaire (i.e. invariante) pour $\Gamma(2)$. Le groupe de monodromie de toute famille de courbe ne dépendant que du paramètre k^2 sera donc $\Gamma(2)$. Afin de bien avoir deux singularités en $u = \pm\Lambda^2$, on prend pour la famille de courbes Σ_u l'ensemble

$$y^2 = (x - \Lambda^2)(x + \Lambda^2)(x - u). \quad (\text{III.99})$$

Le discriminant s'annule bien pour $u = \pm\Lambda^2$, et on a simplement $k^2 = (u + \Lambda^2)/(2\Lambda^2)$ ce qui montre que le groupe de monodromie est bien $\Gamma(2)$. À partir de (III.99) on trouve alors

$$a_D = \frac{\sqrt{2}}{2\pi} \oint_{\gamma_1} \frac{y dx}{x^2 - \Lambda^4}, \quad a = \frac{\sqrt{2}}{2\pi} \oint_{\gamma_2} \frac{y dx}{x^2 - \Lambda^4} \quad (\text{III.100})$$

ou explicitement

$$\begin{aligned} a_D(u) &= i \frac{u - \Lambda^2}{2\Lambda} F\left(\frac{1}{2}, \frac{1}{2}, 2; \frac{\Lambda^2 - u}{2\Lambda^2}\right) + n_e \sqrt{2(u + \Lambda^2)} F\left(-\frac{1}{2}, \frac{1}{2}, 1; \frac{2\Lambda^2}{u + \Lambda^2}\right), \\ a(u) &= \sqrt{2(u + \Lambda^2)} F\left(-\frac{1}{2}, \frac{1}{2}, 1; \frac{2\Lambda^2}{u + \Lambda^2}\right) \end{aligned} \quad (\text{III.101})$$

en termes de fonctions hypergéométriques standards (l'entier n_e dépend du choix du contour γ_1). Cette solution correspond bien à un dyon $(n_e, 1)$ de masse nulle en $u = +\Lambda^2$, car $a_D(\Lambda^2) = n_e a(\Lambda^2)$.

Je finirai cette sous-section par une remarque sur la charge électrique physique portée par le ‘‘dyon’’ $(n_e, 1)$ qui devient de masse nulle en $u = +\Lambda^2$. Cette charge électrique peut être calculé en étudiant les asymptotes de a_D quand $|u| \rightarrow \infty$, en tenant compte des termes sous-dominant de l'ordre de a , puis en utilisant (I.19) et (II.40). On obtient

$$a_D = \frac{2i}{\pi} n_m a \log a + n_e a + O(1), \quad (\text{III.102})$$

ce qui donne une charge électrique physique lorsque $a \in \mathbb{R}$

$$Q_e = 0. \quad (\text{III.103})$$

On a donc bien à faire à un *monopôle* magnétique, indépendamment du choix arbitraire de n_e . Le même raisonnement montre que le soliton qui devient de masse nulle en $u = -\Lambda^2$ est lui aussi de charge électrique physique nulle.

▷ *Généralisation aux théories (massives) avec quarks*

La généralisation de la discussion précédente au cas où des quarks de différentes saveurs sont présents est relativement directe. Nous présenterons ici le cas $N_f = 1$, en renvoyant le lecteur à l'article originale de Seiberg et Witten (1994b) pour une discussion des autres cas.

Pour trouver la structure des singularités, le plus simple est de se placer dans une limite où le quark est de masse très grande et où la théorie ressemble alors beaucoup à la théorie de jauge pure. La fonction β (II.56) permet de relier l'échelle Λ_0 de la théorie de jauge pure à l'échelle Λ_1 de la théorie ayant une saveur de quarks de masse nue m ,

$$\Lambda_0^4 = m\Lambda_1^3. \quad (\text{III.104})$$

Quand $m \gg \Lambda_1$, nous aurons en couplage fort ($u \sim \Lambda_1^2$) les deux singularités de la théorie de jauge pure, et en couplage faible ($u \sim m^2$) une singularité supplémentaire due au quark devenant de masse nulle. Cette dernière singularité est simplement celle que nous avons déjà rencontré dans les équations (II.76) et (II.77). Lorsque $m \rightarrow 0$, ces trois singularités vont se déplacer sur l'espace des modules, pour finalement se retrouver aux sommets d'un triangle équilatéral quand $m = 0$, échangées par la symétrie chirale $\mathbb{Z}_{4(4-N_f)} = \mathbb{Z}_{12}$ qui agit comme \mathbb{Z}_3 dans le plan des u .

Avant de présenter la solution quantitative du problème, il est très utile de changer quelque peu les conventions que nous avons utilisées jusqu'ici, et de redéfinir $n_e \rightarrow 2n_e$ et $a \rightarrow a/2$. Ceci permet de ne travailler qu'avec des nombres n_e entiers, tout en maintenant la forme de la relation fondamentale (II.40) par exemple. Dans ces nouvelles conventions, les quarks ont $n_e = \pm 1$ et les bosons W ont $n_e = \pm 2$. La courbe pour la théorie de jauge pure, qui remplace (III.99), est alors

$$y^2 = x^2(x - u) + \frac{1}{4}\Lambda_0^4 x. \quad (\text{III.105})$$

Il est très utile de chercher à interpréter physiquement la forme de cette courbe, et particulièrement du polynôme $P = x^2(x - u) + \Lambda_0^4 x/4$. Tout d'abord, dans la limite $\Lambda_0 \rightarrow 0$, on a un terme $x^2(x - u)$ qui est censé décrire l'action effective à basse énergie classiquement. Cette limite étant commune à toutes les théories étudiées, on peut s'attendre à ce que cette partie de la courbe se retrouve dans tous les cas. Le terme en $\Lambda_0^4 x$ est une correction quantique non-perturbative. Sa forme aurait pu être déterminée directement à partir d'arguments très généraux : la symétrie \mathbb{Z}_2 transformant u en $-u$ doit aussi transformer x en $-x$ et y en iy afin d'assurer l'invariance de la partie classique de la courbe ; les corrections d'instantons sont en Λ_0^{4n} d'après (II.59), et pour des raisons dimensionnelles seul un terme en Λ_0^4 peut

intervenir dans le polynôme P ; enfin des termes en $u\Lambda_0^4$ ou en u^3 sont exclus si l'on ne veut que deux singularités sur l'espace des modules.

Une analyse similaire peut être menée quand $N_f = 1$. Si $m = 0$, les corrections d'instantons sont en Λ_1^6 d'après (II.59) et (II.60), et donc le seul terme correctif possible à $x^2(x-u)$ est proportionnel à Λ_1^6 . Quand $m \neq 0$, le même genre d'argument montre que

$$y^2 = x^2(x-u) + \frac{1}{4}m\Lambda_1^3x - \frac{1}{64}\Lambda_1^6. \quad (\text{III.106})$$

Les coefficients numériques dans (III.106) sont déterminés en étudiant le flot du groupe de renormalisation (III.104) vers la théorie de jauge pure (III.105) ainsi que la position des singularités dans le plan des u , l'une correspondant au quark devenant de masse nulle devant être en $u \simeq m^2$ quand $m \gg \Lambda_1$. On peut ensuite vérifier que la courbe (III.106) a bien toutes les propriétés requises, et qu'en particulier les variables a_D et a , données ici par

$$a_D = -\frac{\sqrt{2}}{4\pi} \oint_{\gamma_1} \frac{y dx}{x^2}, \quad a = -\frac{\sqrt{2}}{4\pi} \oint_{\gamma_2} \frac{y dx}{x^2}. \quad (\text{III.107})$$

ont les bonnes monodromies.

Une caractéristique intéressante de la solution quand $m \neq 0$ est que la forme différentielle de Seiberg-Witten à des pôles avec des résidus non-nuls. Par exemple, la forme différentielle

$$\lambda = -\frac{\sqrt{2}}{4\pi} \frac{y dx}{x^2} \quad (\text{III.108})$$

utilisée dans (III.107) a des pôles en $(x=0, y=\pm i/8)$ de résidus

$$\text{res}_{(x=0, y=\pm i/8)} = \frac{1}{2i\pi} \frac{\mp m}{\sqrt{2}}. \quad (\text{III.109})$$

On peut alors montrer que les transformations de $\text{SL}(2, \mathbb{Z})$ seront en général accompagnées par une translation des variables a_D et a , ici par des multiples de $m/\sqrt{2}$, au cours d'une monodromie. Ceci est bien sûr possible en raison de la présence des charges baryoniques S dans la charge centrale de l'algèbre de supersymétrie. Ce phénomène peut être mis en évidence explicitement pour la singularité due à un quark, en utilisant la formule (II.77).

4. Quelques conséquences physiques

▷ Condensation des monopôles et confinement

L'une des idées les plus élégantes connues qui permettent de comprendre, à un niveau qualitatif, l'origine du mécanisme de confinement des quarks, fait appel à une version duale de la supraconductivité ('t Hooft 1975, Mandelstam 1976). Dans le cas des supraconducteurs habituels, les paires de Cooper se condensent et brisent l'invariance $U(1)$ électromagnétique dans la théorie effective décrivant le phénomène. Le photon prend alors une masse m_γ et le champ magnétique ne peut pénétrer en volume dans le matériau supraconducteur que sur une longueur caractéristique de $1/m_\gamma$: c'est l'effet Meissner. Profondément à l'intérieur du supraconducteur, le champ magnétique peut néanmoins, dans les supras appelés de type II, pénétrer à travers des tubes de flux magnétique dit d'Abrikosov. Dans une version duale de la supraconductivité, les paires de Cooper chargées électriquement sont remplacées par des particules chargées magnétiquement, l'effet Meissner s'applique au champ électrique et les tubes d'Abrikosov sont des tubes de flux du champ électrique. Deux particules chargées électriquement reliées par un tel tube seraient liées par une force en R^2 , si R est la distance entre les particules, qui est caractéristique du confinement. Dans les cas vraiment réalistes, le champ électrique est coloré et plusieurs complications interviennent. Nous nous limiterons ici au cas des théories supersymétriques où le groupe de jauge $SU(2)$ initial est brisé en $U(1)$ le long d'une branche de Coulomb, comme nous l'avons presque toujours fait dans ce mémoire. Les particules chargées magnétiquement susceptibles de se condenser et de briser l'invariance de jauge $U(1)$ sont alors les monopôles ou les dyons que nous avons déjà rencontrés à plusieurs reprises. Ceci ne se produit évidemment pas dans les théories $N = 2$, mais un cas très intéressant à étudier correspond à celui où on donne une masse nue $M \neq 0$ aux multiplets chiraux de la théorie, brisant $N = 2$ en $N = 1$. Dans le cas de la théorie de jauge pure, ceci revient à rajouter un superpotentiel

$$W = M \text{tr} \Phi^2 \tag{III.110}$$

au lagrangien (II.10). On peut alors se demander si cette théorie confine et si on peut mettre en évidence la condensation des monopôles et la brisure de la symétrie de jauge $U(1)$. Au moins lorsque M est faible, on peut s'attendre à ce que cette brisure puisse se décrire dans le cadre de l'action effective à basse énergie qui est donnée exactement quand $M = 0$ par (III.101), et qui prend un terme supplémentaire quand $M \neq 0$ dérivant du superpotentiel

$$W_{\text{eff}} = MU \tag{III.111}$$

où U est le superchamp chiral associé à $\text{tr } \Phi^2$ dans L_{eff} . Un tel superpotentiel seul ne provoquera pas de mécanisme de Higgs. Cependant, il va lever la dégénérescence du vide de la théorie. Comme nous l'avons discuté en utilisant l'indice de Witten au début de la section II.2, la théorie n'a plus que deux vides quand $M \neq 0$, qu'il s'agit d'identifier dans la limite $M \rightarrow 0$ parmi l'infinité de vides de la théorie $N = 2$. Au stade où nous en sommes, ceci n'est pas bien difficile. Pour que le confinement des charges électriques se produisent, nous avons besoin dans l'action effective de termes supplémentaires en plus du superpotentiel W_{eff} . Ceci se produit bien sûr au voisinage des singularités en $u = \pm \Lambda_0^2$ dans l'espace des modules de la théorie $N = 2$. Il faut alors inclure dans L_{eff} l'hypermultiplet correspondant au monopôle (ou au dyon) devenant de masse nulle. Ceci est possible après avoir effectué une transformation de dualité convenable afin d'assurer un couplage local avec le multiplet du photon. Dans le cas du monopôle $(0, 1)$, la transformation de dualité est simplement donnée par

$$S = \begin{pmatrix} 0 & 1 \\ -1 & 0 \end{pmatrix} \quad (\text{III.112})$$

et échange donc par exemple A avec A_D . Le superpotentiel effectif total est alors

$$W_{\text{eff}} = MU + \sqrt{2}\tilde{H}A_D H, \quad (\text{III.113})$$

où (H, \tilde{H}) est l'hypermultiplet du monopôle. Il est alors très facile de calculer le potentiel scalaire à partir de (III.113) au voisinage du point singulier $u = +\Lambda^2$ où $a_D = 0$ et de montrer que son minimum est atteint quand

$$\langle H \rangle = \langle \tilde{H} \rangle = \left(-\frac{m}{\sqrt{2}} \frac{du}{da_D} (a_D = 0) \right)^{1/2} \neq 0, \quad (\text{III.114})$$

ce qui prouve le confinement.

Pour terminer, je tiens à souligner les aspects les plus profonds et les plus intéressants du raisonnement précédent. Tout d'abord, le confinement n'est possible dans la théorie $N = 1$ que si des particules deviennent de masse nulle dans l'espace des modules de la théorie $N = 2$. Le nombre de singularités sur cet espace des modules est ainsi directement relié au nombre de vides de la théorie $N = 1$. Grâce à la dualité électrique/magnétique, il est possible de donner une description de la physique au voisinage de ces points par une théorie effective faiblement couplée. Le mécanisme de Higgs perturbatif habituel permet alors de rendre compte du confinement des charges électriques, phénomène purement non-perturbatif du point de vue de la théorie microscopique.

▷ *Condensation des monopôles et brisure de la symétrie chirale*

Dans les théories avec des saveurs de quarks, le même genre de raisonnement que celui présenté dans la sous-section précédente permet de démontrer le confinement des charges électriques. Mais dans ces cas, les monopôles et les dyons se transforment en général dans une représentation non-triviale du groupe de saveur, en raison de la présence de modes zéros fermioniques portant des indices de saveur (pour plus de détails, voir par exemple Ferrari (1997b)). La condensation des monopôles ou des dyons est donc dans ces cas à l'origine de la brisure de la symétrie de saveur, en plus de jouer un rôle dans le confinement. Ceci amena Seiberg et Witten à postuler que la condensation des monopôles pourrait aussi, en QCD non-supersymétrique, être à l'origine de la brisure de la symétrie chirale.

▷ *Théories abéliennes superconformes non-triviales*

Pour terminer cette déjà longue introduction, je voudrais revenir sur la discussion qui nous a permis de trouver la structure des singularités de la théorie $N_f = 1$. En plus des deux singularités à l'échelle $u \sim \Lambda_1^2$ qui provenaient de l'analyse de la théorie de jauge pure, nous avons, pour $m \gg \Lambda_1$, une troisième singularité à l'échelle $u \sim m^2$ due à un quark devenant de masse nulle. D'autre part, lorsque $m = 0$, les trois singularités sont reliées entre elles par la symétrie \mathbb{Z}_3 agissant sur l'espace des modules. Ceci implique que les particules qui les provoquent ont toutes la même charge magnétique, qui est fixée à $n_m = 1$ en raison d'une relation de cohérence semblable à (III.89). Ainsi, lorsque l'on varie m de $m \gg \Lambda_1$ à $m = 0$, le quark initial doit se transformer, à un moment ou à un autre, en monopôle ! Dans Ferrari (1997b) il est montré que de telles transformations peuvent effectivement se produire, et ce de deux manières différentes. L'une d'elle est largement utilisée dans Ferrari (1997b) pour obtenir des états de charge magnétique quelconque dans les théories finies, et finalement prouver l'auto-dualité du spectre. L'autre, qui est celle qui doit nécessairement se produire dans les théories asymptotiquement libres pour des raisons expliquées dans Ferrari (1997b), nécessite l'existence de points particuliers dans l'espace des paramètres de la théorie pour lesquels plusieurs singularités coïncident. On peut effectivement vérifier que de tels points existent en utilisant la solution explicite (III.106), ce pour

$$m = \frac{3}{4} z_3 \Lambda_1, \quad u = \frac{3}{4z_3} \Lambda_1^2, \quad (\text{III.115})$$

où z_3 est une racine troisième quelconque de l'unité. L'existence de trois points est bien sûr directement relié à la symétrie \mathbb{Z}_3 de la théorie $m = 0$. Comme les particules qui deviennent de masse nulle sont mutuellement non-locales, il n'existe

pas de lagrangien effectif local au voisinage de ces points. La découverte de tels points et leur interprétation physique, dans la théorie de jauge pure de groupe de jauge $SU(3)$, remonte à l'article d'Argyres et Douglas (1995). Les points non-locaux des théories $SU(2)$ que nous discutons ont été quant à eux découverts par Argyres et al. (1996).

L'intérêt majeur des théories à basse énergie en ces points est qu'elles constituent très probablement des exemples de théories superconformes en interaction d'un type nouveau. La caractéristique très remarquable de ces théories est qu'elles ne contiennent pas de bosons de jauge non-abéliens susceptibles d'apporter une contribution négative à la fonction β . Dans les cas que nous avons explicité pour $N_f = 1$, ces théories décrivent le couplage d'un quark $(1, 0)$ et d'un monopôle $(0, 1)$ (ou plus généralement d'un dyon $(n_e, 1)$) au photon. On pourrait se demander si d'autres particules ne deviennent pas de masse nulle en ces points. Pour répondre à cette question, il est nécessaire d'étudier le spectre des théories massives, ce qui dépasse largement le cadre de notre discussion (voir Bilal et Ferrari 1997). Je me limiterai ici à une explication heuristique, due à Argyres et Douglas (1995), permettant de comprendre le fait que l'on peut avoir une théorie superconforme en ne couplant que des hypermultiplets au photon. Le point important est que ces hypermultiplets correspondent à des particules mutuellement non-locales. Considérons le cas d'une théorie contenant un quark $(1, 0)$ et un monopôle $(0, 1)$. La contribution du quark à la fonction β de la théorie abélienne est donnée par (II.75) et peut être résumée par l'équation

$$\left(\frac{\partial \tau}{\partial \log \mu} \right)_{\text{quark}} = -\frac{i}{4\pi}. \quad (\text{III.116})$$

La contribution du monopôle n'est pas évidente à évaluer a priori. Habituellement, par exemple dans les théories de jauge non-abéliennes, on ne tient pas compte des solitons pour calculer β . Ceci est dû au fait que, dans la limite du couplage faible, ce sont des objets à la fois étendus et très massifs. Les échelles d'énergie supérieures à leur masse M où ils pourraient effectivement contribuer aux variations de la constante de couplage correspondent à des distances beaucoup plus petites que leur taille caractéristique, qui est de l'ordre $1/M_W \gg 1/M$ si M_W est la masse des bosons de jauge lourds. Mais dans le cas qui nous intéresse, la situation est justement inversée. Nous sommes dans un régime de couplage fort où $M_W \sim \Lambda_1$ et où les monopôles sont de masse nulle. Nous considérerons alors que la contribution à la fonction β des monopôles peut être calculée en utilisant encore une fois la dualité électrique/magnétique, selon laquelle (III.116) implique que

$$\left(\frac{\partial \tau_D}{\partial \log \mu} \right)_{\text{monopôle}} = -\frac{i}{4\pi} \quad (\text{III.117})$$

si $\tau_D = -1/\tau$. En exprimant tout par exemple avec la constante τ , on obtient

$$\frac{\partial \tau}{\partial \log \mu} = \left(\frac{\partial \tau}{\partial \log \mu} \right)_{\text{quark}} + \left(\frac{\partial \tau}{\partial \log \mu} \right)_{\text{monopôle}} = -\frac{i}{4\pi} (1 + \tau^2). \quad (\text{III.118})$$

Ceci montre qu'il existe bien un point fixe du groupe de renormalisation, stable qui plus est, tel que

$$\tau_c = i. \quad (\text{III.119})$$

Bibliographie

- d'Adda A et di Vecchia P, Phys. Lett. **B73** (1978) 162.
- Affleck I, Dine M et Seiberg N, Nucl. Phys. **B241** (1984) 493.
- Affleck I, Dine M et Seiberg N, Nucl. Phys. **B256** (1985) 557.
- Álvarez-Gaumé L et Freedman D, Comm. Math. Phys. **80** (1981) 443.
- Álvarez-Gaumé L, Mariño M et Zamora F, CERN-TH/97-37, US-FT-9/97, UB-ECM-PF 97/02, hep-th/9703072 (1997).
- Antoniadis I et Pioline B, CPTH-S459-0796, hep-th/9607058 (1996).
- Argyres P et Douglas M, Nucl. Phys. **B448** (1995) 93.
- Argyres P, Plesser M, Seiberg N et Witten E, Nucl. Phys. **B461** (1996) 71.
- Atiyah M et Hitchin N, Phys. Lett. **A107** (1985) 21.
- Atiyah M et Hitchin N, *The geometry and dynamics of magnetic monopoles*, Princeton University press (1988).
- Belavin A, Polyakov A, Schwartz A et Tyupkin Y, Phys. Lett. **B59** (1975) 85.
- Bilal A et Ferrari F, Nucl. Phys. **B480** (1996) 589.
- Bilal A et Ferrari F, LPTENS-97/02 (1997).
- Blum J, Phys. Lett. **B333** (1994) 92.
- Bonelli G, Matone M et Tonin M, DFPD-96-TH-29, hep-th/9610026 (1996).
- Bogomolny E, Sov. J. Nucl. Phys. **24** (1976) 449.
- Bott R et Seeley R, Comm. Math. Phys. **62** (1978) 235.
- Callias C, Comm. Math. Phys. **62** (1978) 213.
- Cecotti S, Fendley P, Intriligator K et Vafa C, Nucl. Phys. **B386** (1992) 405.
- Cecotti S et Vafa C, Comm. Math. Phys. **158** (1993) 569.
- Coleman S, Phys. Rev. **D11** (1975) 2088.
- Coleman S, Les Houches, Session XXXVIII, *Théories de jauge en physique des hautes énergies*, North-Holland, 1983 (1981) 461.
- Craps B, Roose F, Troost W et Van Proeyen A, KUL-TF-97/10, hep-th/9703082 (1997).
- Dirac P, Proc. R. Soc. **A133** (1931) 60.
- Dorey N, Khoze V et Mattis M, Phys. Rev. **D54** (1996) 2921.
- Ferrara S et Zumino B, Nucl. Phys. **B87** (1975) 207.
- Ferrari F, Phys. Rev. Lett. **78** (1997) 795.
- Ferrari F, LPTENS-96/67, hep-th/9702166 (1997).
- Ferrari F et Bilal A, Nucl.Phys. **B469** (1996) 387.
- Finnell D et Pouliot P, Nucl. Phys. **B453** (1995) 223.
- Flume R, Magro M, O'Raiheartaigh L, Sachs I et Schnetz O, DIAS-STP/96-21, BONN-TH-96-15, ENSLAPP-L-621/96, FAU-TP3-96/20, hep-th/9611123 (1996).
- Gauntlett J, Nucl. Phys. **B411** (1994) 443.
- Gauntlett J et Harvey J, Nucl. Phys. **B463** (1996) 287.
- Georgi H et Glashow S, Phys. Rev **D6** (1972) 2977.

- Gibbons G et Pope C, *Comm. Math. Phys.* **66** (1979) 267.
- Goddard P, Nuyts J et Olive D, *Nucl. Phys.* **B125** (1977) 1.
- Goddard P et Olive D, *Rep. Prog. Phys.* **41** (1978) 1357.
- Grisaru M et Siegel W, *Nucl. Phys.* **B201** (1982) 292.
- Grisaru M, Siegel W et Roček M, *Nucl. Phys.* **B159** (1979) 429.
- Grisaru M et West P, *Nucl. Phys.* **B254** (1985) 249.
- Howe P, Stelle K et Townsend P, *Nucl. Phys.* **B214** (1983) 519.
- Harvey J, *Magnetic monopoles, duality and supersymmetry*, école d'été de Trieste sur la physique des hautes énergies et la cosmologie, hep-th/9603086 (1995).
- Harvey J et Strominger A, *Comm. Math. Phys.* **151** (1993) 221.
- 't Hooft G, comptes rendus de la conférence internationale EPS *High Energy Physics*, Palerme, éditeur A. Zichichi (1975).
- 't Hooft G, *Phys. Rev. Lett.* **37** (1976) 8.
- 't Hooft G, *Phys. Rev.* **D14** (1976) 3432.
- 't Hooft G, *Nucl. Phys.* **B79** (1974) 276.
- Ito K et Sasakura N, *Nucl. Phys.* **B484** (1996) 141.
- Jackiw R et Rebbi C, *Phys. Rev.* **D13** (1976) 3398.
- Kramers H et Wannier G, *Phys. Rev.* **60** (1941) 252 et 263.
- Mandelstam S, *Phys. Rev.* **D11** (1975) 3026.
- Mandelstam S, *Phys. Rep.* **C23** (1976) 245.
- Manton N, *Phys. Lett.* **B110** (1982) 54.
- Montonen C et Olive D, *Phys. Lett.* **B72** (1977) 117.
- Niemi A, Paranjape M et Semenoff G, *Phys. Rev. Lett.* **53** (1984) 515.
- Niemi A et Semenoff G, *Nucl. Phys.* **B269** (1986) 131.
- Niemi A et Semenoff G, *Phys. Rep.* **135** (1986) 99.
- Paranjape M et Semenoff G, *Phys. Lett.* **B132** (1983) 369.
- Polyakov A, *JETP Lett.* **20** (1974) 194.
- Porrati M, *Phys. Lett.* **B377** (1996) 67.
- Prasad M et Sommerfield C, *Phys. Rev. Lett.* **35** (1975) 760.
- Seiberg N, *Phys. Lett.* **B206** (1988) 75.
- Seiberg N et Witten E, *Nucl. Phys.* **B426** (1994) 19.
- Seiberg N et Witten E, *Nucl. Phys.* **B431** (1994) 484.
- Sen A, *Phys. Lett.* **B329** (1994) 217.
- Sethi S, Stern M et Zaslow E, *Nucl. Phys.* **B457** (1995) 484.
- Schulze J et Warner N, USC/97-001, hep-th/9702012 (1997).
- Schwinger J, *Phys. Rev.* **144** (1966) 1087.
- Schwinger J, *Phys. Rev.* **173** (1968) 1536.

- Strominger A, Comm. Math. Phys. **133** (1990) 163.
- Verlinde E, Nucl. Phys. **B455** (1995) 211.
- Weinberg S, Phys. Lett. **B91** (1980) 51.
- Wess J et Bagger J, *Supersymmetry and Supergravity*, 2^{ème} édition, Princeton series in physics (1992).
- de Wit B, Lauwers P, Philippe R, Su S et Van Proeyen A, Phys. Lett. **B134** (1984) 37.
- de Wit B et Van Proeyen A, Nucl. Phys. **B245** (1984) 89.
- Witten E, Phys. Lett. **B86** (1979) 283.
- Witten E, Nucl. Phys. **B202** (1982) 253.
- Witten E, *Some comments on string dynamics*, comptes rendus de *Strings '95*, USC, hep-th/9507121 (1995).
- Witten E et Olive D, Phys. Lett. **B78** (1978) 97.
- Zwanziger D, Phys. Rev. **176** (1968) 1480, 1489.